



การสลายสีอ้อมเมทิลีนบลูด้วยกระบวนการพลาสมาวัสดุภาคของเหลว  
Degradation of Methylene Blue by Liquid Phase Plasma Process



นายศศิน

แก้วเจริญ

รหัส 54360513

นางสาวกรรณิการ์ ชุนพินิจ

รหัส 54362753

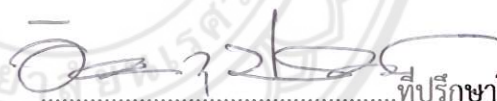
ปริญญาในพนธน์เป็นส่วนหนึ่งของการศึกษาหลักสูตรปริญญาวิศวกรรมศาสตรบัณฑิต  
สาขาวิชวกรรมเคมี ภาควิชาเคมีวิศวกรรมอุตสาหการ  
คณะวิศวกรรมศาสตร์ มหาวิทยาลัยนเรศวร  
ปีการศึกษา 2557



## ใบรับรองปริญญา尼พนธ์

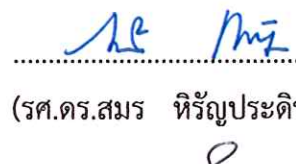
ชื่อหัวข้อโครงการ	การสลายสีเย้อมเมทิลีนบลูด้วยกระบวนการพลาสมาวัสดุภาคของเหลว		
ผู้ดำเนินโครงการ	นายศศิน	แก้วเจริญ	รหัสนิสิต 54360513
	นางสาวกรณิการ	ขุนพินิจ	รหัสนิสิต 54362753
ที่ปรึกษาโครงการ	ดร.อิศราวด ประเสริฐสังข์		
	ดร.ธนพล	เพ็ญรัตน์	
สาขาวิชา	วิศวกรรมเคมี		
ภาควิชา	วิศวกรรมอุตสาหกรรม		
ปีการศึกษา	2557		

คณะกรรมการศาสตราจารย์ มหาวิทยาลัยนเรศวร อนุมัติให้ปริญญา尼พนธ์ฉบับนี้เป็นส่วนหนึ่ง  
ของการศึกษาตามหลักสูตรวิศวกรรมศาสตรบัณฑิต สาขาวิชาวิศวกรรมเคมี

.....ที่ปรึกษาโครงการ

(ดร.อิศราวด ประเสริฐสังข์)

.....ที่ปรึกษาโครงการ  
(ดร.ธนพล เพ็ญรัตน์)

.....กรรมการ  
(รศ.ดร.สมชาย Hirunprachittharakul)

.....กรรมการ  
(ดร.นพวรรณ โม่ทอง)

.....กรรมการ  
(ดร.กมรรตัน จันธรรม)

ชื่อหัวข้อโครงการ	การสลายสีีย้อมเมทิลีนบลูด้วยกระบวนการพลาสมาวัสดุภาคของเหลว		
ผู้ดำเนินโครงการ	นายศศิน	แก้วเจริญ	รหัสนิสิต 54360513
	นางสาวกรณิการ์	ขุนพินิจ	รหัสนิสิต 54362753
ที่ปรึกษาโครงการ	ดร.อิศราภูต	ประเสริฐสังข์	
	ดร.ธนพล	เพ็ญรัตน์	
สาขาวิชา	วิศวกรรมเคมี		
ภาควิชา	วิศวกรรมอุตสาหการ		
ปีการศึกษา	2557		

---

### บทคัดย่อ

ในโครงการวิจัยนี้ได้ศึกษาถึงการสลายสีีย้อมเมทิลีนบลูด้วยกระบวนการพลาสมาวัสดุภาคของเหลว โดยตัวแปรที่ศึกษาคือ ชนิดของข้าวอิเล็กโทรดทั้งสแตน เหล็ก และทองแดง ระยะเวลาที่ใช้ในการสลายสีีย้อมเมทิลีนบลู 60 นาที พลังงานความถี่ 15 22.5 และ 30 กิโลเอิร์ต ร่วมกับสารละลายเมทิลีนบลูเข้มข้น 0.5 1.0 1.5 75 100 และ 125 มิลลิกรัมต่อลิตร ตามลำดับ จากผลการสลายสีีย้อมเมทิลีนบลูด้วยกระบวนการพลาสมาวัสดุภาคของเหลวพบว่าข้าวอิเล็กโทรดชนิดทองแดงสามารถให้เปอร์เซ็นต์การย่อยสลายเมทิลีนบลูได้ดีที่สุดที่ร้อยละ 92.41 ภายในเวลา 60 นาที และเมื่อเพิ่มความถี่เพิ่มขึ้นส่งผลให้อัตราการสลายตัวของเมทิลีนบลูเพิ่มสูงขึ้น และเมื่อวัดค่าไไฮโดรเจนเปอร์ออกไซด์พบว่าข้าวอิเล็กโทรดชนิดทองแดงให้ค่าไไฮโดรเจนเปอร์ออกไซด์น้อยที่สุดซึ่งบ่งบอกถึงการสลายตัวที่ดีของเมทิลีนบลู และเมื่อนำไปตรวจวัดหาค่า TOC พบว่าสารละลายเมทิลีนบลูได้รับการบำบัดส่งผลให้ปริมาณคาร์บอนลดลงจากการสลายตัวด้วยพลังงานพลาasma และเมื่อศึกษาจนพบสาหรับของการย่อยสลายเมทิลีนบลู พบว่าการย่อยสลายเมทิลีนบลูโดยข้าวอิเล็กโทรด ทั้ง 3 ชนิดนั้นเป็นปฏิกิริยาอันดับหนึ่งและอิเล็กโทรดชนิดทองแดงให้อัตราการสลายตัวของเมทิลีนบลูดีที่สุด และกระบวนการพลาสมาวัสดุภาคของเหลวยังช่วยลดความเข้มของสีได้ดีที่ช่วงความเข้มข้นต่ำของสารละลายเมทิลีนบลู

## กิตติกรรมประกาศ

ปริญญาอุดมศึกษบัณฑ์ สำเร็จลุล่วงไปได้ด้วยความช่วยเหลือของหลายๆ ฝ่าย โดยเฉพาะอย่างยิ่ง ดร. อิศราวนุช ประเสริฐสังข์ อาจารย์ที่ปรึกษาโครงงาน ที่ได้ให้คำแนะนำคำปรึกษาร่วมถึงแนวทางการแก้ปัญหา และข้อคิดเห็นต่างๆ ตลอดจนความดูแลเอาใจใส่ ติดตามการทำเนินโครงงานมาโดยตลอดและขอขอบพระคุณอาจารย์ประจำสาขาวิชาวิศวกรรมเคมีและอาจารย์ประจำภาควิชา วิศวกรรมอุตสาหการ มหาวิทยาลัยนเรศวรทุกท่าน ที่ได้ให้วิชาความรู้ เพื่อนำมาประยุกต์ใช้ในการทำปริญญาอุดมศึกษบัณฑ์

คุณค่าของปริญญาอุดมศึกษบัณฑ์ ผู้ศึกษาหัวจะเป็นอย่างยิ่งว่าจะก่อให้เกิดประโยชน์ทางวิชาการแก่บุคคลทั่วไป นิสิต นักศึกษาที่สนใจค้นคว้าและเพิ่มพูนความรู้เกี่ยวกับการศึกษา กระบวนการสร้างสรรค์ด้วยพลานามาวัสดุภาคของเหลว

สุดท้ายนี้ ผู้ดำเนินโครงงานครรชขอกราบขอบพระคุณ บิดา มารดา ที่ได้ให้การดูแล อบรมสั่งสอนและให้กำลังใจด้วยดีเสมอมา ตลอดจนการทำเนินงานจนสำเร็จการศึกษา

ผู้ดำเนินโครงงาน

นายศศิน แก้วเจริญ

นางสาวกรณีการ ขุนพินิจ

พฤษภาคม 2558

# สารบัญ

หน้า

ใบรับรองปริญญานิพนธ์.....	ก
บทคัดย่อ.....	ข
กิตติกรรมประกาศ.....	ค
สารบัญ.....	ง
สารบัญตาราง.....	น
สารบัญรูป.....	ฉ

## บทที่ 1 บทนำ

1.1 ที่มาและความสำคัญ.....	1
1.2 วัตถุประสงค์.....	2
1.3 ขอบเขตงานวิจัย.....	2

## บทที่ 2 ทฤษฎี

2.1 เมทิลีนบลู.....	3
2.2 การกำจัดสีในน้ำเสีย.....	5
2.3 Advance oxidation process.....	11
2.4 Fenton Reaction.....	13
2.5 พลาสมาวัสดุภาคของเหลว.....	19
2.6 Optical Emission Spectrometer.....	22
2.7 UV-VIS Spectrophotometer.....	24

## สารบัญ (ต่อ)

หน้า

2.8 การวิเคราะห์ Total Organic Carbon (TOC).....25

2.9 การสำรวจเอกสารงานวิจัย.....26

### บทที่ 3 ขั้นตอนการดำเนินงานวิจัย

3.1 วัสดุและสารเคมี.....30

3.2 อุปกรณ์.....30

3.3 ขั้นตอนการดำเนินงานวิจัย.....31

### บทที่ 4 ผลการทดลองและการวิเคราะห์

4.1 คุณลักษณะของพลาสมาที่เกิดขึ้นจากข้ออิเล็กโทรดแต่ละชนิด.....35

4.2 ผลของชนิดอิเล็กโทรดที่ส่งผลต่อกระบวนการย่อยสลายสีเยื่อแมทิลีนบลู.....37

4.3 จนผลศาสตร์การย่อยสลายของเมทิลีนบลู.....45

4.4 การตรวจปริมาณคาร์บอนด้วยเทคนิค TOC.....47

4.5 ผลของการเปลี่ยนแปลงสีจากการบำบัดด้วยกระบวนการพลาสมาวัสดุภาคของเหลว..48

### บทที่ 5 บทสรุปและข้อเสนอแนะ

5.1 บทสรุป.....50

5.2 ข้อเสนอแนะ.....50

เอกสารอ้างอิง.....51

ภาคผนวก.....55

## สารบัญตาราง

หน้า

ตารางที่ 2.1 แสดงสมบัติของสาร Methylene Blue.....	3
ตารางที่ 2.2 แสดงค่าสมบัติการดูดกลืนแสงของ Methylene Blue.....	4
ตารางที่ 4.1 ร้อยละการสลายสีเยื่อมเมทิลีนบลูด้วยกระบวนการพลาスマวัฏภาคของเหลวที่ความถี่ 15 กิโลเฮิรตซ์.....	41
ตารางที่ 4.2 การเปรียบเทียบการสลายสีเยื่อมเมทิลีนบลูด้วยกระบวนการพลาスマวัฏของเหลวกับกระบวนการอื่นๆ.....	42
ตารางที่ 4.3 ค่าคงที่ของการสลายตัวของเมทิลีนบลูด้วยกระบวนการพลาスマวัฏภาคของเหลวที่ความถี่พลาasma 15 กิโลเฮิรตซ์.....	47



# สารบัญรูป

หน้า

รูปที่ 2.1 แบบจำลองของพลาสมาวัสดุภาคของเหลว.....	19
รูปที่ 2.2 หลักการของเครื่องกำเนิดพลาสมาวัสดุภาคของเหลว.....	20
รูปที่ 2.3 รูปแสดงการเปลี่ยนแปลงพลังงานของอะตอม.....	23
รูปที่ 2.4 แผนผังแสดงการทำงานของ Optical Emission Spectrometer.....	23
รูปที่ 2.5 รูปแสดงหลักการทำงานของเครื่อง UV-VIS Spectrophotometer.....	24
รูปที่ 2.6 รูปแบบเครื่องมือของเครื่องวิเคราะห์ TOC.....	26
รูปที่ 3.1 ขั้นตอนการดำเนินงานวิจัย.....	31
รูปที่ 3.2 อุปกรณ์กำเนิดพลาสมาวัสดุภาคของเหลว.....	32
รูปที่ 4.1 แสดงคุณลักษณะของพลาสماที่เกิดจากขั้วอิเล็กโตรดทั้งสetenที่ความถี่ 15 กิโลเฮิรตซ์.....	36
รูปที่ 4.2 แสดงคุณลักษณะของพลาสmaที่เกิดจากขั้วอิเล็กโตรดเหล็กที่ความถี่ 15 กิโลเฮิรตซ์.....	36
รูปที่ 4.3 แสดงคุณลักษณะของพลาสmaที่เกิดจากขั้วอิเล็กโตรดทองแดงที่ความถี่ 15 กิโลเฮิรตซ์.....	37
รูปที่ 4.4 ร้อยละการย่อยสลายเมทีลีนบลูความเข้มข้นต่างๆด้วยขั้วอิเล็กโตรดต่างชนิดที่ ความถี่ 15 กิโลเฮิรตซ์.....	38
รูปที่ 4.5 ร้อยละการย่อยสลายเมทีลีนบลูความเข้มข้นสูงด้วยขั้วอิเล็กโตรดต่างชนิดที่ ความถี่ 15 กิโลเฮิรตซ์.....	40
รูปที่ 4.6 ความเข้มข้นของไฮโดรเจนเบอร์ออกไซด์ที่เกิดขึ้นในสารละลายเมทีลีนบลูเข้มข้น 125 มิลลิกรัมต่อลิตร ด้วยขั้วอิเล็กโตรดต่างชนิดกันที่ความถี่พลาสma 15 กิโลเฮิรตซ์.....	42

## สารบัญรูป (ต่อ)

หน้า

รูปที่ 4.7 ร้อยละการย่อยสลายเมทิลีนบูลูเข้มข้น 125 มิลลิกรัมต่อลิตร ด้วยข้ออ้างอิงโทรศัพท์.....	44
ที่ความถี่ต่างกัน.....	
รูปที่ 4.8 จำนวนศาสตร์การย่อยสลายเมทิลีนบูลูความเข้มข้นสูงด้วยข้ออ้างอิงโทรศัพท์ต่างชนิด.....	46
ที่ความถี่พลาสม่า 15 กิโลเอิร์ตซ์.....	
รูปที่ 4.9 การเปรียบเทียบปริมาณการบอนก่อนและหลังทำการบำบัด.....	48
รูปที่ 4.10 ความเข้มข้นที่ 1.5 มิลลิกรัมต่อลิตร ของข้ออ้างอิงโทรศัพท์.....	49
รูปที่ 4.11 ความเข้มข้นที่ 125 มิลลิกรัมต่อลิตร ของข้ออ้างอิงโทรศัพท์.....	49



## บทที่ 1

### บทนำ

#### 1.1 ที่มาและความสำคัญของโครงการ

ในปัจจุบันสียอมจากอุตสาหกรรมสิ่งทอ่ให้เกิดผลกระทบมากมายต่อสิ่งแวดล้อม ปัญหาที่เกิดขึ้นเกิดจากสารปนเปื้อนสียอมจากโรงงานอุตสาหกรรมสู่แหล่งน้ำในเขตชุมชน ซึ่งก่อให้เกิดปัญหาอย่างมากในการกำจัดและการจัดการ โดยทั่วไปกระบวนการกำจัดสียอมเหล่านี้สามารถทำได้หลายวิธี อาทิ ทางกายภาพ เคมี และชีวภาพ ซึ่งแต่ละวิธีมีข้อจำกัดที่แตกต่างกัน เช่นวิธีการดูดซับด้วยถ่านกัมมันต์ เป็นวิธีที่มีประสิทธิภาพสูงแต่มีข้อเสียคือการนำกลับมาใช้ใหม่มีค่าใช้จ่ายสูง วิธีการกรองด้วยเยื่อแผ่นจำเป็นต้องมีการควบคุมระดับความดันน้ำ ค่า pH และอุณหภูมิอย่างสม่ำเสมอ วิธีทางกายภาพและเคมีมีข้อจำกัดเนื่องจากมีการใช้สารเคมีซึ่งออกจากการทำให้สีเปลือยแล้วยังก่อให้เกิดตะกอนและสารเคมีสะสมมากขึ้นในสิ่งแวดล้อมอีกด้วย ส่วนการใช้เทคโนโลยีทางชีวภาพนั้นมีข้อจำกัดในเรื่องของความสะดวกในการใช้งานการเก็บรักษา การขนส่งรวมถึงการควบคุมปัจจัยต่างๆ ซึ่งการเลือกเทคโนโลยีในการกำจัดที่เหมาะสมนั้นควรคำนึงถึงลักษณะน้ำเสีย ปริมาณน้ำเสียค่าใช้จ่ายและประสิทธิภาพ [1]

ปัจจุบันกระบวนการพลาasma (Plasma) ได้รับความสนใจในการนำมาประยุกต์ใช้ในการกำจัดสียอม อาทิ Dielectric Barrier Discharged (DBD) Plasma [2] และ Pulsed Discharged Plasma [3] เป็นต้น ซึ่งทั้งสองเทคนิคนี้มีประสิทธิภาพสูง รวดเร็วและมีการสีเปลือยพลังงานต่ำ และนิยมไปใช้กันอย่างแพร่หลายในโรงงานอุตสาหกรรม อย่างไรก็ตามทั้งสองเทคนิคนี้ยังคงมีข้อเสียเนื่องจากต้องมีการควบคุมพลังงานและปริมาณอัตราการให้雷ของก๊าซที่จำเป็นต้องใช้ในการผลิตพลาasmaในระบบอยู่ตลอดเวลาทำให้เกิดความยุ่งยากอีกทั้งยังมี LIABILITY ขั้นตอนในการบำบัดทำให้มีการใช้ต้นทุนที่สูงขึ้น พลาasma วัสดุภาชนะของเหลวเป็นกระบวนการที่ถูกค้นพบโดย O.Takai [4] และได้รับความนิยมนำมาใช้งานทางด้านการสังเคราะห์อนุภาชนะ การดัดแปลงพื้นผิวของโลหะและการบำบัดน้ำเสีย เป็นต้น ซึ่งข้อดีของกระบวนการนี้ คือ ดำเนินการได้ในสภาพความดันบรรยากาศ อุณหภูมิห้อง อีกทั้งยังสามารถควบคุมการสัมผัสนั้นระหว่างพลาasma กับสารที่จะบำบัดได้ง่าย จากงานวิจัยของ Yanping Jin และคณะ [3] ได้ทำการศึกษาการเพิ่มประสิทธิภาพการสลาย Methylene Blue และ Methyl Orange ในน้ำเสีย ด้วยเทคนิค Pulsed discharged plasma โดยสารสีที่ใช้ในการทดลองคือ Methylene Blue และ Methyl Orange ที่มีความเข้มข้น  $1.4 \times 10^{-6}$  M โดยทำการศึกษาผลการตอบสนองต่อผิวของสารตัวอย่างเพื่อวัดประสิทธิภาพของการสลายสียอมทั้ง 2 ชนิดภายใต้เงื่อนไขต่างๆ จากการศึกษาพบว่า Methylene Blue ถูกสลายไปกว่าร้อยละ 94.5 และ Methyl Orange ถูกสลายไปกว่าร้อยละ 80.2 และยังทราบว่าเทคนิค Pulsed discharged plasma oxidation process นั้นช่วยประหยัดพลังงานที่ใช้ในกระบวนการ มีความรวดเร็ว และมีประสิทธิภาพสูงสำหรับ

การบำบัดน้ำเสีย ซึ่งจากการวิจัยดังกล่าวซึ่ให้เห็นว่าพลาสมาวัตถุภาคของเหลวสามารถนำมาใช้งานทางด้านการสลายสีเย้อมได้อย่างมีประสิทธิภาพ อย่างไรก็ตาม ปัจจัยหรือสภาวะของพลาสมาที่สามารถส่งผลต่อการสลายสีเย้อม อาทิ เช่น ชนิดของอิเล็กโทรด พลังงานพลาasma ยังไม่ได้รับการศึกษา ดังนั้นในงานวิจัยนี้จึงมีความสนใจที่จะศึกษาการสลายสีเย้อมในสารละลายด้วยเทคนิคพลาสมาวัตถุภาคของเหลว และศึกษาจนผลศาสตร์และอัตราการย่อยสลายของเมทิลีนบลูด้วยเทคนิคพลาสมาวัตถุภาคของเหลว

## 1.2 วัตถุประสงค์ของโครงการ

1.2.1 เพื่อศึกษาการสลายสีเย้อมในสารละลายด้วยเทคนิคพลาสมาวัตถุภาคของเหลว (Liquid Phase Plasma)

1.2.2 เพื่อศึกษาจนผลศาสตร์และอัตราการย่อยสลายของเมทิลีนบลูด้วยเทคนิคพลาสมาวัตถุภาคของเหลว

## 1.3 ขอบเขตงานวิจัย

1.3.1 ติดตั้งเครื่องกำเนิดพลาสมาวัตถุภาคของเหลวและตรวจวัดคุณลักษณะของพลาสมาที่สภาวะต่างๆด้วยเทคนิค Optical Emission Microscopy (OES)

1.3.2 เตรียมสารละลายเมทิลีนบลูที่ความเข้มข้นต่ำๆและนำไปตรวจวัดค่าดูดกลืนแสงของสารละลายโดย เมทิลีนบลู ใช้ค่าความยาวคลื่น 628 นาโนเมตร และนำไปสร้างกราฟ Calibration curve

1.3.3 เตรียมสารละลายเมทิลีนบลูที่ความเข้มข้น 0.5 1 และ 1.5 ppm จากนั้นนำไปบำบัดด้วยพลาสมาโดยมีตัวแปรที่ศึกษาดังนี้

1.3.3.1 เวลาที่ใช้ในการบำบัดพลาสมาในช่วง 0-60 นาที

1.3.3.2 ชนิดของข้ออิเล็กโทรด คือ หังสเตน เหล็ก และทองแดง

1.3.3.3 ความถี่ช่วง 15-30 กิโลเฮิรตซ์

1.3.4 ตรวจวิเคราะห์ผลิตภัณฑ์ที่เกิดขึ้นจากการย่อยสลายสีเย้อมด้วยพลาสมาวัตถุภาคของเหลว

1.3.4.1 ตรวจวัดปริมาณการสลายตัวของสีเย้อมด้วย UV/VIS Spectrophotometer

1.3.4.2 ตรวจวัดปริมาณ การเกิดไฮโดรเจนเปอร์ออกไซด์ด้วย UV/VIS Spectrophotometer

1.3.4.3 ตรวจวัดปริมาณการสลายตัวของสีเยอมด้วยเครื่อง TOC

1.3.5 วิเคราะห์จนผลศาสตร์ของการสลายสีเยอมในสารละลายที่ผ่านการบำบัดด้วยพลาスマ

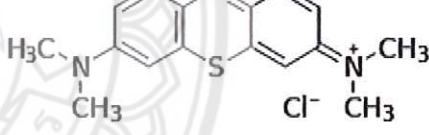
## บทที่ 2

### ทฤษฎีเกี่ยวกับ

#### 2.1 เมทิลีนบลู ( Methylene blue ) [5]

เมทิลีนบลูเป็นสารประกอบอินทรีย์เคมีที่มีสูตรโมเลกุล  $C_{16}H_{18}N_3S\text{Cl}$  ถูกเตรียมขึ้นครั้งแรกในปี ค.ศ. 1876 โดยนักวิทยาศาสตร์เคมีชาวเยอรมัน Heinrich Caro ซึ่งมีการนำไปใช้อย่างแพร่หลายทั้ง ด้านเคมีและชีววิทยา ที่อุณหภูมิห้องจะมีสถานะเป็นของแข็ง ไม่มีกลิ่น เป็นผงสีเขียวเข้ม สามารถละลายได้ในน้ำในอัตราสัดส่วนน้ำ 3 ส่วนต่อเมทิลีนบลู 1 ส่วน มักใช้ในทางการแพทย์อย่างแพร่หลาย เนื่องจากเป็นสารสำคัญในระบบทางการแพทย์ แสดงดังในตาราง 2.1

ตารางที่ 2.1 สมบัติของสารเมทิลีนบลู

ชื่อผลิตภัณฑ์	Methylene blue
องค์ประกอบ/ข้อมูลเกี่ยวกับส่วนผสม	
สูตร	$C_{16}H_{18}ClN_3S^* \times H_2O (X=2-3)$  
มวลโมเลกุล	319.86 g/mol (ปราศจากน้ำ)
สมบัติทางกายภาพและเคมี	
รูปแบบ	ของแข็ง
สี	สีฟ้าเข้ม
กลิ่น	ไม่มีกลิ่น
ค่าความเป็นกรด-ด่าง	โดยประมาณ 3 ที่ 10 g/l 20 องศาเซลเซียส
จุดหลอมเหลว	โดยประมาณ 180 องศาเซลเซียส ( สลายตัว )
ความหนาแน่นบล็อก	โดยประมาณ 400-600 kg/m <sup>3</sup>
ความสามารถในการละลายน้ำ	โดยประมาณ 50 g/l 20 องศาเซลเซียส และไม่ละลายใน diethyl ether

ตารางที่ 2.1 สมบัติของสารเมทิลีนบลู (ต่อ)

ความเสถียรและความว่องไวต่อปฏิกิริยา	สภาพที่ควรหลีกเลี่ยง ความร้อนสูง ( ก่อให้เกิดการสลายตัว ) สารเคมีที่ควรหลีกเลี่ยง สามารถเกิดปฏิกิริยารุนแรงกับตัวออกซิไดซ์ อย่างแรง,เบส,ตัวเรดิวซ์,สารประกอบของโลหะอัลคาไล,สารพากไอโอดีต,โปแตสเซียมไดโครเมต
-------------------------------------	---

ที่มา : [www.chemdat.info](http://www.chemdat.info),2014

### 2.1.1 คุณสมบัติการดูดกลืนแสง

เมทิลีนบลู เป็นสารที่สามารถดูดกลืนความเข้มของแสงได้มากที่สุดที่ 670 nm ซึ่งค่าการดูดกลืนแสงของ เมทิลีนบลู แต่ละตัวนั้นมีค่าแสดงดังในตาราง 2.2 ดังนี้

ตารางที่ 2.2 ค่าสมบัติการดูดกลืนแสงของ Methylene Blue

Species	Absorption peak	Extinction coefficient (dm <sup>3</sup> /mole·cm)
MB <sup>+</sup> (solution)	664	95,000
MBH <sup>2+</sup> (solution)	741	76,000
(MB <sup>+</sup> ) <sup>2</sup> (solution)	605	132,000
(MB <sup>+</sup> ) <sup>3</sup> (solution)	580	110,000
MB <sup>+</sup> (adsorbed on clay)	673	116,000
MBH <sup>2+</sup> (adsorbed on clay)	763	86,000
(MB <sup>+</sup> ) <sup>2</sup> (adsorbed on clay)	596	80,000
(MB <sup>+</sup> ) <sup>3</sup> (adsorbed on clay)	570	114,000

ที่มา : [www.chemdat.info](http://www.chemdat.info),2014

## 2.2 การกำจัดสีในน้ำเสีย [1]

เทคโนโลยีที่ใช้ในการกำจัดสีในน้ำเสียอุตสาหกรรม มีหลายวิธีได้แก่วิธีทางกายภาพ เคมีและชีวภาพ ซึ่งแต่ละวิธีก็จะมีข้อจำกัดที่แตกต่างกัน ได้แก่ การดูดซับด้วยถ่านกัมมันต์ เป็นวิธีที่มีประสิทธิภาพในการบำบัดสูง แต่มีข้อจำกัดคือการนำกลับมาใช้ใหม่จะต้องพื้นฟูสภาพด้วยการเผาที่ความร้อนสูงซึ่งมีค่าใช้จ่ายสูง การใช้กระบวนการกรองด้วยเยื่อแผ่น ก็จะต้องควบคุมระดับความดันน้ำ อัตราการไหลของน้ำ ค่าความเป็นกรดด่างและอุณหภูมิ การสร้างตะกอนและการรวมตะกอนโดยใช้สารสัมปุนขาว และสารประกอบเหล็ก ก็เป็นวิธีที่มีประสิทธิภาพสูง แต่จะมีภาระกากอนเกิดขึ้นในปริมาณมากซึ่งยุ่งยากในการนำไปกำจัดกระบวนการ芬ตัน ก็ต้องควบคุมความเข้มข้นของเหล็ก ความเข้มข้นของไฮโดรเจนเปอร์ออกไซด์ ค่าอุณหภูมิ ค่าความเป็นกรดด่างและระยะเวลาในการเกิดปฏิกิริยา การใช้อิโอดิน ก็ต้องควบคุมอุณหภูมิ ความดัน ความเป็นกรดด่าง และความสิ้นเปลืองพลังงานไฟฟ้ารวมทั้งอาจส่งผลกระทบต่อสิ่งมีชีวิตในแหล่งน้ำ เนื่องจากอิโอดินจะทำปฏิกิริยากับสารบางชนิดทำให้เกิดเป็นสารก่อมะเร็ง ในการใช้เทคโนโลยีทางกายภาพและเคมีมีข้อจำกัด เนื่องจากมีการใช้สารเคมีในการกำจัดนอกจากจะสิ้นเปลืองแล้วตะกอนที่เกิดขึ้นมีปริมาณมากและเป็นการเพิ่มสารเคมีในสิ่งแวดล้อมด้วย การใช้เทคโนโลยีทางชีวภาพ ได้แก่ การดูดซับสีด้วยสาหร่าย การย่อยสลายสีโดยใช้เชื้อราบางชนิด มีข้อจำกัดในเรื่องความสะอาดในการใช้งาน การเก็บรักษา การขนส่ง รวมถึงการควบคุมปัจจัยที่มีผลต่อการดูดซับและการย่อยสลาย การเลือกเทคโนโลยีที่เหมาะสมกับน้ำเสียของอุตสาหกรรมแต่ละประเภท ต้องคำนึงถึงลักษณะน้ำเสีย ปริมาณน้ำเสียประสิทธิภาพค่าใช้จ่าย ฯลฯ ในทางปฏิบัติควรมีการนำน้ำเสียมาทดสอบก่อนเพื่อเป็นแนวทางในการเลือกใช้เทคโนโลยีที่เหมาะสม

### 2.2.1 ประเภทของสีในน้ำเสียอุตสาหกรรม

สีในแหล่งน้ำแบ่งเป็น 2 ชนิด คือ

#### 2.2.1.1 สีแท้หรือสีจริง (True color)

สีที่เกิดจากสารต่างๆ ในน้ำ และละลายน้ำเป็นเนื้อเดียวกับน้ำ โดยสารที่มีผลต่อการเกิดสีแท้ส่วนใหญ่ ได้แก่ สารอินทรีย์ซึ่งย่อยสลายยากประเภทกรดอิวมิค และฟลวิค (Humic acid and Fulvic acid) ซึ่งเกิดจากการย่อยสลายของสิ่งมีชีวิต และผลผลิตจากการกระบวนการเมtabolismของสิ่งมีชีวิต ซึ่งมีความคงตัวสูงมากจนไม่สามารถย่อยสลายและแยกออกโดยการกรองได้ การกำจัดสีแท้จึงทำได้ยาก

#### 2.2.1.2 สีปรากฏ (Apparent color)

สีที่เกิดจากสารแขวนลอยในน้ำที่สะท้อนแสงปรากฏให้เห็นแก่สายตา เช่น แพลงก์ตอนพืช และแพลงก์ตอนสัตว์ เกล็ดของชากรีซชากรีต ตะกอนของดินและทราย สามารถกำจัดออกได้โดยวิธีทางกายภาพ เช่น การกรอง หรือการตกตะกอน

สำหรับสีของน้ำเสียจากอุตสาหกรรมมีทั้งสีแท้และสีปรากฏ โดยสีแท้มักเป็นน้ำเสียจากอุตสาหกรรมสกัดน้ำมันปาล์มและขอบไม้ยางพารา ส่วนสีปรากฏเกิดจากการแขวนลอยในน้ำจาก 2 กรณี คือสีของน้ำเสียเองเนื่องจากการปนเปื้อนมาแต่แรกในน้ำเสีย เช่น สีของน้ำเสียจากอุตสาหกรรมท่อผ้า ฟอกย้อมเยื่อกระดาษ ซึ่งสีที่เกิดขึ้นเป็นสีปรากฏจากสารเคมี ในกระบวนการผลิตรวมทั้งลิกนินและแทนนิน โดยอาจแบ่งประเภทตามการแตกตัวให้ประจุ เส้นใยที่ใช้ย้อมหมู่ช่วยละลาย รวมทั้งโครงสร้างทางเคมีของสี นอกจากนี้สีที่เกิดขึ้นในน้ำเสียหลังจากการเก็บกัก หรือหลังจากการบำบัด เช่น ในระบบบำบัดแบบบ่อผิว (Oxidation pond) ที่อาศัยสาหร่ายให้ออกซิเจน แต่สาหร่ายทำให้น้ำมีสีเขียว เป็นต้น

## 2.2.2 เทคโนโลยีการกำจัดสี (Color Removal Technology)

### 2.2.2.1 เทคโนโลยีทางกายภาพ (Physical Technology)

#### ก. การดูดซับโดยใช้ถ่านกัมมันต์ (Activated Carbon)

ถ่านกัมมันต์เป็นวัสดุที่มีรูพรุนสูงและมีคุณสมบัติในการดูดซับสารประกอบอินทรีย์ต่างๆ ที่ปนเปื้อนอยู่ในของเหลวหรือก๊าซเอาไว้ได้ในปริมาณสูง เนื่องจากมีรูขนาด ทำให้สามารถกำจัดสีแท้และสีปรากฏได้อย่างมีประสิทธิภาพ โดยนำวัตถุดิบพากสารอินทรีย์ที่มีคาร์บอนเป็นองค์ประกอบ เช่น ไม้ ถ่านหิน ปิโตรเลียมกากมะพร้าว เปลือกถั่วเมล็ดแข็ง กากชาノอ้อย ขี้เลือย กรดถูกสั่วเป็นต้น นำมาเผาด้วยความร้อนในเตาอับอากาศ และเผาเร่งที่อุณหภูมิสูงเพื่อให้เกิดความพรุน (Porosity) และอัดด้วยไอน้ำร้อนยิ่งยาดที่อุณหภูมิประมาณ 200-1,600 องศาเซลเซียส เพื่อเพิ่มพื้นที่ผิวในการดูดซับให้มากที่สุดความพรุนมีค่าพื้นผิวสัมผัสต่อมวล (Surface area per mass ratio) ระหว่าง 500-1,600 ตารางเมตรต่ogrัม จากนั้นนำไปบดเป็นเม็ดขนาดเส้นผ่านศูนย์กลาง 0.1-2 มิลลิเมตร เรียกว่า ถ่านกัมมันต์ชนิดเม็ด (Granular activated carbon) ส่วนถ่านกัมมันต์ชนิดผง (Powered activated carbon) มีขนาดเส้นผ่านศูนย์กลางประมาณ 10-50 ไมครอน ในการกำจัดสีนิยมใช้ถ่านกัมมันต์ชนิดเม็ด โดยบรรจุในถังรูปทรงกระบอก (Fixed bed system) และปล่อยให้น้ำเสียไหลผ่านชั้นถ่านด้วยอัตราเร็วที่เหมาะสม คือ ระหว่าง 5-25 ลูกบาศก์เมตรต่อชั่วโมงต่อหนึ่งตารางเมตรของพื้นที่หน้าตัดถัง และมีระยะเวลาสัมผัส (Contact time) ประมาณ 10-15 นาที ซึ่งจะเกิดกลไกการดูดติดผิวของถ่านกัมมันต์ โดยโครงสร้างมีความพรุนสูงทำให้เกิดผิวสัมผัสโ摩เลกุลภายในจะถูกกระทำด้วยแรงเท่าๆ กันทุกทิศทาง ส่วนโมเลกุลที่อยู่บนผิวน้ำของถ่านกัมมันต์จะถูกกระทำด้วยแรงที่ไม่สมดุล ซึ่งแรงนี้สามารถทำให้สมดุลได้โดยทำให้โมเลกุลอื่นมาเกาะติดที่ผิวสัมผัสด้วยแรงยึดเหนี่ยววนเดอวัลส์ (Van der waals force) โมเลกุลของสารละลายจะถูกยึดไว้ในสภาพที่ความเป็นกรดด่างต่างจะดูดซับได้ เมื่อจากถ่านกัมมันต์จะมีสภาพเป็นประจุบวกอันเนื่องมาจากดูดซับประจุบวกของไฮโดรเจนไว้ ในขณะเดียวกันสารคolloidal และสารอินทรีย์ที่ก่อให้เกิดสีมีประจุลบแรงดึงดูดระหว่างกันจึงมีมาก แต่การเกาะยึดกันเป็นแรงอ่อนๆ ดังนั้นสามารถเกิดการเปลี่ยนกลับไปกลับมาได้ ทำให้การพื้นตัวของตัวดูดติดผิวทำได้ง่ายแต่มักเกิดปัญหาสารแขวนลอยติดค้างอุดตัน

ผิวน้ำของชั้นถ่านจนทำให้อัตราการไหลผ่านลดลง สามารถแก้ไขได้โดยการอัดน้ำล้างเข้าทางด้านล่าง (Backwashing) เมื่อรูพรุนของเม็ดถ่านจะถูกอุดตัน

#### ข. การกรองด้วยเยื่อแผ่น (Membrane)

กระบวนการกรองด้วยเยื่อแผ่น สามารถแบ่งได้ 3 วิธีคือ ออสโมซิสย้อนกลับ (Reverse osmosis) อัลตราฟิวเตอร์ชั้น (Ultrafiltration) และนาโนฟิวเตอร์ชั้น (Nanofiltration) แต่ วิธีอัลตราฟิวเตอร์ชั้นไม่เป็นที่นิยมเนื่องจากมีขนาดรูเปิดของเยื่อกรองใหญ่ ไม่สามารถกรองอนุภาคของสือออกจาบน้ำเสียได้ ส่วนอิอสโมซิสย้อนกลับเหมาะสมสำหรับการทำจัดสีที่ไม่เลกุลขนาดใหญ่ได้แก่สีแท้ เป็นการกรองแยกน้ำออกจากของแข็ง เช่นล้อย หรือของแข็งที่ละเอียดน้ำ โดยผ่านรูพรุนขนาดเล็กและใช้ความดันเป็นแรงขับเคลื่อนให้น้ำไหลผ่านตัวกรองเป็นกระบวนการที่ต้องผ่านเยื่อแผ่น 2 ชั้นตอน คือ เยื่อแผ่นออสโมซิสย้อนกลับที่บรรจุน้ำกร่อย และเยื่อแผ่นออสโมซิสย้อนกลับที่บรรจุน้ำทะเล ซึ่งตัวยไม่เลกุลของสิ่งสกปรกทำให้ถ่านหมดประสิทธิภาพการดูดซับสามารถฟื้นฟูสภาพโดยการเผาในเตาอับออกซิเจน ที่อุณหภูมิประมาณ 800 องศาเซลเซียส และผ่านไอน้ำเพื่อเร่งคุณสมบัติของถ่าน การทำจัดสีด้วยการดูดซับด้วยถ่านกัมมันต์ เป็นเพียงวิธีการเคลื่อนย้ายสารอินทรีย์ออกจากน้ำโดยไม่เลกุลของสิ่งสกปรกจะเคลื่อนที่ไปเกาะอยู่รอบนอกของเม็ดถ่านกัมมันต์ ไม่เลกุลของสีจะพุ่งกระจายเข้าไปในรูของเม็ดถ่านจนเต็ม ถ่านกัมมันต์จะเสื่อมสภาพแต่สามารถนำกลับมาใช้ใหม่โดยการฟื้นฟูสภาพ (Regeneration) ซึ่งมีต้นทุนสูง เพราะการเผาและการทำจัดการทำให้มีเป็นที่นิยมเยื่อแผ่นแกรสมาร์กทำจัดสีปรากฏซึ่งมาจากโรงฟอกiyomได้ลึกร้อยละ 90 ความเข้มข้นของสีที่เหลือจะถูกส่งผ่านไปยังเยื่อแผ่นที่สอง และสามารถทำจัดสีได้ลึกร้อยละ 94 สำหรับกระบวนการทำจัดสีโดยใช้แผ่นกรอง nano ใช้หลักการเหมือนออสโมซิสผันกลับ แต่การกรองผ่านแผ่น nano มีประสิทธิภาพมากกว่าเนื่องจากมีรูขนาดที่เล็กกว่า ทำให้แยกสือออกจาบน้ำได้ดีกว่าโดยสามารถแยกสารที่มีน้ำหนักไม่เลกุลต่ำออกจากสารที่มีน้ำหนักไม่เลกุลสูง เช่น สารอินทรีย์เชื้อจุลินทรีย์กรดอินทรีย์ต่างๆ ซึ่งขนาดของแผ่นกรองส่วนใหญ่เป็นแบบเชิงประจุที่มีรูพรุนประมาณ 1.5-2.5 นาโนเมตรและมีช่วงความดันที่ใช้ประมาณ 10-34 บาร์ เยื่อแผ่น nano สามารถทำจัดสียอมที่ความดัน 10 บาร์ อุณหภูมิ 45 และ 60 องศาเซลเซียสมากกว่าร้อยละ 97 และจะลดลงเมื่อสารละลายมีความเข้มข้นเพิ่มขึ้น ซึ่งปัจจัยที่มีผลต่อสมรรถนะการกรองผ่านด้วยแผ่น nano ได้แก่ อัตราการไหลและลักษณะการไหล ความดัน ความเป็นกรดด่าง และอุณหภูมิ

นอกจากนี้มีกระบวนการทำจัดสีจากโรงงานฟอกiyomโดยการแยกสารผ่านเยื่อด้วยไฟฟ้า (Electrodialysis) ซึ่งเป็นระบบที่ใช้แผ่นกรองร่วมกับไฟฟ้ากระแสตรงแยกสารประจุบวกและประจุลบออกจากน้ำ โดยมีแผ่นกรองที่มีประจุบวก (Cation) และประจุลบ (Anion) ติดตั้งทางสลับกันเป็นชั้นๆ จากนั้นกระแสไฟฟ้าจะถูกส่งเข้าไปในช่องระหว่างแผ่นกรอง และขณะเดียวกันก็มีการปล่อยไฟฟ้ากระแสตรงผ่านแผ่นกรอง โดยแผ่นกรองประจุบวกยอมให้ประจุบวกไหลผ่านไปพร้อมกับน้ำส่วนหนึ่ง และแผ่นกรองประจุลบยอมให้สารประจุลบไหลผ่าน โดยน้ำที่มีประจุบวกและประจุ

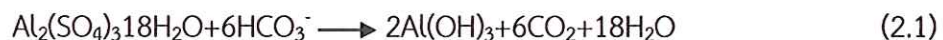
ลบรุ่มกันแล้วไหหลังออกไป แต่มักเกิดปัญหาตะกรันเกาะติดแผ่นกรองทำให้สีเปลี่ยนพลังงานไฟฟ้ามาก และต้องทำล้างทำความสะอาดบ่อยครั้งจึงไม่ได้รับความนิยม

### ค. เทคโนโลยีการกำจัดสีทางเคมี

#### ค.1 การสร้างรวมตะกอน (Coagulation flocculation)

การรวมตะกอนด้วยสารเคมีเป็นกระบวนการกำจัดสีแท้และสีปรากฏในน้ำเสียโดยใช้ร่วมกับการปรับค่าความเป็นกรดด่างสารที่นิยมใช้เป็นสารเคมีสร้างตะกอน (Coagulant) คือสารส้ม (Aluminium Sulfate; Alum) ปูนขาว (Calcium oxide) และเหล็กในรูปเฟอร์รัสซัลเฟต ( $\text{FeSO}_4$ ) หรือเฟอร์รัสคลอไรด์ ( $\text{FeCl}_2$ ) โดยถ้าโนเลกุลของสีมีขนาดเล็ก ละลายน้ำได้ดี การเกิดตะกอนของสีจะไม่สามารถทำได้ แต่ต้องปรับปรุงประสิทธิภาพของการรวมตะกอนให้เป็นไปอย่างสมบูรณ์ โดยใช้สารช่วยให้เกิดการรวมตัวของตะกอน เช่น โพลีอิเล็กโทรไลต์ (Polyelectrolyte)

การกำจัดสีโดยการสร้างและรวมตะกอนเป็นการทำให้ตะกอนหรือสารแขวนลอยขนาดเล็ก (Colloid) รวมตัวกันเป็นตะกอนขนาดใหญ่ขึ้น และสามารถตกตะกอนเนื่องจากอนุภาคของสารแขวนลอยมีประจุไฟฟ้าลบเป็นส่วนใหญ่ เมื่อนุภาคเหล่านั้นมาพบกันก็จะผลักกันไม่สามารถรวมตัวกันเป็นตะกอนขนาดใหญ่ ดังนั้นจึงทำลายประจุของอนุภาคหรือทำให้ออนุภาคเป็นกลวงโดยการเติมสารเคมีสร้างตะกอนเรียกว่า กระบวนการสร้างตะกอน (Coagulation) หลังจากนั้นเกิดกระบวนการรวมกัน (Flocculation) ได้มากขึ้นโดยการเติมสารเคมีรวมตะกอน (Flocculants) ลงไปช่วยยึดหรือจับให้กลุ่มตะกอนที่รวมตัวกันเข้ามาจับเป็นกลุ่มตะกอนใหญ่ขึ้น เรียกว่า ฟล็อก (Floc) เมื่อตะกอนกลุ่มใหญ่ขึ้นก็มีน้ำหนักมากขึ้นก็สามารถตกตะกอนออกจากน้ำเสียได้ ซึ่งสารส้มมีคุณสมบัติทำหน้าที่เป็นตัวสร้างและรวมตะกอน ในขั้นแรกจะเติมปริมาณน้อยเพื่อให้ประจุบวกที่เกิดขึ้นจะทำหน้าที่เป็นตัวสร้างตะกอน (Coagulant) ไปทำลายประจุลบ และเมื่อเติมสารส้มมากขึ้นจะเกิดเป็นตะกอนเบาของอะลูมิเนียมไฮดรอกไซด์ ( $\text{Al(OH)}_3$ ) ซึ่งจะเป็นตัวเคาะของอนุภาคต่างๆ ทำหน้าที่เป็นสารรวมตะกอน โดยสามารถละลายน้ำได้ถึง 71 ส่วนในน้ำ 100 ส่วน ที่อุณหภูมิ 20 องศาเซลเซียส เมื่อลดลงน้ำจะทำปฏิกิริยาดังสมการ 2.1



จากสมการ อะลูมิเนียมไฮดรอกไซด์มีลักษณะเป็นเม็ดเหนียวๆ (คล้ายเม็ดแมงลักแต่เล็กกว่า) ไม่ละลายน้ำและจะตกตะกอนช้าๆ และระหว่างที่ตกตะกอนก็จะดึงเอาสารแขวนลอยต่างๆ มาเกาะเป็นเม็ดใหญ่ขึ้น จะมีประสิทธิภาพดีที่ความเป็นกรดด่างระหว่าง 5.0-7.0 ถ้านำมีค่าสภาพด่างต่ำเติมสารส้มมากทำให้สภาพด่างจะถูกทำลายหมด และจะทำให้ค่าความเป็นกรดด่างของน้ำลดลงจนเป็นกรด ดังนั้นในบางกรณีจำเป็นต้องมีการเติมด่างไปพร้อมกับสารส้มเพื่อชดเชยซึ่งปริมาณสารส้มที่ต้องใช้นั้นจะแตกต่างกันออกไป ขึ้นกับลักษณะของน้ำ จึงจำเป็นต้องหาปริมาณที่

ถูกต้องด้วยวิธีทดสอบการตกตะกอน (Jar test) โดยการเติมสารเคมีในอัตราส่วนที่แตกต่างกัน แล้วเริ่มการกรุนเร็วไม่เกิน 1 นาที แล้วเปลี่ยนความเร็วไปพัดมากรวนซ้ำ ประมาณ 5-20 นาที และหยุดให้เกิดการตกตะกอน ซึ่งการตกตะกอนด้วยสารเคมี ทำให้มีกากตะกอน (Sludge) จำนวนมากต้องกำจัดต่อไป สำหรับปูนขาว ( $\text{CaO}$ ) มีประสิทธิภาพไม่เท่าสารส้ม การใช้งานส่วนใหญ่มักจะเติมพร้อมกับสารส้ม เพื่อให้สารส้มตะตะกอนและปูนขาวปรับค่าความเป็นกรดด่างให้กับน้ำ ส่วนสารประกอบเหล็กในรูปต่างๆไม่ค่อยได้รับความนิยม เพราะมีราคาแพงกว่าสารส้ม และตะกอนของเหล็ก ( $\text{Fe(OH)}_3$ ) ที่เกิดขึ้นอาจจะถูกจัดอยู่ในกลุ่มสารพิษ

#### ง. การออกซิเดชันทางเคมี (Chemical oxidation)

กระบวนการออกซิเดชันทางเคมี ใช้สารเคมีเป็นปัจจัยสำคัญในการออกซิไดร์สสารประกอบต่างๆ ในน้ำเสีย โดยสารเคมีที่นิยมใช้เป็นตัวออกซิแดนซ์อย่างแพร่หลาย ได้แก่ สารเคมีเฟนตัน (Fenton's reagent) และโอโซน ( $\text{O}_3$ )

นอกจากนี้มีกระบวนการกำจัดสีแบบไฟฟ้าเคมี (Electrochemical process) ซึ่งสามารถกำจัดสีแบบรีแอกทิฟในน้ำเสียของโรงงานฟอกย้อม โดยเป็นกระบวนการที่มีความสัมพันธ์ระหว่างปฏิกิริยาเคมีและพลังงานไฟฟ้า เรียกว่า ปฏิกิริยาเริดอกซ์ ซึ่งเกิดขึ้นโดยการเคลื่อนที่ของอิเล็กตรอนจากสารที่เกิดออกซิเดชันไปยังสารที่เกิดรีดักชันผ่านตัวนำไฟฟ้าที่เหมาะสม ทำให้เกิดการเปลี่ยนรูปอ่อนของโลหะที่ก่อให้เกิดสี ทำให้เลือกออกซิเดชันของไอออนของโลหะเปลี่ยนไป และสามารถดูดซับกับสารแ徊วนลอยต่างๆ ที่อาจก่อให้เกิดสีด้วยตะกอนเบาในรูปของออกไซด์ที่ได้จากการแตกตัวของอิเล็กโทรดให้เกิดการตกตะกอนขึ้น กระบวนการไฟฟ้าเคมีมีกลไกการกำจัดสารประกอบอินทรีย์ด้วยกระบวนการสร้างตะกอน (Coagulation) การดูดซับ (Adsorption) การตกตะกอน (Precipitation) และการลอยตัว (Flootation) ทำให้สามารถกำจัดสีออกจากน้ำเสียได้ ซึ่งปริมาณกระแสไฟฟ้า ระยะเวลาในการทำปฏิกิริยาและระยะเวลาการตกตะกอน เป็นปัจจัยสำคัญที่มีผลต่อประสิทธิภาพการบำบัด โดยเมื่อใช้ระดับกระแสไฟฟ้าระยะเวลาในการทำปฏิกิริยา และระยะเวลาการตกตะกอนเพิ่มขึ้นส่งผลให้ประสิทธิภาพในการลดสี

#### 2.2.3 เทคโนโลยีทางชีวภาพ (Biological technology)

เทคโนโลยีทางกายภาพ และเคมีเป็นการใช้สารเคมีในการกำจัดสีทำให้สีน้ำเปลี่ยนค่าใช้จ่ายและเกิดตะกอน ทั้งยังเป็นการเพิ่มสารเคมีเข้าสู่ระบบสิงแวดล้อม เทคโนโลยีทางชีวภาพจึงเป็นทางเลือกที่น่าสนใจ จึงมีการศึกษาการย่อยสลายโดยสร้างของสียอมกลุ่มอะโซ (ประกอบด้วยหมู่  $-N=N-$  เกาะกับวงแอล์เอมิติก) และแอนทรัคิโนน (ประกอบด้วยหมู่ Conjugated aromatics) โดยจุลินทรีย์จำพวกยีสต์ ราและแบคทีเรียที่ย่อยบริเวณหมูโคโรโนฟอร์และลดความเป็นพิษของสี นอกจากนี้ ศึกษาการย่อยสีรีแอกทิฟกลุ่มไดอะโซโดยยีสต์ *Candida oleophila* ที่แยกได้จากน้ำทึบในโรงงานสกัดน้ำมันมะกอก พบร่วมกับการย่อยเกิดได้ดีในช่วง การเจริญเติบโตอย่างรวดเร็วในอัตราคงที่ (Exponential growth phase) โดยการย่อยเกิดโดยเอ็นไซม์ที่มีกิจกรรมคล้ายกับเอนไซม์

อะโซเรดักเตส (Azoreductase) ที่พบในแบคทีเรีย ซึ่งสามารถลดสีในน้ำทึ้งจากโรงงานฟอกย้อมได้ เทคโนโลยีทางชีวภาพสามารถนำมาทำจัดสีแท้และสีปรารถนาจากน้ำเสียอุตสาหกรรมฟอกย้อม เยื่อกระดาษและอุตสาหกรรมอื่นๆ โดยมีรายละเอียดดังนี้

#### 2.2.3.1 การดูดซับด้วยสาหร่าย (Algae adsorption)

สาหร่ายสามารถกำจัดสีของน้ำเสียจากอุตสาหกรรมโดยการดูดซับสีเหล่านั้น ภายใต้สภาวะที่มีแสงโดยเปลี่ยนโมเลกุลที่มีสีเป็นโมเลกุลที่ไม่มีสี ซึ่งสาหร่ายช่อพริกไทย (*Caulerpa lentillifera*) สามารถดูดซับสีเบสิคจากอุตสาหกรรมฟอกย้อมได้ โดยสมดุลของการดูดซับ เป็นไปตามทั้งโมเดลของ Langmuir และ Freundlich นอกจากนี้สาหร่ายสีเขียวแกมน้ำเงิน และกลุ่มสาหร่ายสีเขียวมีประสิทธิภาพกำจัดสีของโรงงานผลิตสูรำที่ใช้กาน้ำตาลเป็นวัตถุดิบ โดยมีปัจจัย ด้านปริมาณความเข้มข้นของอาหาร ปริมาณความเข้มแสง ปริมาณความเข้มข้นของเซลล์ตั้งต้น รวมทั้งค่าความเป็นกรดด่าง และเมื่อนำปฏิกิริยาเ Fen ต้นและโอโซนมาบำบัดร่วมกับการใช้สาหร่ายทั้งสองสายพันธุ์ พบร่วมกับสาหร่ายทั้งสองสามารถกำจัดสีได้เพิ่มขึ้น

#### 2.2.3.2 การย่อยสลายโดยเชื้อรา (Fungi decomposition)

กระบวนการกำจัดสีในน้ำทึ้งโดยเชื้อราเป็นการสร้างเอนไซม์ออกเซลล์กลุ่ม ลิกนินไนโอลิติก (Ligninolytic enzyme) ย่อยสลายเนื้อไม้โดยเฉพาะเห็ดราในกลุ่มเชื้อราไวท์ร็อทหรือ บราร์ร็อท (White or brown rot fungi) ซึ่งสามารถเจริญเติบโตได้ดีบนอนไม้ โดยในเนื้อไม้มี องค์ประกอบที่สำคัญ คือ ลิกโนเซลลูลอส ทำให้สามารถกำจัดสีในน้ำทึ้งจากอุตสาหกรรมเยื่อกระดาษ ได้ นอกจากนี้เชื้อรา *Aspergillus fumigatus* สามารถผลิตสารแลคเคส เปอร์แมกนิสและ ไซลานส์ซึ่งมีประสิทธิภาพกำจัดสีโดยย่อยสลายลิกนินในช่วงความเป็นกรดด่าง 6.0-9.0 นอกจากนี้รา Isolate A19 ที่แยกได้จากเห็ดและรา Isolate B7 ที่แยกได้จากเห็ดและกิงไม้สามารถกำจัดสีและ ลิกนินของน้ำทึ้งในสภาวะที่มีน้ำตาลซูโครสเป็นอาหาร คาร์บอนและโซเดียมไนเตรตเป็นแหล่งอาหาร ในโตรเจน ที่ความเป็นกรดด่าง 5 รวมทั้งเชื้อราเส้นใยสีขาว *Datrtonia sp.* KAPI0039 สามารถผลิต เอนไซม์ย่อยสลายลิกนินแลคเคสและแมกนิสเปอร์ออกซิเดส ซึ่งทำให้สีรีแอคทิฟของน้ำทึ้งจาก โรงงานฟอกย้อมสิ่งทอลดลง การใช้ราในการกำจัดสีย้อมผ้าไม่ค่อยเป็นที่นิยมเนื่องจากมีข้อด้อยใน ด้านความสะดวกในการใช้งาน การเก็บรักษา รวมถึงการขนส่งจึงมีการการทดลองนำราชนิด *Lentinus polychrous* Lev. ซึ่งอยู่ในรูปของเส้นใยแห้งที่ได้จากการทำแห้งแบบฟลูอิเดช (Fluidized bed drying) กำจัดสีจากโรงงานฟอกย้อม พบร่วมกับความสามารถกำจัดสีได้รวมทั้งการทำแห้งเป็น วิธีง่ายและสะดวก อีกทั้งสามารถประยุกต์พัฒนาทำให้มีต้นทุนต่ำ โดยปัจจัยที่มีผลต่อ กิจกรรม เอนไซม์และการเจริญเติบโตได้แก่ สารอาหาร คือ ระดับความเข้มข้นในโตรเจน และคาร์บอน อุณหภูมิ ความเป็นกรดด่าง สารยับยั้ง จากระบวนการแคทายไลซิล หรือไฮโดตไลซ์ของเอนไซม์ และอ่อนโน้ม ได้แก่ แมกนิส

### 2.2.3.3 การย่อยสลายด้วยแบคทีเรีย (Bacteria decomposition)

การย่อยสลายสีด้วยแบคทีเรียสามารถลดสีหลามะเขียวโดย Walker & Weatherley (2000) ศึกษาการดูดซับสีก่อมแอนทรัคิวโนนโดยเชื้อ *Bacillus gordonae*, *B. benzevorans* และ *Ps. putida* ที่ความเข้มข้นเริ่มต้น 250 มิลลิกรัมต่อลิตร ความเป็นกรดด่างเท่ากับ 7 พบร้าประสิทธิภาพการกำจัดสีเท่ากับร้อยละ 13-19 และ 18 ตามลำดับ และการย่อยสลายสีรีแอคทีฟ Red 2 พบร้า สามารถกำจัดได้ด้วยกระบวนการເອສປົວອ່າງແບບແອໂຮບິກ-ແອໂຮບິກ แบคทีเรียที่มีความสำคัญในการกำจัดสี 3 กลุ่ม คือ *Pseudomonas sp.*, *Proteus sp.* และ *Klebsiella sp.* นอกจากนี้ศึกษาประสิทธิภาพของแบคทีเรียพันธุ์ *Burkholderia glumae* ในการย่อยสลายสีรีแอคทีฟในน้ำเสียสังเคราะห์ พบร้า กระบวนการบำบัดแบบไม่เติมอากาศให้ผลเร่งการกำจัดสีได้กว่าการบำบัดแบบเติมอากาศ โดยสามารถจัดสีในน้ำทึบได้ร้อยละ 76 ในเวลา 7 วัน โดยปัจจัยที่มีผลต่อการย่อยสลาย คือ ค่าความเป็นกรดด่าง ความเข้มข้นเริ่มต้นของสีย้อม สารอาหารที่จำเป็นต่อการเจริญรวมถึงความต้องการอากาศในการเจริญของเชื้อแบคทีเรียและการย่อยสลายสี

## 2.3 Advanced oxidation process [7]

ปฏิกิริยาเคมีที่มีแสงเป็นตัวกระตุ้น (Photochemical reactions) ของไทดเนียมไดออกไซด์ (Titanium dioxide:  $TiO_2$ ) ได้รับความสนใจในประเภทของการออกซิเดชันขั้นสูง (Advanced oxidation processes: AOPs) เป็นระยะเวลากว่า 30 ปีกระบวนการนี้เป็นกระบวนการทำความสะอาดทางเคมีโดยใช้ตัวออกซิเดช์ที่มีประสิทธิภาพ อาทิ เช่น โอโซน หรือไฮโดรเจนperออกไซด์ซึ่งสามารถออกซิเดช์สารประกอบอินทรีย์ที่เป็นพิษจำนวนมากได้กระบวนการออกซิเดชันขั้นสูงสามารถจัดจำแนกได้เป็น 2 ลักษณะคือการเร่งปฏิกิริยาด้วยแสงแบบเอกพันธุ์ (Homogeneous) และวิธิพันธุ์ (Heterogeneous) ความแตกต่างของทั้งสองลักษณะนี้คือเป็นระบบเฟสเดียวและเป็นระบบสองเฟสตามลำดับ ส่วนการเร่งปฏิกิริยาด้วยแสงโดยใช้ไทดเนียมได-ออกไซด์เป็นกระบวนการแบบวิธิพันธุ์งานวิจัยที่เกี่ยวกับการเร่งปฏิกิริยาด้วยแสงโดยใช้สารกึ่งตัวนำ มีมาตั้งแต่ช่วงปี ค.ศ. 1940s โดย Laider และคณะผู้ซึ่งวิจัยทางด้านปฏิกิริยาเคมีของชิงก์ออกไซด์ภายใต้การส่องสว่างในระยะเวลาเดียวกัน Mashio และ Kato ได้ศึกษาปฏิกิริยาที่มีตัวออกซิเดช์ใน การเร่งปฏิกิริยาด้วยแสง (Photocatalytic oxidantaction) ของแอลกอฮอล์โดยใช้ไทดเนียมได-ออกไซด์จนกระทั่งในปี ค.ศ. 1971 Honda และ Fujishima ได้ค้นพบสิ่งสำคัญที่นำไปสู่การพัฒนาไทดเนียมได-ออกไซด์ซึ่งเป็นตัวเร่งปฏิกิริยาด้วยแสงแบบสารกึ่งตัวนำในปี ค.ศ. 1969 Fujishima และคณะทำการฉายแสงไปยังอิเล็กโทรดไทดเนียมได-ออกไซด์ที่มีการเชื่อมติดอยู่กับอิเล็กโทรดแพลตินัมพบว่าสามารถแยกน้ำให้เป็นไฮโดรเจนและออกซิเจนได้โดยน้ำถูกออกซิเดช์และรีดิวชันในเวลาเดียวกันและนี้คือการคันพบที่เป็นเป้าหมายในอนาคตสำหรับการผลิตไฮโดรเจนที่ใช้เป็นเชื้อเพลิง ต่อมานี้นานก็พบว่าปฏิกิริยาดีออกซ์ของสารอินทรีย์และสารประกอบอนินทรีย์เกิดขึ้นได้โดยการฉายแสงที่สอดคล้องกับช่องว่างแบบพลังงานของอนุภาคกึ่งตัวนำนิดต่างๆในปี ค.ศ. 1998 Kraeutler

และ Bard ได้ทำการศึกษาออกซิเดชันของการปฏิกิริยาด้วยแสงของสารประกอบอินทรีย์อย่างง่าย เช่น แอลกอฮอล์และกรดคาร์บอคไซดิก (Carboxylic acids) ช่วงปลาย ค.ศ. 1980s การเร่งปฏิกิริยาด้วยแสงของไทเทเนียมไดออกไซด์ได้ถูกศึกษา กับสารประกอบอินทรีย์เกือบทั้งหมดจนกระทั่งในปี ค.ศ. 1990s กระบวนการเร่งปฏิกิริยาด้วยแสงโดยใช้ไทเทเนียมไดออกไซด์ที่ผ่านการฉายแสงยูวี ( $UV/TiO_2$ ) ได้ถูกนำมาใช้เพื่อทำความสะอาดน้ำเสียที่มีสารมลพิษอินทรีย์โดยใช้ในทางการค้า

ไทเทเนียมไดออกไซด์มีการใช้อย่างกว้างขวางในผลิตภัณฑ์ของพลาสติกวัสดุเคลือบสีน้ำเงินเที่ยมวัสดุอิเล็กทรอนิกส์และยางโดยยังสามารถใช้เป็นผงสีที่ให้ความขาวตามพวงผลิตภัณฑ์เครื่องสำอางค์ที่มีอยู่ในปัจจุบันด้วยคุณสมบัติของไทเทเนียมไดออกไซด์ที่มีความขาวทึบแสงมีดัชนีหักเหที่สูงมากไม่เป็นพิษนำกลับมาใช้ได้ใหม่หากได้จ่ายราคาไม่แพงซึ่งถือได้ว่าเป็นวัสดุที่มีประโยชน์หลายอย่างรวมทั้งยังสามารถใช้ได้กับชั่งความเป็นกรด-เบสที่กว้างและสามารถถลายโน้มเลกุลของสารประกอบอินทรีย์ให้เล็กลงได้เหตุที่เป็นเช่นนี้เนื่องจากไทเทเนียมไดออกไซด์สามารถถูกกระตุ้นด้วยการฉายแสงที่อยู่ในช่วงใกล้ยูวีซึ่งอาจถูกกระตุ้นด้วยแสงอาทิตย์ได้เมื่อไทเทเนียมไดออกไซด์ถูกฉายแสงจะเกิดชนิดของตัวออกซิไดซ์ซูเปอร์ออกไซด์เรดิเคิล ( $OH^-$ ) ซึ่งเป็นอนุมูลที่แรงและมีประสิทธิภาพสูงในการลดมลพิษ และตัวเรดิวัซซูเปอร์ออกไซด์เรดิเคิล ( $O^2-$ ) ที่อ่อนกว่าดังนั้นการเร่งปฏิกิริยาด้วยแสงโดยใช้ไทเทเนียมไดออกไซด์จึงมีความสามารถรีดิวัซสารมลพิษที่เป็นพิษ อย่างเช่น ไอออนโลหะหนักและสารอินทรีย์ที่เป็นมลพิษได้ อย่างไรก็ตามประสิทธิภาพของไทเทเนียมไดออกไซด์อย่างเดียวยังไม่สูงพอเนื่องจาก การรวมตัวกันของอิเล็กตรอนและไฮด์รอกอน (Hydronium ion) ดังนั้นจึงมีการพัฒนาประสิทธิภาพการเร่งปฏิกิริยาด้วยแสงของไทเทเนียมไดออกไซด์ซึ่งสามารถทำได้หลายวิธี เช่น ทำเป็นอนุภาคนาโนไทเทเนียมไดออกไซด์, การเจือด้วยโลหะมีสกุล (Noble metal) ไอออนโลหะแทรนซิชัน (Transitional metal ion) ไอออนโลหะแรเรอิร์ท (Rare earth metal ion) และแอนไอออน, การตกสะสมด้วยโลหะ (Metal deposition) การเพิ่มตัวกักเก็บอิเล็กตรอนและไฮด์รอกอน (Addition of electron and hole scavenger) การทำเป็นวัสดุผสมไทเทเนียมไดออกไซด์กับสีย้อม (Dye sensitized-TiO<sub>2</sub>) การปลูกฝังไอออนโลหะ (Metal ion implantation) และการทำเป็นสารกึ่งตัวนำคอมโพสิต (Composite semiconductor) เป็นต้น อนุภาคนาโนไทเทเนียมไดออกไซด์สามารถเพิ่มประสิทธิภาพได้เนื่องจากผลของขนาดทางความต้ม (Quantum size effects: QSE) อนุภาคนาโนสารกึ่งตัวนำมีสมบัติทางเคมีและทางอิเล็กทรอนิกส์แตกต่างจากของแข็งขนาดใหญ่หรือโน้มเลกุลเดี่ยว ดังนั้นจึงจำแนกเป็นวัสดุประเภทใหม่สมบัติของอนุภาคนาโน อาทิ เช่น สมบัติทางแสงสมบัติทางอิเล็กทรอนิกส์และสมบัติทางเคมีเด่นชัดตามขนาดของอนุภาคและรูปร่างในหลายๆ กรณีความเข้าใจเกี่ยวกับพื้นผิวนุภาคนาโนไทเทเนียมไดออกไซด์และบทบาททางปฏิกิริยาเคมีที่มีแสงเป็นตัวกระตุ้นยังคงไม่ได้พอกันอย่างนาโนนาโนไทเทเนียมไดออกไซด์สามารถเตรียมได้หลายวิธี อาทิ โซล-เจล (Sol-gel) ไฮโดรเทอร์มอล กระบวนการอัลลอยไซด์ปฏิกิริยาไฮโดรคลิซิส กระบวนการอัลสเปรย์แคลเซอเนชัน (Sol-spraying-calcination) กระบวนการตกตะกอนซึ่งวิธีโซล-เจล มีข้อดีที่ได้เด่นคือได้สารที่อยู่ในระดับนาโนเมตรอีกทั้งมีความบริสุทธิ์สูง มีความเป็นเนื้อเดียวกันและมีความสม่ำเสมอส่วนอนุภาคนา

ในไหเทเนียมไดออกไซด์ที่เจือด้วยโลหะสามารถสังเคราะห์ขึ้นมาได้จากหลักวิธี เช่น ไฮโดรเทอร์มอล (Hydrothermal) โซล-เจล อัลตราโซนิก (Ultrasolgelnic) ชอลโวเทอร์มอล (Solvothermal) ปฏิกิริยาโซลิดเฟส (Solid phase reaction) เฟลมสเปรย์พิโรลิซิส (Flame spray pyrolysis : FSP) โฟโตเดปอชัน (Photo deposition) และอิมเพรคเนชัน (Impregnation) สำหรับอิมเพรคเนชันนั้น เป็นกระบวนการที่ง่ายและให้ผลได้ (Yield) ของโลหะที่เจือถึงร้อยละหนึ่งร้อย ดังนั้นในงานวิจัยนี้ จึงสนใจศึกษาและพัฒนาปฏิกิริยาการเร่งปฏิกิริยาด้วยแสงของไหเทเนียมไดออกไซด์ที่สังเคราะห์โดย วิธีโซล-เจลที่ดัดแปลงแล้วและเจือด้วยรูทีเนียมโดยวิธีอิมเพรคเนชันโดยมีวัตถุประสงค์ของการศึกษา ดังนี้

2.3.1 เพื่อทำการสังเคราะห์อนุภาคนาโนไหเทเนียมไดออกไซด์โดยวิธีโซล-เจลที่ดัดแปลงแล้วและ อนุภาคนาโนไหเทเนียมไดออกไซด์ที่เจือด้วยรูทีเนียมโดยวิธีอิมเพรคเนชัน

2.3.2 เพื่อศึกษาและตรวจสอบลักษณะเฉพาะทางกายภาพของอนุภาคนาโนไหเทเนียมได- ออกไซด์และอนุภาคนาโนไหเทเนียมไดออกไซด์ที่เจือด้วยรูทีเนียม

2.3.3 เพื่อศึกษาผลรูทีเนียมที่ใช้ในการเจืออนุภาคนาโนไหเทเนียมไดออกไซด์ที่มีต่อกิจกรรมการ เร่งปฏิกิริยาด้วยแสง

2.3.4 เพื่อศึกษาปริมาณการเจือรูทีเนียมในอนุภาคนาโนไหเทเนียมไดออกไซด์ที่เหมาะสมต่อ กิจกรรมการเร่งปฏิกิริยาด้วยแสง

กระบวนการการออกซิเดชันเป็นกระบวนการที่นิยมใช้ในการบำบัดสารอินทรีย์ธรรมชาติที่ ละลายน้ำได้ที่พบทั่วไปจะเป็นกระบวนการเติมโอโซนซึ่งถือเป็นกระบวนการออกซิเดชันขั้นสูง (Advance Oxidation Process) เพราะสามารถบำบัดสารอินทรีย์ธรรมชาติได้มากกว่าประมาณ ร้อยละ 60 (Siddiquinceet al., 1997) โอโซนที่ใช้บำบัดนั้นได้มาจากการใช้สนามไฟฟ้าไฟฟ้าแรงสูง หรือจากรังสีอัลตราไวโอเลตผ่านไปยังออกซิเจนโมเลกุล ( $O_2$ ) จนแตกตัวเป็นออกซิเจนอะตอม ( $O$ ) จากนั้นออกซิเจนอะตอมที่ได้ก็จะไปรวมตัวกับออกซิเจนโมเลกุลตัวอื่นในบริเวณใกล้เคียงเกิดเป็น โอโซน ( $O_3$ ) ออกซิไดส์โมเลกุลของสารอินทรีย์ธรรมชาติที่ละลายอยู่ในน้ำซึ่งประสิทธิภาพในการ บำบัดด้วยกระบวนการนี้มักจะต้องคำนึงถึงปัจจัยหลากหลายปัจจัย ได้แก่ ความเข้มข้นและคุณสมบัติ จำเพาะของสารอินทรีย์ธรรมชาติคุณสมบัติทางเคมีของสารอินทรีย์ในน้ำ เช่น สาร碧器เมทและ ประสิทธิภาพในการถ่ายโอโซน อย่างไรก็ตามกระบวนการการออกซิเดชันโดยการเติมโอโซนนั้นก็ สามารถทำให้เกิดสารตกค้างจากการข้าวเชื้อโรคซึ่งเป็นสารก่อมะเร็งได้เช่นกัน

## 2.4 Fenton Reaction

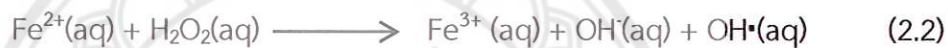
ปฏิกิริยา芬顿 เป็นปฏิกิริยาที่ถูกค้นพบครั้งแรกในปี ค.ศ.1894 จนถึงปี 1930 ได้มีการศึกษา กลไกของปฏิกิริยานี้ได้อย่างสมบูรณ์ และนำมาประยุกต์ใช้ในอุตสาหกรรมบำบัดน้ำเสียจากโรงงาน อุตสาหกรรม ซึ่งในน้ำเสียที่ได้จากการขั้นตอนการกระบวนการมีสารพิษประเภทสารประกอบอินทรีย์ปะปน อยู่ และสารเคมีต่างๆที่ได้มาจากการข้าวเชื้อโรค วัสดุสีข้อม ยาง และพลาสติก รวมทั้งกระบวนการนี้

สามารถนำมาประยุกต์ใช้กับน้ำเสีย และตะกอน ได้ดังนี้ ทำลายสารอินทรีย์ที่เป็นมลพิษ (Organic pollutant destruction) ลดค่า BOD และ TOC (BOD and TOC removal) ลดกลิ่นและสี (Odor and Color removal) [8]

#### 2.4.1 กลไกของปฏิกิริยาเฟนตัน

การใช้ปฏิกิริยาเฟนตัน ซึ่งค้นพบโดย H.J.H Fenton พบว่าศักยภาพของปฏิกิริยาอันนี้มีมากในระดับที่สามารถถอดออกซิเดชันสารอินทรีย์ในน้ำเสียให้กลایเป็นก้าชคาร์บอนไดออกไซด์ และน้ำดีได้อย่างสมบูรณ์

ปฏิกิริยาเฟนตัน คือ ปฏิกิริยาถอดออกซิเดชันที่เกิดขึ้นอย่างรวดเร็วของสารประกอบอินทรีย์ ในสารละลายนไฮโดรเจนเปอร์ออกไซด์ ( $H_2O_2$ ) กับไอออนของเฟอรัสซึ่งจะก่อให้เกิดอนุมูลไฮดรอกซิล (Hydroxyl radicals) ดังสมการ 2.2



เมื่อปฏิกิริยา (2.2) เกิดขึ้นในน้ำเสีย ซึ่งมีสารประกอบอินทรีย์หลายประเภท พลังงานของการถ่ายโอนอิเล็กตรอนเริ่มแรกที่อนุมูลไฮดรอกซิล สามารถที่จะเหนี่ยวนำให้มีการย่อยสลายของสารประกอบอินทรีย์ได้

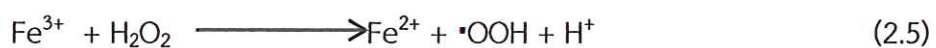
ปฏิกิริยาต่อมาคือ อนุมูลไฮดรอกซิลจะทำปฏิกิริยา กับไอออนของเฟอรัส ( $Fe^{2+}$ ) แล้วให้ไอออนของเฟอริก ( $Fe^{3+}$ ) ดังสมการ 2.3



หรือในเวลาเดียวกันอนุมูลไฮดรอกซิลจะทำปฏิกิริยาถอดออกซิเดชันกับสารประกอบอินทรีย์ในสารละลายน้ำดี ดังสมการ 2.4



ต่อมาปฏิกิริยาจะมีการทำซ้ำโดยไอออนเฟอริก ( $Fe^{3+}$ ) จะช่วยเร่งให้มีการแตกตัวของไฮโดรเจนเปอร์ออกไซด์ ไปเป็นก้าชถอดออกซิเจนและอนุมูลเปอร์ไฮดรอกซิล (Perhydroxyl radicals) โดยที่ความเข้มข้นของไอออนของเฟอรัส ( $Fe^{2+}$ ) จะไม่มีการเปลี่ยนแปลงใดๆ ในขณะที่ความเข้มข้นของไฮโดรเจนเปอร์ออกไซด์จะลดลงเรื่อยๆ ดังสมการ 2.5 และสมการ 2.6





อนุมูลเปอร์ไฮดรอกซิลเป็นตัวออกซิไดซ์ที่อ่อน แต่มีความสำคัญมากในกระบวนการเกิดไออกอนของเฟอรัส ( $\text{Fe}^{2+}$ ) โดยเมื่อทำปฏิกิริยากับไฮโดรเจนเปอร์ออกไซด์ จะทำให้อนุมูลไฮดรอกซิลเพิ่มมากขึ้น ซึ่งอนุมูลไฮดรอกซิลจะสามารถทำปฏิกิริยากับสารประกอบอินทรีย์เกือบทั้งหมดและให้ผลิตภัณฑ์เป็นคาร์บอนไดออกไซด์และน้ำในขั้นตอนสุดท้าย ปัญหาโดยตรงของปฏิกิริยานี้คือการควบคุมสารเคมี (Reagents) และพีเอช (pH) ซึ่งหากมีการควบคุมองค์ประกอบเหล่านี้ไม่ดีพอ ก็จะทำให้ผลิตภัณฑ์ของปฏิกิริยาเป็นเพียงน้ำและออกซิเจนเท่านั้น

ผลิตภัณฑ์จากการออกซิเดชัน (Oxidized product) ที่ต้องการอย่างยิ่งในการบำบัดน้ำเสียก็คือ คาร์บอนไดออกไซด์ เพราะหมายถึงสารประกอบอินทรีย์ได้ถูกเปลี่ยนรูปจนหมดสภาพการเป็นสารพิษ และในเบื้องของการตรวจสอบสมบัติของน้ำเสียก่อนปล่อยลงสู่แหล่งน้ำ ด้วยการตรวจสอบค่า COD หรือค่า TOC ถ้าผลิตภัณฑ์ส่วนใหญ่จากการเกิดปฏิกิริยาคือ คาร์บอนไดออกไซด์แล้วค่า COD หรือค่า TOC ที่ตรวจสอบหลังปฏิกิริยาจะมีจำนวนน้อยลงสามารถปล่อยลงสู่แหล่งน้ำได้

#### 2.4.2 ความสามารถในการเข้าทำปฏิกิริยาของอนุมูลไฮดรอกซิล (Hydroxyl radical Reactivity)

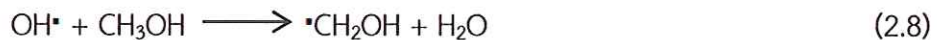
อนุมูลไฮดรอกซิล (Hydroxyl radicals) เป็นอนุมูลที่รู้จักกันดีเนื่องจากเป็นตัวออกซิไดซ์ที่แรงรองจากฟลูออริน โดยปฏิกิริยาทางเคมีของอนุมูลไฮดรอกซิลแบ่งออกเป็น 4 ชนิด ดังนี้

##### 2.4.2.1 การรวมตัว (Addition)



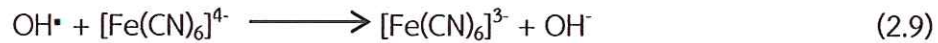
โดยอนุมูลไฮดรอกซิลจะทำปฏิกิริยากับสารประกอบไม่อิ่มตัว อะลิฟติกหรืออะโรมาติกแล้วให้อนุมูลของผลิตภัณฑ์ (เช่น Cyclohexadienyl ดังตัวอย่างในสมการข้างต้น)

##### 2.4.2.2 การสลัดไฮโดรเจน (Hydrogen abstraction)



อนุมูลไฮดรอกซิลจะทำปฏิกิริยากับสารอินทรีย์ เกิดผลิตภัณฑ์เป็นน้ำและอนุมูลอิสระของสารอินทรีย์ (Organic free radical)

##### 2.4.2.3 การถ่ายโอนอิเล็กตรอน (Electron transfer)



อิเล็กตรอนจะถูกถ่ายโอนให้กับอนุมูลไออกซิรอกซิลเกิดผลิตภัณฑ์เป็นไอออนของไฮดรอกไซด์

#### 2.4.2.4 การทำปฏิกิริยาซึ่งกันของอนุมูล (Radical interaction)



โดยอนุมูลไออกซิรอกซิลจะทำปฏิกิริยากับอนุมูลไออกซิรอกซิลอีกตัวหนึ่งเกิดผลิตภัณฑ์เป็นไฮโดรเจนเปอร์ออกไซด์

ปฏิกิริยาเฟนตันสำหรับการทำบัดน้ำเสียจากโรงงานอุตสาหกรรมจะมีสภาวะของปฏิกิริยาที่ถูกปรับเปลี่ยนอยู่ 2 กระบวนการคือ การสัดไออกซิเจน (Hydrogen abstraction) และการรวมตัว (Addition) ซึ่งมีผลมากกว่าปฏิกิริยาอื่นๆ

#### 2.4.3 อิทธิพลของความเข้มข้นของไอออนเหล็ก (Effect of Iron ion Concentration)

อนุมูลไออกซิรอกซิลเกิดขึ้นได้น้อยมาก ถ้าหากในปฏิกิริยานี้ไม่มีไอออนของเหล็ก เช่น การเติมไฮโดรเจนเปอร์ออกไซด์ลงไปในน้ำเสียที่มีฟินอลอยด์อยู่ที่ไม่มีการเติมไอออนของเหล็กลงไป แต่ถ้าหากมีการเติมไอออนของเหล็กลงไปก็จะเร่งให้เกิดอนุมูลไออกซิรอกซิลมากขึ้น จนถึงที่ความเข้มข้นของเหล็กค่าหนึ่งปฏิกิริยาจะไม่เพิ่มขึ้น

#### 2.4.4 ปัจจัยที่มีผลต่อการทำให้เกิดปฏิกิริยาเฟนตัน

2.4.4.1 ความเข้มข้นของไอออนเหล็กที่จุดเริ่มต้น 3-15 มิลลิกรัมต่อลิตร เป็นความเข้มข้นต่ำที่สุดที่จะระตุนให้ปฏิกิริยาไปข้างหน้าภายในระยะเวลาที่เหมาะสมโดยไม่คำนึงถึงความเข้มข้นของสารประกอบอินทรีย์

2.4.4.2 สัดส่วนคงที่ของไอออนเหล็กต่อสารที่เข้าทำปฏิกิริยา (Substrate) เมื่อยู่สูงกว่าความเข้มข้นต่ำสุดที่จะระตุนการเกิดปฏิกิริยาคือ 1 ส่วนของไอออนเหล็กต่อ 10-50 ส่วนของสารที่เข้าทำปฏิกิริยาซึ่งจะให้ผลิตภัณฑ์ตามที่ต้องการ

2.4.4.3 สารประกอบของเหล็กที่อิ่มตัวเป็นสมบัติของคีเลตซึ่งอยู่ในน้ำเสีย ดังนั้นจึงไม่ควรจะแยกไอออนเหล็กออกไป เพื่อใช้ไอออนเหล็กเป็นตัวเร่งปฏิกิริยาในการสร้างอนุมูลไออกซิลทั้งนี้ สัดส่วนโดยน้ำหนักของไอออนเหล็กต่อไฮโดรเจนเปอร์ออกไซด์ควรอยู่ในช่วง 1 ต่อ 5-25 (wt/wt)

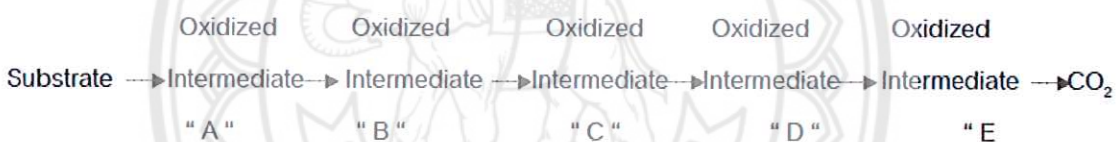
##### ก. อิทธิพลของชนิดของเหล็กเฟอร์สหรือเฟอริก (Effect of Iron Type)

ในการนำมาประยุกต์ใช้เราไม่สามารถรู้ได้ว่าตัวเร่งปฏิกิริยาที่แท้จริงเป็นไอออนของเฟอร์ส ( $\text{Fe}^{2+}$ ) หรือไอออนของเฟอริก ( $\text{Fe}^{3+}$ ) เนื่องจากตัวเร่งปฏิกิริยาจะถูกนำกลับมาใช้ใหม่ทันทีถ้ามีไฮดروเจนเปอร์ออกไซด์และสารอินทรีย์อยู่มากพอ

### ข. อิทธิพลของความเข้มข้นของไฮโดรเจนเปอร์ออกไซด์ (Effect of H<sub>2</sub>O<sub>2</sub> Concentration)

การใช้ออนมูลไฮดรอกซิลในการออกซิเดช์สารประกอบอินทรีย์เพื่อให้ได้ก้าช คาร์บอนไดออกไซด์มีความสำคัญมาก ซึ่งสามารถนำมาเขียนปฏิกิริยาอย่างคร่าวๆ สำหรับการบำบัดน้ำเสียในแต่ละชนิด ได้ดังต่อไปนี้

การเปลี่ยนแปลงในแต่ละลำดับที่ต่อเนื่องกันจะมีอัตราการเกิดปฏิกิริยาของมันเองโดยขึ้นอยู่กับชนิดของสารอินทรีย์นั้นๆ ตัวอย่างเช่น ในกรณีของสารประกอบฟีนอลจะมีสารที่ไม่เสถียร (Intermediate) นั่นก็คือ ควโนน (Quinones) ซึ่งเป็นสารที่ขัดขวางการเกิดปฏิกิริยา ดังนั้นจึงต้องเพิ่มปริมาณของไฮโดรเจนเปอร์ออกไซด์ด้วยปริมาณที่พอเหมาะสมจึงจะทำปฏิกิริยาดำเนินไปข้างหน้าได้มากขึ้นเพื่อให้เลี้ยงจุดที่เกิดเป็นสารที่ไม่เสถียร ซึ่งเราจะพบรดูในการบำบัดเบื้องต้นของสารประกอบอินทรีย์ที่มีความซับซ้อนเพื่อช่วยลดความเป็นพิษ ถ้ามีการเพิ่มปริมาณไฮโดรเจนเปอร์ออกไซด์จะทำให้ค่า COD ลดลง ความเป็นพิษอาจจะลดลงได้น้อยหรือไม่มีการเปลี่ยนแปลงจนกระทั่งถึงจุดที่ความเข้มข้นของไฮโดรเจนเปอร์ออกไซด์ค่าหนึ่ง ซึ่งถ้าเติมไฮโดรเจนเปอร์ออกไซด์ลงไปอีกจะทำให้ความเป็นพิษลดลงอย่างรวดเร็ว



2.4.4.4 อิทธิพลของอุณหภูมิ (Effect of Temperature) อัตราของการเกิดปฏิกิริยาของปฏิกิริยาเ Fen ต้นเพิ่มขึ้นเมื่ออุณหภูมิเพิ่มขึ้นซึ่งจะเห็นได้ชัดเจนเมื่ออุณหภูมน้อยกว่า 20 องศาเซลเซียส แต่อย่างไรก็ตามอุณหภูมิที่เพิ่มสูงขึ้นมากกว่า 40-50 องศาเซลเซียส ประสิทธิภาพของไฮโดรเจนเปอร์ออกไซด์จะค่อยๆ ลดลง เนื่องจากจะมีการเร่งการสลายตัวของไฮโดรเจนเปอร์ออกไซด์ไปเป็นออกซิเจนและน้ำ ในการประยุกต์ใช้ปฏิกิริยา Fen ต้นจึงมักจะใช้ที่อุณหภูมิ 20-40 องศาเซลเซียส

### 2.4.5 หน้าที่ของไฮโดรเจนเปอร์ออกไซด์ในการลดค่า BOD และ COD

ไฮโดรเจนเปอร์ออกไซด์ถูกใช้ในการลดค่า BOD และ COD ในอุตสาหกรรมน้ำเสียมาหลายปีแล้ว เนื่องจากมีสมบัติดังนี้

ช่วยย่อยสลายสารประกอบที่เป็นพิษในน้ำเสียเบื้องต้นก่อนที่จะไปสู่กระบวนการย่อยสลายทางชีวภาพ เช่น ยาฆ่าแมลง สารย้อมสี เรซิน สารทำความเย็น

ช่วยบำบัดน้ำเสียที่มีอัตราความเข้มข้นของน้ำเสียมากหรือน้อยในเบื้องต้น ซึ่งการบำบัดทางชีวภาพไม่สามารถทำได้ ก่อนที่จะมีการปล่อยออกไประบุเพิ่มประสิทธิภาพในการแยกสารอินทรีย์ ซึ่งใช้กระบวนการลอยหรือการตกตะกอน

ช่วยทำให้การละลายของออกซิเจนเพิ่มขึ้น เมื่อมีการใช้ระบบบำบัดทางชีวภาพในขณะที่อุปกรณ์ให้ออกซิเจนไม่เพียงพอ หรือเกิดภาวะที่ปริมาณของน้ำเสียที่เข้ามาในระบบมากเกินความสามารถของระบบจะรับได้

ปฏิกิริยาของไฮโดรเจนเปอร์ออกไซด์ในการลดค่า BOD และ COD แบ่งเป็น 3 ชนิดดังนี้

#### 2.4.5.1 การเกิดปฏิกิริยาออกซิเดชันโดยตรง ( Direct Chemical Oxidation )

ไฮโดรเจนเปอร์ออกไซด์สามารถที่จะใช้เพียงลำพัง หรือใช้ร่วมกับคละตัลสิต์ซึ่งคละตัลสิต์ที่ใช้ได้แก่ ไอออนของเหล็ก ( $Fe^{2+}$  หรือ  $Fe^{3+}$ ) แสงอุตตราไวโอเลต (UV) โอโซน ( $O_3$ ) และพากแอลคาไล ซึ่งสารเหล่านี้จะช่วยออกซิเดช์สารประกอบในน้ำเสียทำให้ค่า BOD หรือ COD ในน้ำเสียลดลง

#### 2.4.5.2 การเพิ่มประสิทธิภาพการแยกทางกายภาพ ( Enhanced Physical Separation)

การใช้ไฮโดรเจนเปอร์ออกไซด์ในการลดค่า BOD/COD สามารถเกิดขึ้นได้ 2 กรณีคือ กรณีแรกการใช้ไฮโดรเจนเปอร์ออกไซด์จะทำให้เกิดปฏิกิริยาออกซิเดชัน เป็นผลให้สารมีความเป็นขั้วเพิ่มขึ้น ทำให้เกิดการรวมตัวกันเป็นก้อนแล้วแตกตกลง และพบว่าเมื่อทำการทดลองโดยการเติมแคลเซียมออกไซด์ลงไปจะทำให้สารอินทรีย์เกิดการรวมตัวกันและเกิดการแตกตกลามากขึ้นกว่าเดิม ส่วนกรณีที่สอง เมื่อไฮโดรเจนเปอร์ออกไซด์ละลายน้ำ จะเกิดการแตกตัวไปเป็นก๊าซออกซิเจนและน้ำ เป็นผลให้พากไขมัน น้ำมัน และสารบีเป็นสารไม่มีขั้วจึงไม่ละลายซึ่งกันและกัน นอกจากนี้ความหนาแน่นของน้ำมันเบากว่าความหนาแน่นของน้ำ เพราะฉะนั้นน้ำมันจึงลอยตัวอยู่บนผิวน้ำ จึงทำให้สามารถกำจัดน้ำมันเหล่านี้ได้ง่ายขึ้น

#### 2.4.5.3 การเพิ่มแหล่งผลิตออกซิเจน ( Supplemental Oxygen Source)

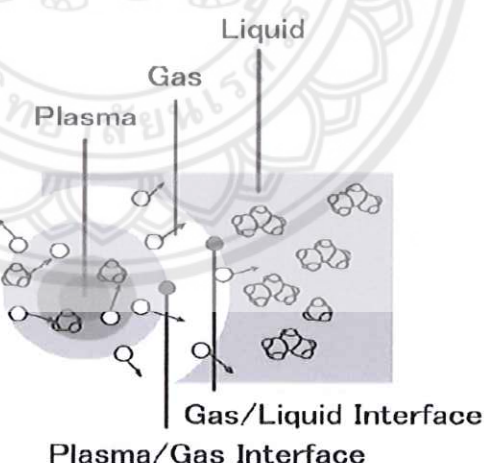
การลดค่า BOD โดยใช้กระบวนการบำบัดทางชีวภาพในสภาวะที่ต้องใช้อากาศ (Aerobic biological treatment) จะมีประสิทธิภาพเพียงในน้ำขั้นอยู่กับปัจจัยต่างๆ ซึ่งได้แก่การให้ผลเข้าของน้ำเสีย อัตรา F:M อุณหภูมิ ปริมาณสารอาหาร และความเข้มข้นของค่า DO การบำบัดทางชีวภาพจะง่ายขึ้นถ้ามีการใช้ไฮโดรเจนเปอร์ออกไซด์ เพื่อช่วยเพิ่มการละลายของออกซิเจนในน้ำ ซึ่งทำให้ค่า BOD ในน้ำลดลง แต่เราไม่สามารถทำให้ปฏิกิริยาเกิดขึ้นร้อยละ 100 เนื่องจากการให้ผลเข้าของน้ำ การเปลี่ยนแปลงตามฤดูกาล และอุณหภูมิกล่าวคือ ถ้าอากาศร้อนการละลายของออกซิเจนในอากาศจะลดลง

## 2.5 พลาสมาวัฏภาคของเหลว (Liquid Phase Plasma)

### 2.5.1 หลักการของพลาสมาวัฏภาคของเหลว

พลาสมาวัฏภาคของเหลว คือ กระบวนการผลิตพลาสมาที่ล้อมรอบไปด้วยวัฏภาคของเหลว โดยใช้ความต่างศักย์ของไฟฟ้ามาระดับต้นให้เกิดหมู่ว่องไว (Free radical) ซึ่งหมู่ว่องไวที่เกิดขึ้นจะเข้าทำปฏิกิริยาได้อย่างรวดเร็ว [9, 10, 11] ข้อดีของพลาสมาวัฏภาคของเหลว คือ สามารถใช้งานได้อย่างหลากหลาย เนื่องจากสามารถเลือกชนิดของตัวทำละลายและสารละลายที่ใช้ในการผลิตพลาสมาได้ ในปัจจุบันกระบวนการพลาสมาที่ได้รับความนิยมในการนำมาประยุกต์ใช้งานด้านต่างๆ อาทิเช่น การสังเคราะห์อนุภาคนano การดัดแปลงพื้นผิวของโลหะและการบำบัดน้ำเสีย เป็นต้น [4]

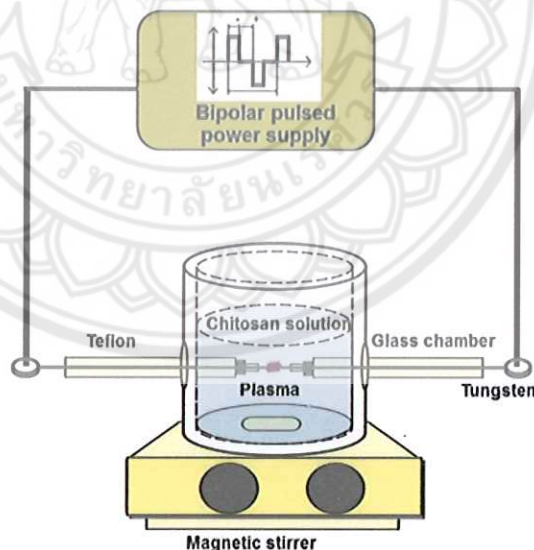
รูปแบบการเกิดพลาสมาวัฏภาคของเหลวจะแสดงไปในรูปที่ 2.1 โดยพลาสมาก็เกิดขึ้นที่ตำแหน่งตรงกลางระหว่างอิเล็กโทรดซึ่งถูกล้อมรอบด้วยก๊าชและของเหลว ส่งผลให้เกิดผิวสัมผัสระหว่างสถานะ 2 บริเวณกระดับดันไฟฟ้าสูง เมื่อถึงจุดที่สารเกิดการแตกตัวเป็นอนุภาครหรือสถานะพลาสมาที่สามารถนำไฟฟ้าได้จะทำให้เกิดฟองก๊าชขึ้นบริเวณรอบๆ พลาสมา ในขณะที่พลาสมากุกระดับดันไฟฟ้าอย่างต่อเนื่องจะทำให้หมู่ว่องไวระหว่างข้ออิเล็กโทรดเพิ่มมากขึ้น เกิดการเคลื่อนตัวไปอยู่บริเวณของเหลวที่มีหมู่ว่องไวน้อยกว่าโดยอาศัยหลักการการถ่ายโอนมวลดังนั้นสารที่อยู่ในวัฏภาคของเหลวจะแพร่เข้ามาแทนที่และถูกกระตุ้นให้แตกตัวกลาไปเป็นหมู่ว่องไว ต่อไป จากหลักการดังกล่าวส่งผลให้หมู่ว่องไวภายในสารละลายเพิ่มขึ้นจึงเกิดปฏิกิริยาเร็วเกิดขึ้นด้วย [4, 12, 13]



รูปที่ 2.1 แบบจำลองของพลาสมาวัฏภาคของเหลว [4]  
ที่มา : O. Takai, Solution plasma processing ( SPP )\*,  
Pure Appl.Chem, 2008;80:2003-2011

### 2.5.2 เครื่องกำเนิดพลาสมาวัสดุภาคของเหลว

พลาสมาวัสดุภาคของเหลวสามารถผลิตได้จากเครื่องกำเนิดพลาสมาดังแสดงในรูปที่ 2 โดยเครื่องกำเนิดพลาสมาจะประกอบด้วยองค์ประกอบสำคัญ 2 ส่วน คือ ส่วนแรกเป็นเพาเวอร์ซัพพลาย แรงดันและความถี่สูงระบบกระแสตรง ซึ่งเพาเวอร์ซัพพลายจะทำหน้าที่จ่ายกระแสไฟฟ้าแบบพัลส์ ให้กับระบบ โดยมีทิศทางการไหลของกระแสไฟฟ้าแบบสลับขั้วบวกและลบ (Bipolar pulsed) เนื่องจากแหล่งจ่ายไฟฟ้าโดยทั่วไปเป็นกระแสไฟฟ้าชนิดกระแสสลับ ดังนั้นจะต้องใช้อุปกรณ์ที่ติดตั้งไว้ในเพาเวอร์ซัพพลายที่มีหน้าที่ในการแปลงระบบไฟฟ้าจากการกระแสสลับให้เป็นกระแสตรง ก่อนที่จะจ่ายกระแสไฟฟ้าไปยังถังปฏิกิริยาพลาสมาเพื่อผลิตพลาสมาต่อไป สำหรับองค์ประกอบส่วนที่ 2 คือ ถังปฏิกิริยาพลาสมา โดยทั่วไปแล้วนิยมทำการแก้วรูปทรงกระบอกที่มีเส้นผ่าศูนย์กลางประมาณ 5-10 เซนติเมตร ซึ่งดำเนินการด้านข้างทั้ง 2 ด้านของถังปฏิกิริยาจะติดตั้งอิเล็กโทรดที่ทำจากวัสดุหงส์雷電 เหล็กและทองแดง เส้นผ่าศูนย์กลาง 1 มิลลิเมตร และระยะห่างระหว่างขั้วอิเล็กโทรดประมาณ 0.2 มิลลิเมตร อิเล็กโทรดทั้งสองจะถูกหุ้มด้วยเซรามิก เพื่อป้องกันความร้อนและการลัดวงจรของกระแสไฟฟ้าที่อาจเกิดขึ้นระหว่างกระบวนการผลิตพลาสมา ในการผลิตพลาสมาวัสดุภาคของเหลวจะเริ่มต้นจากเพาเวอร์ซัพพลายเข้ากับอิเล็กโทรดทั้ง 2 ด้าน โดยใช้แรงดันและกระแสไฟฟ้าที่สูง โดยค่าแรงดันและความถี่ที่ใช้ในการผลิตพลาสมาจะขึ้นอยู่กับการนำไฟฟ้า (Conductivity) ของสารละลายภายในเครื่องกำเนิดพลาสมา



รูปที่ 2.2 หลักการของเครื่องกำเนิดพลาสมาวัสดุภาคของเหลว [4]

ที่มา : O. Takai, Solution plasma processing ( SPP )\*,

Pure Appl.Chem, 2008;80:2003-2011

พลาasmaสามารถสร้างหมู่ว่องไวในการเข้าทำปฏิกิริยา กับสารละลายน้ำในเครื่องปฏิกรณ์ โดยหมู่ว่องไวที่เกิดขึ้นเป็นสารตัวนำไฟฟ้า เมื่อไม่เลกูล่าได้รับพลังงานจากการกระแสไฟฟ้าจะแตกตัวเป็น ไอออนที่สามารถนำไฟฟ้าได้ ไอออนเหล่านี้เรียกว่า หมู่ว่องไว หมู่ว่องไวที่มักเกิดขึ้นระหว่างการ บำบัดสารละลายน้ำด้วยพลาasma เช่น Hydroxyl radical ( $\text{OH}^-$ ), Hydroperoxyl radical ( $\text{H}_2\text{O}_2\cdot$ ), Free electron ( $e^-$ ), Superoxide anion ( $\text{O}_2^-$ ) เป็นต้น นอกจากนี้นิติของข้ออิเล็กโทรดยังมีผลต่อ ความสามารถในการสร้างหมู่ว่องไว สิ่งแวดล้อมพลาasmaที่เกิดขึ้นระหว่างข้ออิเล็กโทรดซึ่งอยู่ภายใน สารละลายน้ำแสดงถึงนิติของหมู่ว่องไวซึ่งสามารถตรวจวิเคราะห์ได้ด้วย Optical Emission Spectrometer (OES) [4]

### 2.5.3 การประยุกต์ใช้พลาasmaวัสดุภาคของเหลว

ในปัจจุบันพลาasmaวัสดุภาคของเหลวได้รับความนิยมนำมาใช้กันอย่างแพร่หลาย อาทิ การ สังเคราะห์อนุภาคนano การปรับปรุงพื้นผิวของวัสดุและการบำบัดน้ำเสีย เนื่องจากเป็นกระบวนการที่ สามารถดำเนินการได้ในสภาพความดันบรรยายกาศและอุณหภูมิห้อง ซึ่งทำให้ต้นทุนที่ใช้ใน กระบวนการพลาasmaวัสดุภาคของเหลวต่ำกว่าเมื่อเปรียบเทียบกับพลาasmaวัสดุภาคของแก๊ส [4]

#### 2.5.3.1 การสังเคราะห์อนุภาคนanoด้วยกระบวนการพลาasmaวัสดุภาค ของเหลว

ในการสังเคราะห์อนุภาคนanoด้วยพลาasmaจะสังเคราะห์ภายใต้สาร สารละลายน้ำ  $\text{HAuCl}_4$  ซึ่งเป็นสารละลายน้ำที่มีตัวทำละลายเป็นน้ำ (Aqueous Solution) และไม่ใช้น้ำ (Nonaqueous Solution) ในระบบเปิด ในกระบวนการสังเคราะห์ จะติดตั้งระบบพลาasmaแรงดัน 2.5 kV ความถี่ 60 kHz และ Pulse width 2 μs จากการศึกษาพบว่า อนุภาคนanoที่ได้จากการ สังเคราะห์ด้วยพลาasmaวัสดุภาคของเหลวโดยใช้สารละลายน้ำ  $\text{HAuCl}_4$  ความเข้มข้น 0.60 มิลลิโนลาร์ มี เส้นผ่าศูนย์กลางเฉลี่ยสูงสุด  $10.5 \pm 3.6$  นาโนเมตร จากการศึกษาด้วยเทคนิค Energy dispersive x-ray analyzer (EDX) และ Infrared Spectroscopy (IR) พบว่าอนุภาคนanoมีองค์ประกอบของ ทองและมีค่าการดูดกลืนคลื่นแสงสูงสุดที่ความยาวคลื่น 540 นาโนเมตร โดยความเข้มของพีคจะ สูงขึ้นตามระยะเวลาในการดิสชาร์จ (Discharge time) นอกจากนั้นพลาasmaวัสดุภาคของเหลวยัง สามารถสังเคราะห์อนุภาคนanoที่เป็นทองให้มีรูปร่างแบบเรขาคณิตที่แตกต่างกันได้ อาทิ สามเหลี่ยม ห้าเหลี่ยมและหกเหลี่ยม โดยใช้สารละลายน้ำที่มีตัวทำละลายเป็นน้ำ ดังนั้นการสังเคราะห์อนุภาคนano ด้วยวิธีพลาasmaวัสดุภาคของเหลวจึงง่ายต่อการควบคุมรูปร่างของอนุภาคนanoในรูปแบบต่างๆได้ [12]

#### 2.5.3.2 การปรับปรุงพื้นผิวของโลหะด้วยกระบวนการพลาasmaวัสดุภาคของเหลว

ในการปรับปรุงพื้นผิวของโลหะด้วยพลาasmaจะใช้อะลูมิเนียมเป็นข้าวแอลูมิเนียมและข้าว แคโคทิดเป็นสแตนเลสสตีล สารละลายน้ำที่ใช้มีค่าความเป็นด่างอยู่ระหว่าง 8 และ 12 จากการศึกษาผล ของค่ากระแสไฟฟ้าและความต่างศักย์ที่มีต่อการปรับปรุงพื้นผิวโลหะ พบว่าช่วงที่ให้ค่าความต่างศักย์ ต่ำ 0 ถึง 150 V ไม่พบรการเปลี่ยนแปลงบนพื้นผิวของข้าวแอลูมิเนียมและแคโคทิด จากการเพิ่มค่าความต่าง

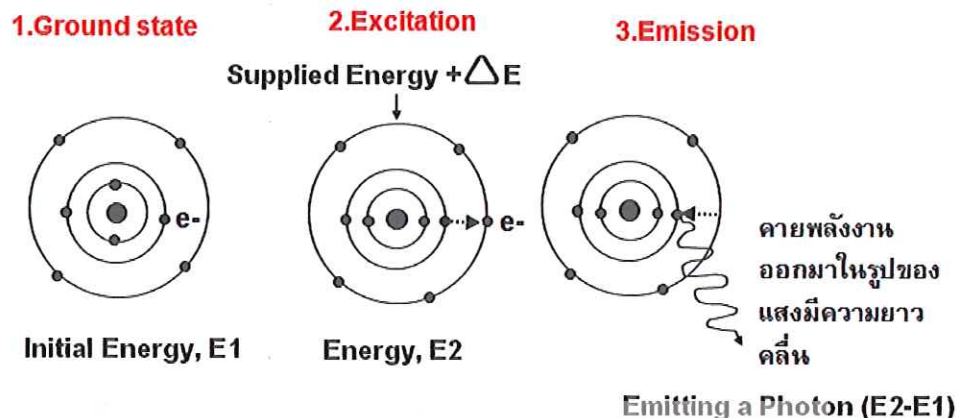
ศักย์มากขึ้น จะสังเกตเห็นฟองอากาศเกิดขึ้นบนพื้นผิว เมื่อให้ค่าความต่างศักย์มากกว่า 175 V พบว่าพื้นผิวของข้าวแอลูมิเนียมมีการเปลี่ยนแปลง นอกจากนั้นยังพบว่าค่าความต่างศักย์ที่ใช้ในกระบวนการผลิตจะขึ้นอยู่กับความเข้มข้นและชนิดของสารละลายอิเล็กโทรไลต์ จากผลการศึกษาสัณฐานพื้นผิวด้วยเทคนิค SEM ของพื้นผิวโลหะ พบว่าพื้นผิวขั้นนอกของอะลูมิเนียมมีรูปรุนสูง ส่งผลให้มีความแข็งแรงต่ำ ในขณะที่พื้นผิวขั้นในของอะลูมิเนียมจะมีความหนาแน่นของเนื้อโลหะสูงกว่าขั้นนอกและมีความแข็งแรงมากกว่า ทั้งนี้เนื่องจากพื้นผิวขั้นนอกของอะลูมิเนียมสัมผัสกับพลาสม่าได้มากกว่าพื้นผิวขั้นใน ทำให้พื้นผิวมีการเปลี่ยนแปลงมากกว่าการบำบัดน้ำเสียด้วยกระบวนการผลิตวัสดุของเหลว

การบำบัดน้ำเสียด้วยพลาสม่าจะใช้ค่าความต่างศักย์ 800 V เวลาที่ใช้ในการเปิด-ปิดพัล 40 วินาที และสารละลายอิเล็กโทรไลต์ที่เหมาะสมในการบำบัดน้ำเสียด้วยพลาสม่า คือสารละลาย  $\text{Na}_2\text{SO}_4$  และ  $\text{CH}_3\text{COONa}$  จากการทดลองกับน้ำที่มีเชื้อแบคทีเรีย *E.Coli* uc 4100 (แบคทีเรียแกรมลบ) และ *Staphylococcus aureus* (แบคทีเรียแกรมบวก) พบว่าการบำบัดน้ำเสียด้วยพลาสม่าที่เวลาสูงสุด 30 วินาที แบคทีเรียที่อยู่ในสารละลายตายทั้งหมด แสดงให้เห็นว่าพลาสม่าสามารถทำลายแบคทีเรียได้ [4]

## 2.6 Optical Emission Spectrometer

Optical Emission Spectrometer หรือ OES เป็นเทคนิคการหาชนิดและปริมาณของธาตุ โดยใช้หลักการของการเกิดรังสี X-ray โดยที่จะเป็นการวิเคราะห์พลังงานของ X-ray ที่ได้จากผิวของชิ้นงาน ซึ่งในการวิเคราะห์แต่ละครั้งสามารถวิเคราะห์ได้หลายธาตุภายในเวลา 1-2 นาที และวิเคราะห์โดยเมื่อข้าวไฟฟ้าได้รับพลังงานไฟฟ้าจะให้กำเนิดอิเล็กตรอนด้วยกำลังประมาณ 800-1,000 V และผลกระทบผิวชิ้นงาน ผ่านบรรยากาศของแก๊สราร์กอน ซึ่งอิเล็กตรอนในอะตอมของชิ้นงานที่มีระดับพลังงานต่ำสุด เรียกว่า Ground state จะถูกกระตุ้นให้มีระดับพลังงานสูงขึ้น Excited state ซึ่งอะตอมที่อยู่ในสภาพนี้จะไม่เสถียร จึงพยายามลดพลังงานลงมาโดยการปลดปล่อยพลังงานส่วนเกินออกมาในรูปของแสง (Light Emission) หรือคลื่นแม่เหล็กไฟฟ้า ที่มีความยาวคลื่นเฉพาะตัว

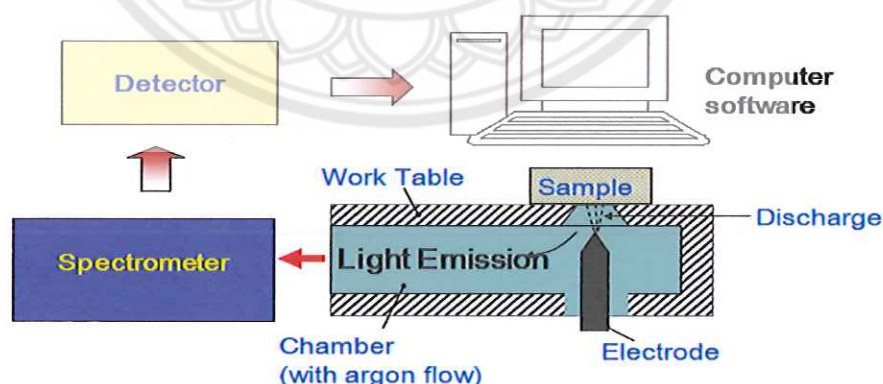
## Emission of atom



รูปที่ 2.3 รูปแสดงการเปลี่ยนแปลงพลังงานของอะตอม

ที่มา : Sukangkana Lee, Chemical composition analysis, OES,  
Industrial Materials Testing, 18-24, 2015

แสงที่เกิดขึ้นจะถูกส่งผ่านไปยังระบบแยกความยาวคลื่นแสงซึ่งเรียกว่า Spectrometer ซึ่งมีลักษณะเป็นเลนส์นูน และบริษัทสามเหลี่ยม เพื่อให้เกิดการหักเหของแสงเป็น Spectrum จากนั้นแสงที่ถูกแยกความยาวคลื่นแล้วจะถูกส่งไปยัง Detector เพื่อเปลี่ยนความเข้มแสงให้เป็นสัญญาณไฟฟ้า และระบบวิเคราะห์สัญญาณไฟฟ้าให้เป็นความเข้มข้นของร่าตุ โดยเปรียบเทียบกับสัญญาณของมาตรฐานที่เราทราบความเข้มข้นที่ได้จากการวิเคราะห์และบันทึกไว้



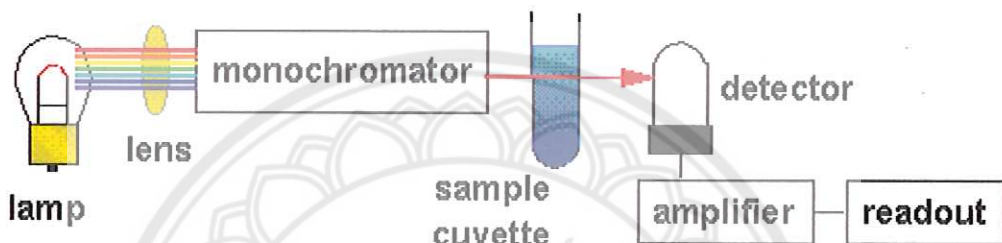
รูปที่ 2.4 แผนผังแสดงการทำงานของ Optical Emission Spectrometer

ที่มา : Sukangkana Lee, Chemical composition analysis, OES,  
Industrial Materials Testing, 18-24, 2015

## 2.7 UV-VIS Spectrophotometer

### 2.7.1 หลักการทำงานของเครื่อง UV-VIS Spectrophotometer

UV-VIS Spectrophotometer เป็นเครื่องมือที่ใช้ในการตรวจวัดปริมาณแสงและค่า Intensity ในช่วงรังสีอุตสาหกรรม เช่น ช่วงแสงขาวที่ทะลุผ่านหรือถูกดูดกลืนโดยตัวอย่างที่วางอยู่ในเครื่องมือ โดยที่ความยาวคลื่นแสงจะมีความสัมพันธ์กับปริมาณและชนิดของสารที่อยู่ในตัวอย่าง ซึ่งส่วนใหญ่จะเป็นสารอินทรีย์ สารประกอบเชิงซ้อนและสารอนินทรีย์ที่สามารถดูดกลืนแสงในช่วงความยาวคลื่นเหล่านี้ได้



รูปที่ 2.5 รูปแสดงหลักการทำงานของเครื่อง UV-VIS Spectrophotometer

ที่มา : <http://glasswarechemical.com/scientific-instrument,2014>

คุณสมบัติในการดูดกลืนแสงของสารเมื่อไม่เลกุลของตัวอย่างถูกฉายด้วยแสงที่มีพลังงานเหมาะสมจะทำให้อิเล็กตรอนภายในอะตอมเกิดการดูดกลืนแสงแล้วเปลี่ยนสถานะไปอยู่ในชั้นที่มีระดับพลังงานสูงกว่า เมื่อทำการวัดปริมาณของแสงที่ผ่านหรือสะท้อนมาจากตัวอย่างเทียบกับแสงจากแหล่งกำเนิดที่ความยาวคลื่นค่าต่างๆตามกฎของ Beer-Lambert ค่าการดูดกลืนแสง (Absorbance) ของสารจะแปรผันกับจำนวนโมเลกุลที่มีการดูดกลืนแสง ดังนั้นจึงสามารถใช้เทคนิคนี้ในระบุชนิดและปริมาณของสารต่างๆ ที่มีอยู่ในตัวอย่างได้

### 2.7.2 ส่วนประกอบของเครื่อง UV-VIS Spectrophotometer

#### 2.7.2.1 แหล่งกำเนิดแสง

แหล่งกำเนิดแสงในเครื่องสเปกโตรโฟโตเมตรีเตอร์จะต้องให้รังสีในช่วงความยาวคลื่นที่ต้องการอย่างต่อเนื่องและคงที่ตลอดเวลารวมทั้งมีความเข้มแสงที่มากพอด้วยหลอดกำเนิดแสงมีหลายชนิดตามความยาวคลื่นแสงที่เปล่งออกมามา ซึ่งต้องเลือกใช้ให้ถูกต้องเหมาะสมกับของเหลวที่นำมาวัดค่าดูดกลืนแสง

ตัวอย่างแหล่งกำเนิดแสง ช่วง UV ใช้หลอด H<sub>2</sub> and D<sub>2</sub> lamp ให้ความยาวคลื่นอยู่ในย่าน 160-380 nm ชนิดของสเปกไตรสโกปี UV molecular absorption และช่วง Visible ใช้หลอด Tungsten/halogen ให้ความยาวคลื่นในช่วง 240-2,500 nm ชนิดของสเปกไตรสโกปีเป็นแบบ UV/visible/near-IR molecular absorption

#### 2.7.2.2 Monochromator

ส่วนประกอบนี้เป็นส่วนที่ใช้ควบคุมแสงโดยจะทำให้แสงที่ออกมานจากต้นกำเนิดแสง ซึ่งเป็นพอลิโครเมติก ให้เป็นแสงโมโนโครเมติก ซึ่งเป็นแบบแสงแคบๆ หรือมีความยาวคลื่นเดียวใช้ฟลัตเตอร์ (กระจกสี) ปริซึม (Prism) หรือ เกรตติง (Grating)

#### 2.7.2.3 เซลล์ที่ใช้บรรจุสารละลายตัวอย่าง

เซลล์ที่ใส่สารตัวอย่าง (Cell sample) บางครั้งอาจเรียกว่า คิวเวทท์ (Cuvette) รูปแบบที่ใช้กันทั่วไปได้แก่เซลล์ที่ทำด้วยแก้วธรรมดา จะใช้ได้เฉพาะช่วงวิสิเบิล เพราะเนื้อแก้วธรรมดาถูกดูดกลืนแสงในช่วงยูวีได้ และเซลล์ที่ทำด้วยซิลิกา และควอตซ์ (Quartz) ใช้ได้ทั้งช่วงยูวีและวิสิเบิล

#### 2.7.2.4 Detector

ทำหน้าที่ในการวัดความเข้มของรังสีที่ถูกดูดกลืนโดยการแปลงพลังงานคลื่นรังสีเป็นพลังงานไฟฟ้าเครื่องตรวจจับสัญญาณที่ดีต้องมีสภาพไวสูง คือแม่ปิริมาณแสงจะเปลี่ยนไปเล็กน้อย ก็สามารถตรวจจับสัญญาณความแตกต่างได้ เครื่องวัดแสงที่ยังนิยมกันอยู่ในปัจจุบัน คือ หลอดโฟโตมัลติพล라이เออร์ (Photomultiplier tube, PMT) และเครื่องวัดแสงชนิดซิลิกอนไดโอด (Silicon diode detector)

### 2.8 การวิเคราะห์ Total Organic Carbon ( TOC )

TOC (Total Organic Carbon) หมายถึง ปริมาณคาร์บอนทั้งหมดที่ประกอบอยู่ในสารอินทรีย์ เราสามารถหาปริมาณคาร์บอนประเภทนี้ในรูปของกําชคาร์บอนไดออกไซด์

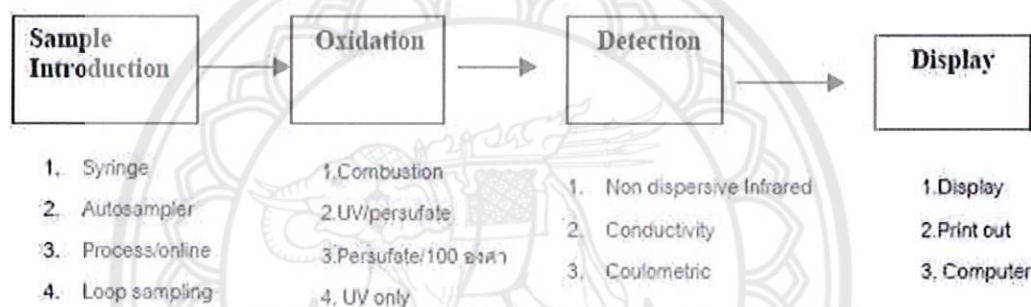
TIC (Total Inorganic Carbon) หมายถึง ปริมาณคาร์บอนทั้งหมดที่ประกอบอยู่ในสารอินทรีย์ เราสามารถหาปริมาณคาร์บอนประเภทนี้ในรูปของกําชคาร์บอนไดออกไซด์ได้ เช่นกัน การบ่อนในธรรมชาติจะมีอยู่ด้วยกัน 2 สถานะ คือ อยู่ในรูปสารประกอบอินทรีย์ และ สารอินทรีย์ โดยทั่วไปคาร์บอนรูปสารประกอบอินทรีย์ จะเป็นคาร์บอนที่พบในผลิตภัณฑ์ธรรมชาติ หรือได้จากการย่อยสลายของสารอินทรีย์ หรือได้จากการสังเคราะห์ของมนุษย์ ส่วนคาร์บอนในรูปของสารอินทรีย์ ที่พบอยู่ในน้ำจะอยู่ในรูปของ CO<sub>3</sub><sup>2-</sup> / HCO<sub>3</sub><sup>-</sup> และเมื่อ CO<sub>2</sub> อยู่ในสภาพกรด CO<sub>2</sub> จะสามารถละลายได้ เครื่องมือ ที่ใช้ในการวิเคราะห์ หาปริมาณคาร์บอนในสารอินทรีย์ในตัวอย่างน้ำหรือที่อยู่ในรูปของแข็งมีองค์ประกอบหลักด้วยกันดังต่อไปนี้

2.8.1. Sampling introduction คือ ส่วนนำสารตัวอย่างเข้าไปในระบบการวิเคราะห์ ได้แก่ Loop sampling, Syringe, Autosampler เป็นต้น

2.8.2 Reaction คือส่วนของการทำปฏิกิริยาเคมี เพื่อให้เกิดแก๊ส  $\text{mCO}_2$  หลังจากนั้นทำการวัด  $\text{CO}_2$  ที่เกิดขึ้น ปฏิกิริยาเคมีที่เกิดขึ้นแบ่งได้ 2 แบบ คือ ปฏิกิริยา Wet Oxidation และปฏิกิริยา Combustion

2.8.3. Detection หรือ Detector คือส่วนที่วัดค่า  $\text{CO}_2$  ที่เกิดขึ้นหลังจากการทำปฏิกิริยาหรืออ่านค่าของความเป็นกรดที่เกิดขึ้นซึ่งมี Detector ให้เลือกหลายแบบ เช่น Detector แบบ NDIR (Non dispersive Infrared) ใช้วัด  $\text{CO}_2$  หรือ Columetric ใช้วัดค่าความเป็นกรด เป็นต้น

2.8.4. Display คือส่วนรายงานผลของข้อมูลการวิเคราะห์ ซึ่งสามารถรายงานอยู่ในรูปของรายงานต่างๆ เช่น เป็นข้อมูลต่างๆ เป็นกราฟได้เป็นต้นหรือบันทึกข้อมูลต่างๆ



รูปที่ 2.6 รูปแบบเครื่องมือของเครื่องวิเคราะห์ TOC

ที่มา : <https://sites.google.com/site/bmsanalyzer/home/analyzer/toc>

## 2.9 การสำรวจเอกสารงานวิจัย

ในปี ค.ศ.2002 AntoTri Sugiarto และคณะ [16] ได้ทำการศึกษาการถ่ายสีย้อมในน้ำด้วยเทคนิค pulsed discharge plasma โดยใช้ข้ออิเล็กโทรด 2 ชนิดคือ แบบเข็มและแบบแผ่น ซึ่งจะใช้ระบบปฏิกิริยา 3 ระบบ ด้วยกัน คือ streamer mode spark mode และ spark-streamer mixed mode โดยทำการทดลองกับสีย้อม 3 ชนิด คือ Rhodamine B Methyl Orange และ Chicago Sky Blue ที่ความเข้มข้น 0.01 g/l และ 0.05 g/l จากการศึกษาพบว่า กระบวนการถ่ายสีย้อมด้วย Spark-streamer mixed mode มีประสิทธิภาพมากที่สุด และอัตราการถ่ายสีย้อมขึ้นอยู่กับค่า pH ของสารตัวอย่างด้วย โดยค่า pH ต่ำจะให้อัตราการกำจัดสีที่สูงกว่าสารตัวอย่างที่มีค่า pH สูง และพบว่ามี  $\text{H}_2\text{O}_2$  เกิดขึ้นภายหลังการบำบัด

ในปี ค.ศ. 2002 Claudio และคณะ [17] ได้ศึกษาเทคนิค HPLC/UV-VIS diode และ เทคนิค HPLC/MS (Sulfonated azo dyes) ซึ่งสีย้อมที่นำมาทดสอบคือ Methyl orange โดยการทดสอบการถ่ายสีย้อมด้วย  $\text{TiO}_2$   $20 \text{ mgL}^{-1}$  ของ Methyl orange และ  $600 \text{ mgL}^{-1}$  ของสารกึ่งตัวนำ

ซึ่งสารกี่ตัวนำจะทำปฏิกิริยากับน้ำและออกซิเจนในรูปแบบการออกซิเดช์จากนั้นทำทดสอบโดยการฉายรังสีตั้งแต่เวลา(5 10 15 22 27 37 นาที) และจากการทดสอบพบว่า Methyl orange จะถลายตัวได้ดีในเวลาที่ 0 5 10 22 และ 27 นาที ตามลำดับและยังพบอีกว่าเทคนิค HPLC/MS เป็นเทคนิคที่เหมาะสมกับการถลายสียอมของ Methyl orange

ในปี ค.ศ. 2010 Fangmin Huang และคณะ [18] ได้ศึกษาการถลาย Methylene Blue ด้วยเทคนิค Dielectric barrier discharge โดยใช้ Methylene Blue ที่ความเข้มข้น 100 mg/L มาบำบัดด้วย Dielectric barrier discharge reactor ที่แรงดันไฟฟ้า 22 kV และความถี่ 10.5 kHz จากการศึกษาพบว่าอัตราการถลาย Methylene Blue เพิ่มขึ้นในสารละลายน้ำที่มีความเป็นกรดสูง และมีอัตราการถลายตัวของ Methylene Blue ในสภาวะที่เป็นกลางต่ำ และพบว่าในระหว่างทำการทดลองเกิดหมู่ร่องไวไฮดรอกซิล (OH) เกิดขึ้น ซึ่งการเกิดหมู่ร่องไวเหล่านี้เป็นปัจจัยสำคัญในการถลาย Methylene Blue

ในปี ค.ศ. 2012 P.Manoj Kumar Reddy และคณะ [19] ได้ทำการศึกษาการถลาย Methylene Blue ในน้ำเสียด้วยเทคนิค Dielectric barrier discharge โดยใช้ความเข้มข้นของ Methylene Blue ที่ 50-100 mg/L โดยทำการศึกษาอัตราการถลาย Methylene Blue การเกิด  $H_2O_2$  และสารต่างๆ และวัดประสิทธิภาพในการถลาย Methylene Blue ซึ่งจากการศึกษาพบว่าการถลาย Methylene Blue จะมีประสิทธิภาพสูงที่สุดที่ความเข้มข้นของ Methylene Blue เท่ากับ 100 mg/L และมีการเกิดขึ้นของ  $H_2O_2$  หมู่ร่องไวไฮดรอกซิล (OH) และโอโซน ( $O_3$ ) และพบว่า จนพลศาสตร์การถลาย Methylene Blue เป็นไปตาม 1<sup>st</sup> Order kinetics

ในปี ค.ศ. 2012 Bo Jiang และคณะ [20] ได้ทำการศึกษาการถลายสียอมโดยใช้ Circulatory airtight reactor ด้วยเทคนิค Non-thermal plasma advance oxidation process โดยสารสีที่ถูกนำมาใช้ในการทดลองคือ Methyl Orange ที่ความเข้มข้น 40-80 mg/L โดย Reactor จะถูกตั้งค่าต่างๆ ดังนี้ แรงดันไฟฟ้า 0-60 kV และช่วงความถี่ 0-320 Pulses/second (pps) และมีการป้อนสารละลายน้ำ Methyl Orange เข้าสู่ reactor ที่ 60 mL/min ซึ่งจากการศึกษาพบว่า อัตราการถลาย Methyl Orange นั้นจะขึ้นอยู่กับความเข้มข้นตั้งต้นและปริมาณของสารประกอบหั้งหมด อีกทั้งประสิทธิภาพในการถลายขึ้นอยู่กับค่าการเปลี่ยนแปลงค่าการป้อน  $O_2$  และพบว่า Methyl Orange ถูกถลายไปกว่า 92% ใน 20 นาที ที่อัตราการไหลของกระแสแก๊สเข้าที่  $0.08 \text{ m}^3/\text{h}$  และมีการให้พลังงาน reactor ที่ 5.67 W

ในปี ค.ศ. 2012 Bruno Mena Cadorin และคณะ [21] ได้ทำการศึกษาการถลาย Methylene Blue ในน้ำ ด้วยวิธี Non-thermal plasma (NTP) ถูกทดสอบโดยใช้ก้าช 3 ชนิด คือ ไนโตรเจน อาร์กอน และ ออกซิเจนโดยมีการเสนอการใช้แร่ Pyrite จากสารละลายน้ำของ Methylene Blue เพราžeแร่ Pyrite จะสร้าง  $H_2O_2$  และ OH กับน้ำ ดังนั้นแร่ Pyrite จึงสามารถใช้เป็น Catalyst ร่วมกับเตาปฏิกิริณ์ของ NTP ได้ จากนั้นทำการทดสอบ Methylene Blue ที่ความเข้มข้น 20 mg/L ที่ค่า pH 5.4 และค่า Conductivity  $14\mu\text{S}(\text{m}^{-1})$  ในช่วงระยะเวลาการบำบัด 60 นาทีและใช้ความ

ยาواقลินในการดูดซึม 664 นาโนเมตร โดยใช้เครื่อง UV-VIS Spectrophotometer ในการตรวจสอบและการศึกษาพบว่ากำชับไฮโดรเจนเปอร์ออกไซด์ในเตาปฏิกรณ์ของ NTP สูงมากและแร่ Pyrite ยังช่วยลดประสิทธิภาพในการสลาย Methylene Blue อีกทั้งยังพบว่าหลังจาก 60 นาทีของการบำบัด มีแร่ Pyrite ถูกเพิ่มขึ้นในเตาปฏิกรณ์ของ NTP มีการเพิ่มขึ้นอย่างมาก (70% ใน 30 นาที) ของการบำบัดอีกด้วย

ในปี ค.ศ. 2013 Xuegang Luo และคณะ [22] ได้ทำการศึกษาการสลายของ Methylene Blue โดยการใช้ Thermocatalytic ที่เร่งปฏิกิริยาด้วยการกระตุ้นที่อุณหภูมิต่ำโดยทดสอบที่ความเข้มข้นที่แตกต่างกันคือ 10 20 30 40 และ 50 mg/L และที่อุณหภูมิที่แตกต่างกัน คือ 30 35 40 และ 45 องศาเซลเซียส จากการศึกษาพบว่า การดูดซึบทาทาง Thermocatalytic ในกระบวนการการย่อยสลายสามารถดูดซึปได้สูงสุดถึง 82.07 % ซึ่งสามารถตอบสนองต่ออุณหภูมิในที่มีค่าและตามผลการทดลองอัตราการสลายตัวใน reactional ยังคล้ายกับ Langmuir-Hinshelwood และยังถูกค้นพบว่า Thermocatalytic ช่วยลดประสิทธิภาพของ Methylene Blue ได้อีกด้วย

ในปี ค.ศ. 2013 Martynas Tichonovas และคณะ [2] ได้ทำการศึกษาการสลายสีเย้อมผ้าในน้ำเสียด้วยเทคนิค Dielectric Barrier Discharge plasma treatment ซึ่งสีเย้อมที่นำมาศึกษาได้รับจากกลุ่มอุตสาหกรรม 13 ชนิดโดยแบ่งเป็น 4 กลุ่มคือ Astrazon Lanaset Optilan และ Realan ที่มีความเข้มข้น 50 mg/L ซึ่งได้ทำการสลายสีเย้อมทั้งหมดนี้ด้วย DBD plasma semi-continuously operated reactor โดยในการศึกษาการสลายสีเย้อมผ้าแบ่งออกเป็น 4 ขั้นตอนคือ การเตรียมตัวอย่างน้ำที่จะใช้ในการทดลอง การวัดค่าพารามิเตอร์ต่างๆ เช่น ปริมาณ  $O_3$  ที่เกิดขึ้น ค่าสีอนามัยฟ้าและค่า pH ของตัวอย่างน้ำเสีย ปริมาณสารตกค้าง ปริมาณการสลายของสีเย้อม เป็นต้น และการออกแบบการทดลอง โดยจะนำมาวัดผลต่อในร่องของปริมาณ  $O_3$  ที่เกิดขึ้น คุณสมบัติที่เกิดขึ้นภายหลังการสลายสีเย้อมด้วยเทคนิค DBD และการทดสอบความเป็นพิษของน้ำตัวอย่าง ซึ่งจากการศึกษาพบว่า Astrazon Brilliant Red เป็นสารสีที่สามารถออกไประดับมากที่สุด แต่ Lanaset Yellow Optilan Yellow และ Optilan Red เป็นสารสีที่มีการสลายสีน้อยที่สุด อีกทั้งยังพบว่าสารตกค้างที่ยังคงเหลืออยู่คือ Carboxylic acids Nitrates Amides และ Amines ในด้านการทดสอบความเป็นพิษหลังการบำบัดพบว่า Astrazon Brilliant Red มีความเป็นพิษน้อยที่สุดหลังผ่านการบำบัด

ในปี ค.ศ. 2014 Yanping Jin และคณะ [3] ได้ทำการศึกษาการเพิ่มประสิทธิภาพการสลาย Methylene Blue และ Methyl Orange ในน้ำเสีย ด้วยเทคนิค Pulsed discharged plasma โดยสารสีที่ใช้ในการทดลองคือ Methylene Blue และ Methyl Orange ที่มีความเข้มข้น  $1.4 \times 10^{-6}$  M โดยทำการศึกษาผลการตอบสนองต่อผิวของสารตัวอย่างเพื่อวัดประสิทธิภาพของการสลายสีเย้อมทั้ง 2 ชนิดภายใต้เงื่อนไขต่างๆ จากการศึกษาพบว่า Methylene Blue ถูกสลายไปกว่า 94.5% และ Methyl Orange ถูกสลายไปกว่า 80.2% และยังทราบว่าเทคนิค Pulsed discharged plasma oxidation process นั้นช่วยประหยัดพลังงานที่ใช้ในกระบวนการ มีความรวดเร็ว และมีประสิทธิภาพสูงสำหรับการบำบัดน้ำเสีย

ในปี ค.ศ. 2014 Qian Wang และคณะ [23] ได้ทำการศึกษาในการสลายสีเย้อมของ Methylene blue โดยทดสอบด้วยชนิดของตัวเร่งปฏิกิริยา ที่ต่างกัน ที่มีชื่อว่า Fe(II)Fe(III)-LDHs ในอัตราส่วน  $[Fe^{2+}]/[Fe^{3+}] = 1:0$  ที่ความดันบรรยากาศ ที่ Methylene blue 10 mg/L ในเวลา 1 ชั่วโมง และจากการทดสอบพบว่า Fe(II)Fe(III)-LDHs ประสบความสำเร็จในการนำมาใช้ในกระบวนการ Fenton และภาพที่ได้จาก SEM และ BET ชี้ให้เห็นว่า Fe(II)Fe(III)-LDHs จาก  $FeSO_4 \cdot 7H_2O$  ที่ความดันบรรยากาศของพื้นที่  $123 m^2/g$  ในกระบวนการ Fenton Methylene blue 10 mg/L สามารถเปลี่ยนสีในเวลา 1 ชั่วโมง ภายใต้เงื่อนไขที่เป็นกรดและเป็นกลางได้ดีที่สุด



## บทที่ 3

### วิธีการทดลอง

#### 3.1 วัสดุและสารเคมี

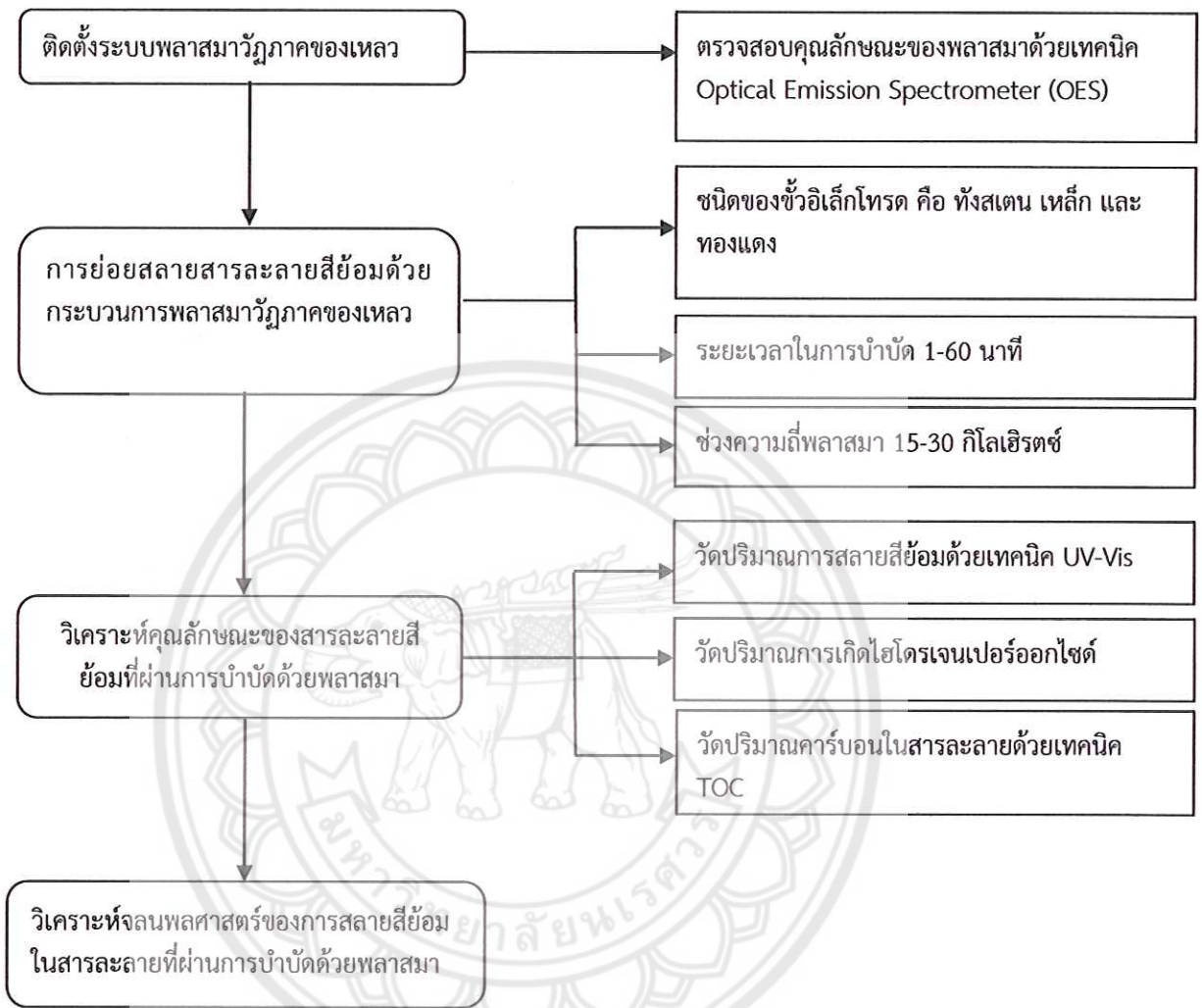
- 3.1.1 เมทิลีนบลู (Methylene Blue)
- 3.1.2 น้ำกลั่น
- 3.1.3 สารละลาย NaOH ความเข้มข้น 10%W/V

#### 3.2 อุปกรณ์

- 3.2.1 เครื่องกำนันเดพลาสมาวัตถุภาคของเหลว
- 3.2.2 ข้ออิเล็กโทรด 3 ชนิด คือ หั้งสเทน เหล็ก และทองแดง
- 3.2.3 เครื่องวัดปริมาณการดูดกลืนแสง (UV-Visible Spectrophotometer)
- 3.2.4 Optical Emission Spectroscope (OES)
- 3.2.5 เครื่องปั่นกวนสาร (Magnetic stirrer)
- 3.2.6 เครื่องซั่งสารความละเอียด 4 ตำแหน่ง
- 3.2.7 Cuvette ขนาด 3.5 มิลลิลิตร

### 3.3 ขั้นตอนการดำเนินงานวิจัย

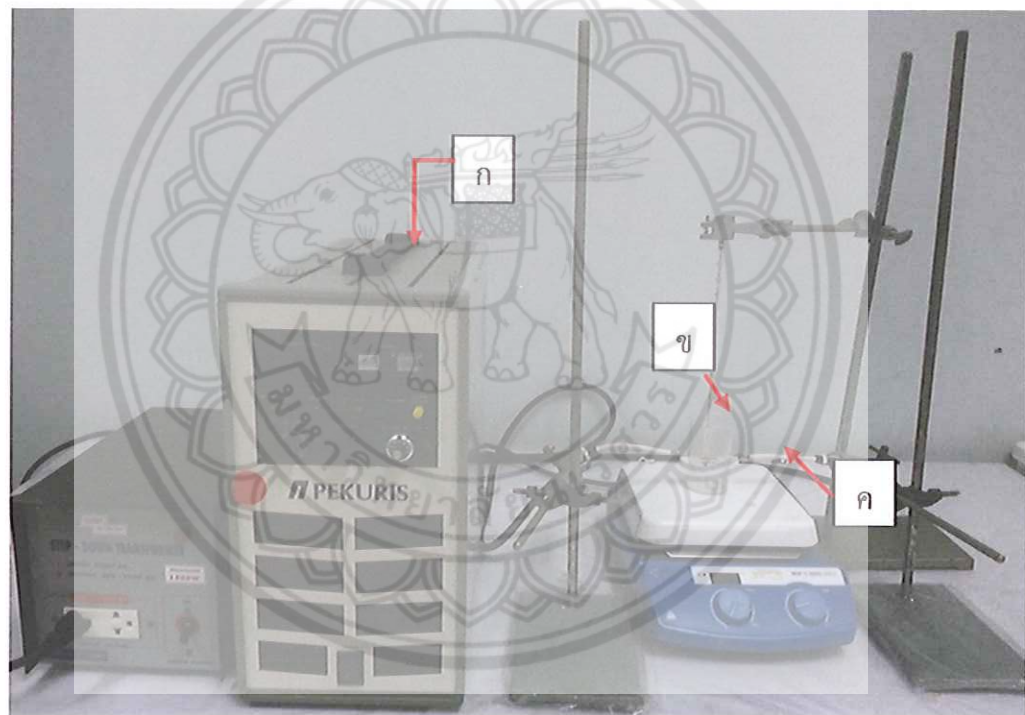
ในการศึกษาการสลายสีเย้อม เมทิลีนบูลู มีขั้นตอนการดำเนินงานดัง แสดงในรูปที่ 3.1



รูปที่ 3.1 ขั้นตอนการดำเนินงานวิจัย

### 3.3.1 การติดตั้งระบบพลาสมาวัสดุภาคของเหลวและการตรวจวัดคุณสมบัติของพลาasma

การติดตั้งระบบของเครื่องกำเนิดพลาสมาวัสดุภาคของเหลวและการตรวจวัดคุณสมบัติของพลาasma ผลิตขึ้นในเครื่องปฏิกรณ์พลาasma ที่ทำจากแก้ว โดยเกิดขึ้นระหว่างข้ออิเล็กโตรดแบบเข็ม (Needle electrodes) ซึ่งทำจากวัสดุชนิดต่างๆ คือ หั้งสแตน เหล็ก และทองแดง ที่มีเส้นผ่าศูนย์กลาง 1 มิลลิเมตร ระยะห่างระหว่างข้ออิเล็กโตรดประมาณ 0.2 มิลลิเมตร ในการผลิตพลาasma จะเชื่อมต่อ อิเล็กโตรดทั้งสองเข้ากับเพาเวอร์ซัพพลายระบบไฟฟ้ากระแสตรงแบบพัลล์ ในการตรวจวัดคุณสมบัติ ของพลาasma จะใช้เทคนิค Optical Emission Spectrometer (OES) โดยนำหัววัดจุ่มลงใน สารละลายสีย้อมขณะทำการบำบัดด้วยพลาasma เพื่อวัดระดับการเปล่งแสง ผลที่ได้จากการวัดจะ แสดงในรูปของกราฟแสดงพิกัดในช่วงความยาวคลื่นต่างๆ ซึ่งสามารถนำไปเปรียบเทียบกับข้อมูล อ้างอิงเพื่อบุชนิดของหมู่ว่องไวที่เกิดขึ้นในระหว่างกระบวนการพลาasma



รูปที่ 3.2 อุปกรณ์กำเนิดพลาスマวัสดุภาคของเหลว

ก. เพาเวอร์ซัพพลาย

ข. ถังปฏิกรณ์พลาasma

ค. ข้ออิเล็กโตรด

### 3.3.2 การย่อยสารละลายสีเย้มด้วยกระบวนการพลาスマวัฏภาคของเหลว

เตรียมสารละลาย เมทิลีนบลู โดยเติมลงเมทิลีนบลูในน้ำกลั่นปริมาตร 500 มิลลิลิตรและปั่นกวนด้วยเครื่องปั่นกวนสาร (Magnetic stirrer) จนเป็นสารละลายความเข้มข้น 0.5 1.0 1.5 75 100 และ 125 มิลลิกรัมต่อลิตร หลังจากที่เตรียมสารได้ตามความเข้มข้นที่ต้องการ จำเป็นต้องนำไปปรับค่าการนำไฟฟ้าด้วย NaOH ความเข้มข้นร้อยละ 10 โดยนำหนักต่อลิตร จนมีค่าการนำไฟฟ้า 1000 ไมโครซีเมนซ์ต่อเซนติเมตร (Microsiemens per cm,  $\mu\text{S}/\text{cm}$ ) จากนั้นนำสารละลายตัวอย่างที่เตรียมได้ปริมาณ 120 มิลลิลิตร มาทำการบำบัดด้วยพลาスマวัฏภาคของเหลว ในการบำบัดด้วยพลาasma จะใช้ข้ออิเล็กโทรดต่างกัน 3 ชนิดคือ หงส์เตน เหล็ก และทองแดง ระยะเวลาในการบำบัดใช้เวลา 1-60 นาที ความต่างศักย์ในการผลิตพลาasma 2-3 กิโลวัตต์ (kV) ความถี่ 15-30 กิโลเฮิรตซ์ (kHz) และ Pulse width 3 ไมโครเซคунด์ ( $\mu\text{s}$ ) ในระหว่างการย่อยสารละลายสีเย้มด้วยพลาasma จะทำการปั่นกวนสารด้วยอุปกรณ์ผสมสาร (Magnetic stirrer) เพื่อเพิ่มการสัมผัสกันระหว่างสารละลายสีเย้มกับพลาasma และดูดสารละลายตัวอย่างที่ผ่านการบำบัดด้วยพลาスマวัฏภาคของเหลวทุกๆ 10 นาที เพื่อนำไปตรวจคุณลักษณะต่างๆต่อไป

### 3.3.3 การวัดปริมาณการสลายสีเย้มด้วยเทคนิค UV-Vis

นำสารละลายที่ผ่านการบำบัดด้วยพลาスマวัฏภาคของเหลวมาวัดปริมาณการสลายสีเย้มด้วยเครื่อง UV/VIS Spectrophotometer โดยก่อนการตรวจสอบต้องนำสารละลายที่ผ่านการบำบัดมาลดความเข้มข้นลงจนมีค่าความเข้มข้นต่ำๆในช่วงของ Grafmaตราชูานก่อนนำไปตรวจสอบค่าการดูดกลืนแสง (Absorbance) และนำไปตรวจด้วยตั้งค่าการดูดกลืนแสงของสารละลาย เมทิลีนบลู ที่ความยาวคลื่น 668 นาโน ค่าการดูดกลืนแสงของสารละลายที่ได้จากการตรวจสอบด้วยเครื่อง UV-Vis จะนำไปใช้เปรียบเทียบกับ Grafmaตราชูานจากสารละลายเมทิลีนบลูมาตรฐาน เพื่อหาปริมาณความเข้มข้นสารละลายสีเย้มหลังจากผ่านการบำบัดด้วยพลาスマวัฏภาคของเหลว ดังสมการ (3.1)

$$\text{ процентการสลายสีเย้ม} = \frac{\text{ปริมาณความเข้มข้นสารตั้งต้น} - \text{ปริมาณความเข้มข้นสารที่เหลือ}}{\text{ปริมาณความเข้มข้นสารตั้งต้น}} \times 100 \quad (3.1)$$

### 3.3.4 การวัดปริมาณการเกิดไฮโดรเจนเปอร์ออกไซด์

นำสารละลายเมทิลีนบลูเข้มข้น 125 มิลลิกรัมต่อลิตร ที่ผ่านการบำบัดด้วยพลาスマวัฏภาคของเหลวเป็นเวลา 60 นาทีมาวัดปริมาณการเกิดไฮโดรเจนเปอร์ออกไซด์ด้วยเครื่อง UV-Vis Spectrophotometer โดยนำสารละลายที่ผ่านการบำบัดปริมาตร 1 มิลลิลิตร ผสมเข้ากับไธเนียมซัลเฟตปริมาตร 2 มิลลิลิตร และเติมน้ำจันได้ปริมาตร 10 มิลลิลิตร จากนั้นนำไปตรวจสอบค่าการดูดกลืนแสงที่ความยาวคลื่น 410 นาโนเมตร ค่าการดูดกลืนแสงของสารละลายที่ได้จากการตรวจสอบด้วยเครื่อง UV-Vis จะนำไปใช้เปรียบเทียบกับ Grafmaตราชูานจากสารละลายมาตราฐาน

เพื่อหาปริมาณการเกิดไฮโดรเจนเปอร์ออกไซด์ที่เกิดขึ้นในสารละลายหลังจากการบำบัดด้วยพลาสมาวัสดุภาคของเหลวเนื่องจากขั้นตอนการบำบัดด้วยกระบวนการพลาสมาวัสดุภาคของเหลว หมู่ว่องไวไฮดรอกซิลอาจเกิดการรวมตัวระหว่างหมู่ว่องไวไฮดรอกซิลเกิดเป็นสารไฮโดรเจนเปอร์ออกไซด์ที่เป็นตัวขัดขวางการสลายสีย้อมเมทิลีนบลู

### 3.3.5 การวัดปริมาณคาร์บอนในสารละลายด้วยเทคนิค TOC

นำสารละลายเมทิลีนบลูเข้มข้น 125 มิลลิกรัมต่อลิตร ที่ผ่านการบำบัดด้วยพลาสมาวัสดุภาคของเหลวเป็นเวลา 60 นาทีโดยใช้ข้าวอิเล็กโทรดทองแดง วัดปริมาณการเกิดคาร์บอนด้วยเครื่อง TOC โดยนำสารละลายที่ผ่านการบำบัดปริมาตร 30 มิลลิลิตร เพื่อหาปริมาณการเกิดคาร์บอนที่เกิดขึ้นในสารละลายหลังจากผ่านการบำบัดด้วยกระบวนการพลาสมาวัสดุภาคของเหลว ซึ่งสารประกอบคาร์บอนในสารละลายสีย้อมเมทิลีนบลูมีการจับตัวกับสารประกอบตัวอื่นที่ก่อให้เกิดความเป็นพิษ

### 3.3.6 วิเคราะห์จนผลศาสตร์ของการสลายสีย้อมในสารละลายที่ผ่านการบำบัดด้วยพลาสma

การศึกษาจนผลศาสตร์และอัตราการย่อยสลายเมทิลีนบลู ทำได้โดยการนำผลของค่าความเข้มข้นที่ได้จากการตรวจสอบด้วยเครื่อง UV-Vis มาคำนวณดังสมการ 3.2 [19]

$$\ln \frac{C_t}{C_0} = -k_1 t \quad (3.2)$$

เมื่อ  $C_t$  = ปริมาณความเข้มข้นของสารละลายสีย้อมที่ผ่านการบำบัดที่เวลาใดๆ  
 $C_0$  = ปริมาณความเข้มข้นของสารละลายสีย้อมตั้งต้น  
 $k_1$  = ค่าคงที่ของอัตราการเกิดปฏิกิริยาอันดับหนึ่ง ( $\text{min}^{-1}$ )  
 $t$  = เวลาที่ใช้ในการบำบัดด้วยพลาสma ( $\text{min}$ )

จากนั้นทำการเขียนกราฟความสัมพันธ์ระหว่างเวลาในการเกิดปฏิกิริยา กับค่าความเข้มข้นของสารละลายสีย้อมที่ผ่านการบำบัดที่เวลาใดๆ ต่อค่าความเข้มข้นของละลายสีย้อมตั้งต้น ซึ่งความชันที่ได้บวกถึงค่าคงที่อัตราการย่อยสลายเมทิลีนบลู

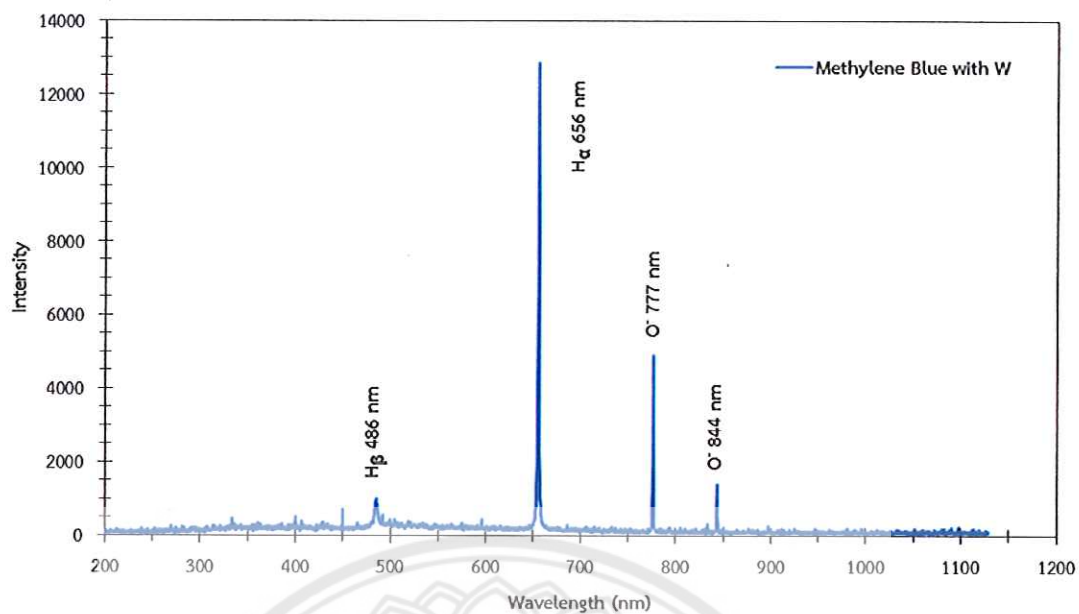
## บทที่ 4

### ผลการทดลองและการวิเคราะห์

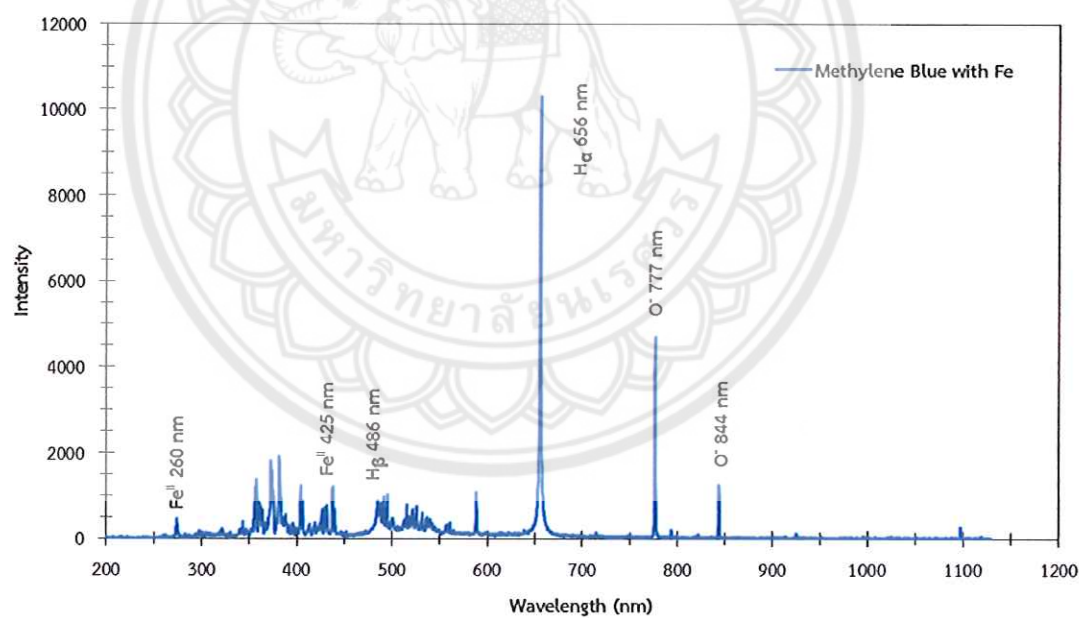
จากการศึกษาผลของสภาวะพลาสมาวัสดุภาคของเหลวที่มีต่อการย่อยสลายเมทิลีนบลู ใน การศึกษานี้ได้ทำการศึกษาปัจจัยที่ส่งผลต่อร้อยละการย่อยสลายเมทิลีนบลู คือชนิดของข้าวอิเล็กโตรด 3 ชนิด ได้แก่ หั้งสแตน เหล็ก และทองแดง ความเข้มข้นของเมทิลีนบลู 0.5 1.0 1.5 75 100 และ 125 มิลลิกรัมต่อลิตร เวลาที่ใช้ในการย่อยสลาย 0 ถึง 60 นาที และการปรับความถี่ของเครื่องกำเนิด พลาสม่าที่ 15 22.5 และ 30 กิโลเอրตซ์ โดยภายหลังจากการทำการทดลองแล้วได้นำผลที่ได้ไป ทดสอบคุณสมบัติต่างๆ ซึ่งผลที่ได้เป็นดังต่อไปนี้

#### 4.1 คุณลักษณะของพลาสม่าที่เกิดขึ้นจากข้าวอิเล็กโตรดแต่ละชนิด

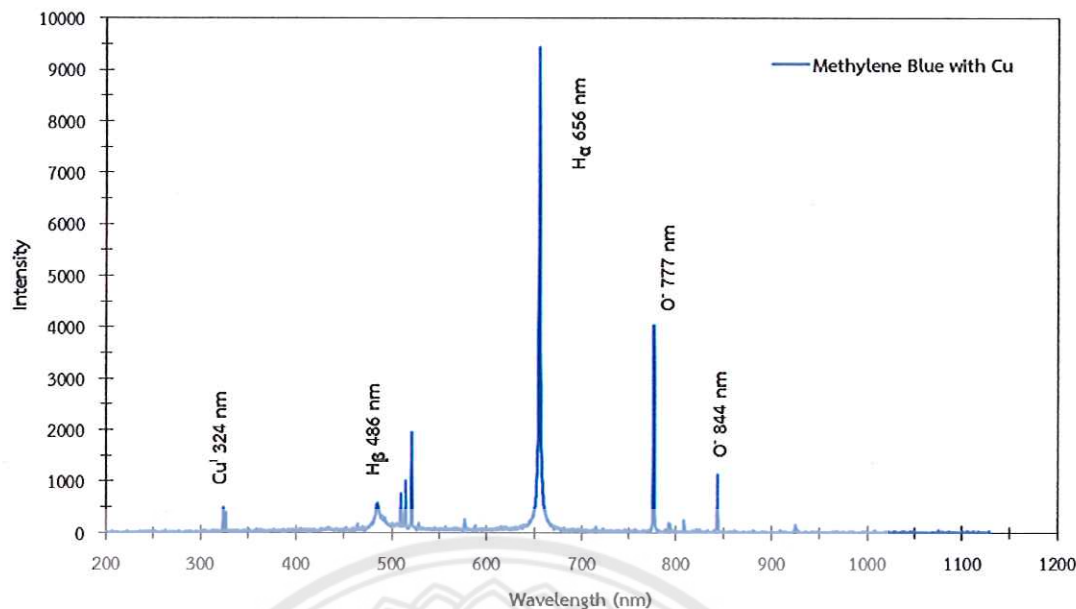
จากการศึกษาคุณลักษณะของพลาสม่าที่ได้หลังจากผ่านการบำบัดด้วยข้าวอิเล็กโตรดหั้งสามชนิด คือ หั้งสแตน เหล็ก และทองแดง ที่แสดงให้เห็นถึงสเปกตรัมของหมู่ว่องไวที่เกิดขึ้นภายใต้ระบบการ บำบัดด้วยพลาสมาวัสดุภาคของเหลวที่ทำแห่งความยาวคลื่นแสงต่างๆ ของข้าวอิเล็กโตรดที่เวลาการ บำบัด 5 นาที โดยเมื่อใช้ข้าวอิเล็กโตรดหั้งสแตนพบว่าหมู่ว่องไวที่เกิดจากการดิซชาร์จของพลาสมาวัสดุ ภาคของเหลวพบหมู่ว่องไวในสารละลายน้ำ H<sub>2</sub> O และ O<sup>-</sup> พบร้อยละความยาวคลื่นแสงที่ 486 นาโน เมตร 656 นาโนเมตร 777 นาโนเมตร และ 844 นาโนเมตร ตามลำดับ และพบได้ในระบบบำบัดด้วย ข้าวอิเล็กโตรดหั้งสามชนิด [24] ดังรูปที่ 4.1 4.2 และ 4.3 เมื่อจากในสารละลายน้ำและกลุ่มน้ำมี ส่วนประกอบของน้ำ เมื่อเกิดการดิซชาร์จด้วยพลาสมาก็เกิดขึ้นส่งผลทำให้ไม่เกิดข้อหักข้อ ตัวออกเป็นหมู่ว่องไวของไฮโดรเจน และหมู่ว่องไวของออกซิเจน ซึ่งส่งผลต่อกระบวนการสลายสีย้อม เมทิลีนบลู [25]



รูปที่ 4.1 แสดงคุณลักษณะของพลาasma ที่เกิดจากข้าวอิเล็กโทรดหั่งสแตนที่ความถี่ 15 กิโลเอิร์ตซ์



รูปที่ 4.2 แสดงคุณลักษณะของพลาasma ที่เกิดจากข้าวอิเล็กโทรดเหล็กที่ความถี่ 15 กิโลเอิร์ตซ์

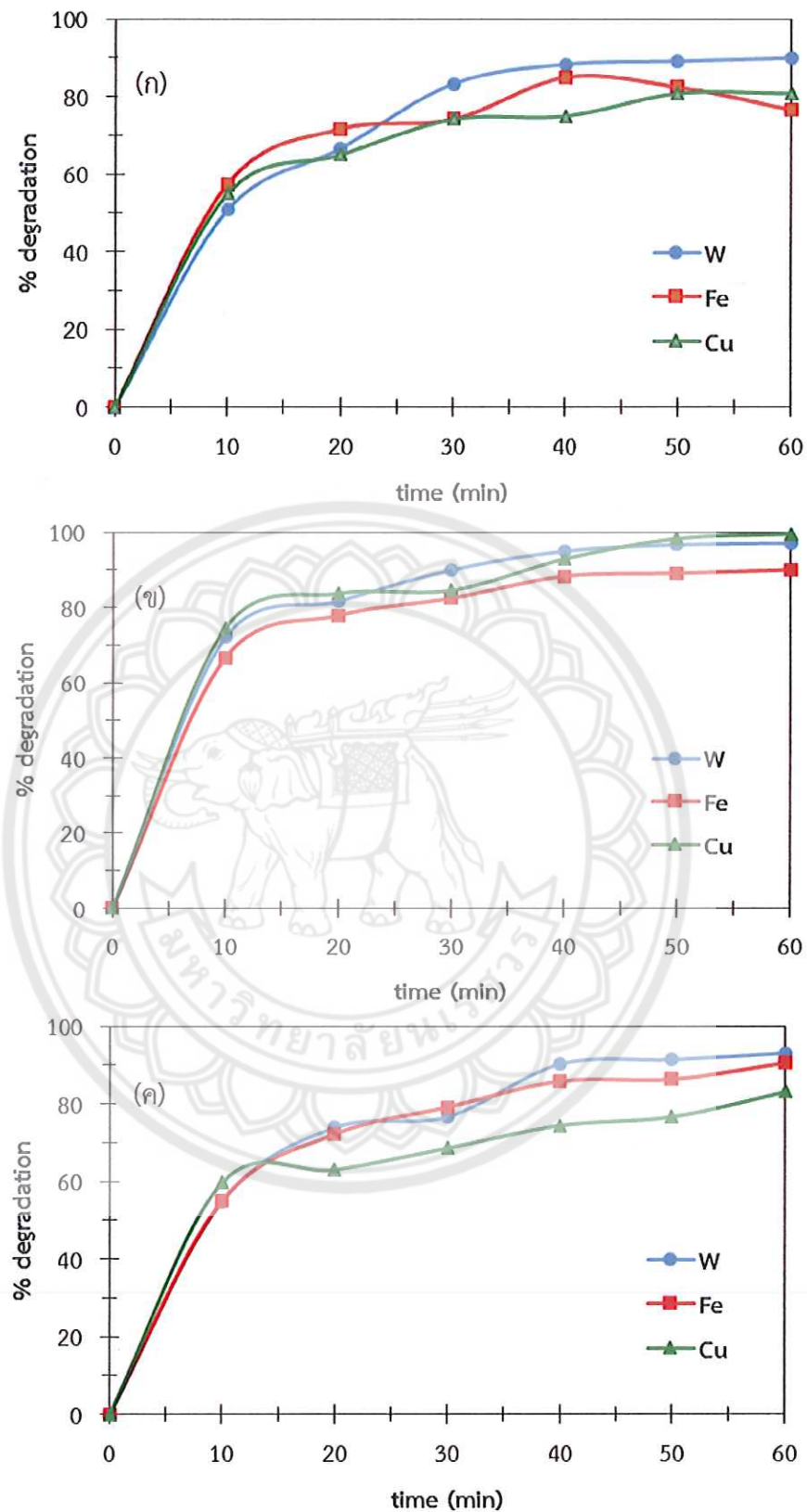


รูปที่ 4.3 แสดงคุณลักษณะของพลาสม่าที่เกิดจากข้าวอิเล็กโทรดทองแดงที่ความถี่ 15 กิโลเฮิรตซ์

และเมื่อใช้ข้าวอิเล็กโทรดเหล็กพบว่ามีหมู่ว่องไวเกิดขึ้นคือ  $\text{Fe}^{+}$  ที่ความยาวคลื่น 260 นาโนเมตร และ 425 นาโนเมตร และเมื่อใช้ข้าวอิเล็กโทรดทองแดงพบว่ามีหมู่ว่องไวเกิดขึ้นคือ  $\text{Cu}^{+}$  ที่ความยาวคลื่น 324 นาโนเมตร เนื่องจากข้าวอิเล็กโทรดทั้งสองชนิดสามารถแตกตัวเป็นหมู่ว่องไวโลหะไอออน ต่างๆได้ดีจึงมีการแสดงอยู่ของหมู่ว่องไว  $\text{Fe}^{+}$  และ  $\text{Cu}^{+}$  ในระบบการบำบัด แต่เมื่อใช้ข้าวอิเล็กโทรดทั้งสองชนิดนั้นมีความแตกต่างกัน ซึ่งทั้งสองชนิดมีความต้านทานสูงที่สุดจึงไม่พบรากเกิดขึ้นของหมู่ว่องไว ดังกล่าวในระบบ [26] ดังนั้นจากการตรวจสอบคุณลักษณะของพลาสม่าด้วยเทคนิค OES สำหรับกระบวนการพลาสมาวัสดุภาคของเหลว สามารถสรุปได้ว่า พลาสมามีคุณสมบัติที่สามารถทำให้เกิดหมู่ว่องไวเหล่านี้ได้ ซึ่งหมู่ว่องไวบางตัวนั้นมีคุณสมบัติที่สามารถย่อยสลายเมทิลีนบลูได้ ซึ่งสอดคล้องกับผลการทดลองอื่นๆ ที่ได้จากการทดลองในการย่อยสลายเมทิลีนบลูต่อไป

#### 4.2 ผลของชนิดอิเล็กโทรดที่ส่งผลต่อกระบวนการย่อยสลายสีเย้อมเมทิลีนบลู

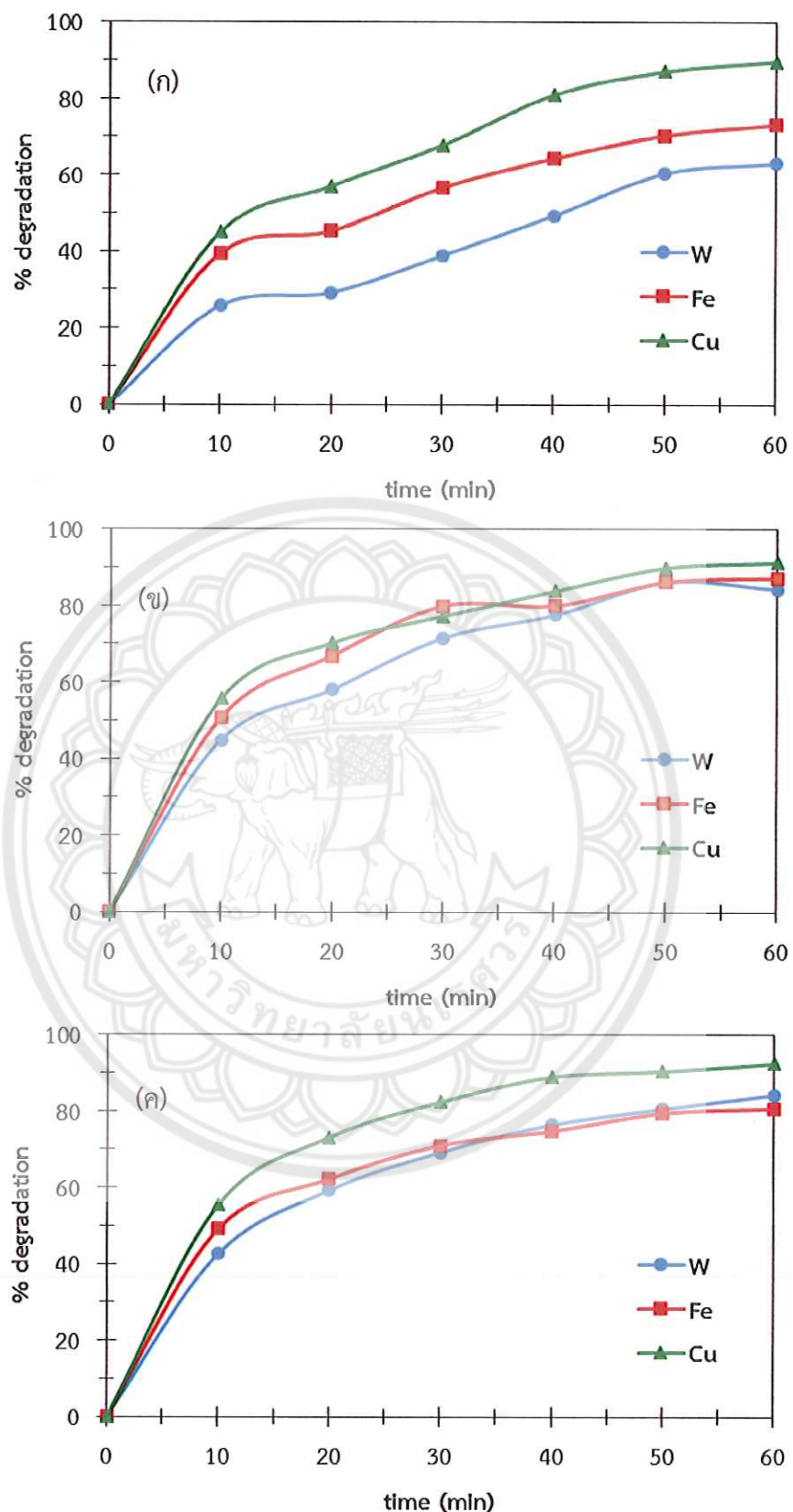
จากการศึกษาร้อยละการย่อยสลายเมทิลีนบลูที่ความเข้มข้นต่างของข้าวอิเล็กโทรดทั้งสามชนิดคือ ทั้งสแตน เหล็ก และทองแดง ที่ค่าความถี่พลาสม่า 15 กิโลเฮิรตซ์ หลังผ่านการบำบัด 60 นาที ดังแสดงในรูปที่ 4.4 พบว่าร้อยละการย่อยสลายตัวของเมทิลีนบลูด้วยกระบวนการพลาสมาวัสดุภาคของเหลวจากการใช้ข้าวอิเล็กโทรดทั้งสามชนิดไม่มีผลต่อกระบวนการย่อยสลายสีเย้อมเมทิลีนบลู เนื่องจากความเข้มข้นของ เมทิลีนบลูที่น้อยทำให้เกิดการสลายตัวไปได้เร็วโดยใช้ช่วงเวลาในการบำบัดสั้นๆ จึงไม่สามารถบอกได้ว่าความแตกต่างในการบำบัดเมทิลีนบลูได้ ดังนั้นจึงสามารถเลือกใช้ข้าวอิเล็กโทรดชนิดใดก็ได้ในการบำบัด



รูปที่ 4.4 ร้อยละการย่อยสลายเมทีลีนบลูความเข้มข้นต่างๆด้วยข้าวอิเล็กโทรดต่างชนิด  
ที่ความถี่ 15 กิโลเฮิรตซ์ ก) 0.5 มิลลิกรัมต่อลิตร ข) 1.0 มิลลิกรัมต่อลิตร  
และ ค) 1.5 มิลลิกรัมต่อลิตร

จากการศึกษาอย่างการย่อยສลายเมทิลีนบลูที่ความเข้มข้นสูงของข้าวอิเล็กโทรดทั้งสามชนิดคือ หั่งสแตน เหล็ก และทองแดง ที่ค่าความถี่พลาスマ 15 กิโลเฮิรตซ์ หลังผ่านการบำบัด 60 นาที ดัง แสดงในรูปที่ 4.5 พบว่าชนิดของข้าวอิเล็กโทรดมีผลมากขึ้นซึ่งเห็นได้ชัดเจน โดยทองแดงมี ประสิทธิภาพสูงสุดในการบำบัดเมื่อเทียบกับข้าวอิเล็กโทรดอีกสองชนิด ซึ่งที่ความเข้มข้นของ เมทิลีนบลู 75 มิลลิกรัมต่อลิตร เกิดการสลายตัวของเมทิลีนบลูร้อยละ 89.65 ที่ความเข้มข้นของ เมทิลีนบลู 100 มิลลิกรัมต่อลิตร เกิดการสลายตัวของเมทิลีนบลูร้อยละ 91.24 และที่ความเข้มข้น ของเมทิลีนบลู 125 มิลลิกรัมต่อลิตร เกิดการสลายตัวของเมทิลีนบลูสูงที่สุดถึงร้อยละ 92.41 ดัง แสดงในตารางที่ 4.1 เนื่องจากทองแดงมีความสามารถในการรักษาและยับยั้งการเติบโตของเชื้อรา ให้ สามารถย่อยสลายเมทิลีนบลูได้ดี ซึ่งทองแดงสามารถเร่งปฏิกิริยาการแตกตัวเป็นอะตอมหรือโลหะ ไอออนเข้าทำปฏิกิริยากับไฮโดรเจนเปอร์ออกไซด์ให้เป็นหมู่ว่องไวไฮดรอกซิลได้ดีเมื่อเปรียบเทียบกับ หั่งสแตนและเหล็ก [27] ซึ่งหมู่ว่องไวไฮดรอกซิลนั้นเป็นตัวสำคัญที่จะเข้าไปทำปฏิกิริยากับเมทิลีนบลู เพื่อลดปริมาณความเข้มข้นของเมทิลีนบลูลง [19,28] ซึ่งสามารถบอกถึงผลของการสลายสีเย้อมขึ้น โดยเมื่อความเข้มข้นของเมทิลีนบลูเพิ่มสูงขึ้นจะทำให้ประสิทธิภาพในการสลายสีเย้อมด้วย กระบวนการพลาสมาวัสดุภาคของเหลวมีค่าสูงขึ้น





รูปที่ 4.5 ร้อยละการย่อยสลายเมทิลีนบลูความเข้มข้นสูงด้วยข้าวอิเล็กโทรดต่างชนิด  
ที่ความถี่ 15 กิโลเฮิรตซ์ ก) 75 มิลลิกรัมต่อลิตร ข) 100 มิลลิกรัมต่อลิตร  
และ ค) 125 มิลลิกรัมต่อลิตร

ตารางที่ 4.1 ร้อยละการสลายสีย้อมเมทิลีนบลูด้วยกระบวนการพลาสมาวัฏภาคของเหลวที่ความถี่ 15 กิโลเอิร์ตซ์

ความเข้มข้นของสารละลายเมทิลีนบลู (มิลลิกรัมต่อลิตร)	ข้ออ้างอิง	ร้อยละการสลายตัว
0.5	ทั้งสิ้น	89.9875
	เหล็ก	76.6375
	ทองแดง	80.8093
1.0	ทั้งสิ้น	97.0797
	เหล็ก	89.9875
	ทองแดง	99.5828
1.5	ทั้งสิ้น	93.0469
	เหล็ก	90.5437
	ทองแดง	83.0343
75	ทั้งสิ้น	63.0371
	เหล็ก	73.2165
	ทองแดง	89.6537
100	ทั้งสิ้น	84.3137
	เหล็ก	87.2340
	ทองแดง	91.2390
125	ทั้งสิ้น	84.2303
	เหล็ก	80.6245
	ทองแดง	92.4072

และจากการเปรียบเทียบการสลายสีย้อมเมทิลีนบลูด้วยกระบวนการพลาสมาวัฏภาคของเหลวกับกระบวนการอื่นๆ จะเห็นได้ว่ากระบวนการพลาสมาวัฏภาคของเหลวใช้เวลาเพียง 60 นาที สามารถสลายสีย้อมเมทิลีนบลูได้ถึงร้อยละ 92.41 เทียบกับกระบวนการโซลเจลโดยใช้ปฏิกิริยาไฟฟานีเยมได-ออกไซด์ร่วมกับคาร์บอนซีซิงใช้เวลาในการสลายสีย้อมนาน 1,620 นาที จึงจะสามารถสลายสีย้อมไดร้อยละ 97 และเมื่อทำการเปรียบเทียบกับกระบวนการ Pulsed discharged plasma ใช้เวลาในการสลายสีย้อม 30 นาที สามารถสลายสีย้อมไดร้อยละ 94.5 แต่กระบวนการนี้มีข้อเสียเนื่องจากต้องมีการควบคุมพลังงานและอัตราการให้ผลของก๊าซที่จำเป็นต่อกระบวนการผลิตasma และกระบวนการในการบำบัดมีหลักขั้นตอนส่งผลให้ใช้ต้นทุนสูง เมื่อเปรียบเทียบกับกระบวนการพลาสมาวัฏภาคของเหลวซึ่งเป็นกระบวนการที่ง่าย และสามารถดำเนินการได้ในสภาพความดันบรรยากาศและที่อุณหภูมิห้อง

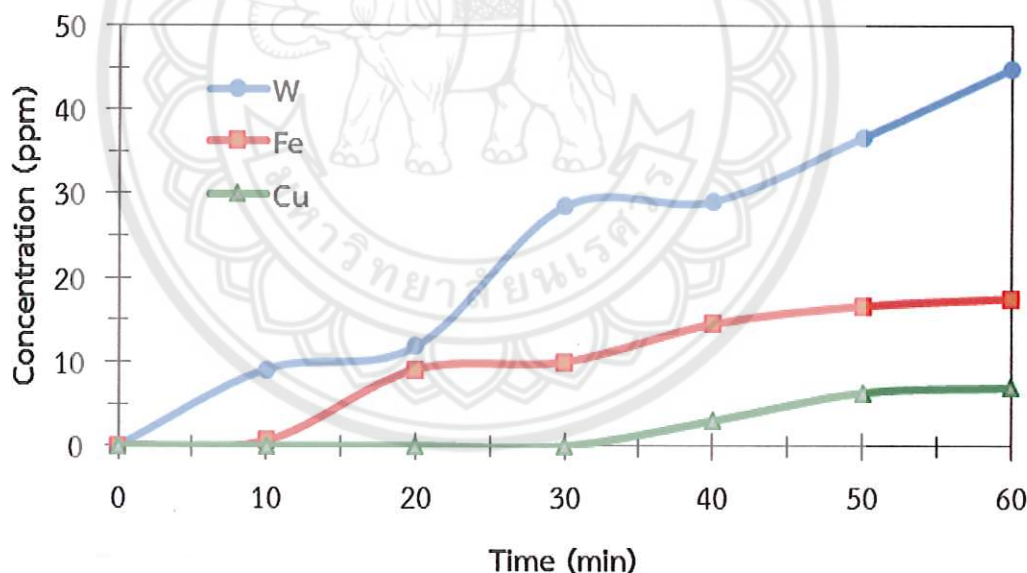
ตารางที่ 4.2 การเปรียบเทียบการสลายสีย้อมเมทิลีนบลูด้วยกระบวนการพลาสมาวัสดุของเหลวกับกระบวนการอื่นๆ

กระบวนการ	เวลา (นาที)	ร้อยละการสลายสีย้อมเมทิลีนบลู	แหล่งอ้างอิง
กระบวนการพลาสมาวัสดุภาคของเหลว	60	92.41	งานวิจัยนี้
กระบวนการโซลเจลโดยใช้ปฏิกิริยาไทยเนียมไดออกไซด์ร่วมกับคาร์บอน	1,620	97	ก้องgap ยศแพง และคณะ [29]
กระบวนการ Pulsed discharged plasma	30	94.5	Y. Jin et al. [5]

#### 4.2.1 ผลของปริมาณการเกิดไฮโดรเจนเบอร์ออกไซด์

จากการศึกษาปริมาณการเกิดขึ้นของไฮโดรเจนเบอร์ออกไซด์ในสารละลายนเมทิลีนบลูที่ความเข้มข้น 125 มิลลิกรัมต่อลิตร โดยเปรียบเทียบข้ออธิบายดังนี้

ห้องทดลองที่ค่าความถี่พลาasma 15 กิโลเฮิรตซ์ ดังแสดงในรูปที่ 4.6

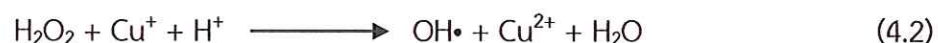


รูปที่ 4.6 ความเข้มข้นของไฮโดรเจนเบอร์ออกไซด์ที่เกิดขึ้นในสารละลายนเมทิลีนบลูเข้มข้น 125 มิลลิกรัมต่อลิตร ด้วยข้ออธิบายดังนี้

พบว่าปริมาณการเกิดขึ้นของไฮโดรเจนเบอร์ออกไซด์โดยใช้ข้ออธิบายดังนี้

การเกิดขึ้นน้อยที่สุดเมื่อเปรียบเทียบกับ ห้องทดลอง และห้องทดลอง เนื่องจากการเกิดขึ้นของไฮโดรเจนเบอร์ออกไซด์ในสารละลายนเมทิลีนบลูได้จากการรวมตัวของอนุภาคที่มีขนาดเล็ก ทำให้เกิดการขัดขวางการสลายสีย้อมและเกิดเป็นการสะสมสารพิษขึ้น และในกระบวนการพลาสมาวัสดุของเหลวที่มีขนาดใหญ่กว่าอนุภาคที่มีขนาดเล็ก ทำให้เกิดการขัดขวางการสลายสีย้อมและเกิดเป็นการสะสมสารพิษขึ้น

การบำบัดจะเกิดการแตกตัวของโลหะไฮอนหลุดออกมาน้ำ ซึ่งโลหะไฮอนดังกล่าวคือทองแดงที่เกิดการแตกตัวดังสมการที่ 4.1 ที่สามารถเข้าทำปฏิกิริยากับไฮโดรเจนเปอร์ออกไซด์เพื่อแตกตัวกลับมาเป็นหมู่ว่องไวไฮดรอกซิลที่สามารถเข้ามาทำปฏิกิริยาการสลายสีย้อมได้ซึ่งเรียกว่าปฏิกิริยา芬น์ตันซึ่งแสดงดังนี้ [30]



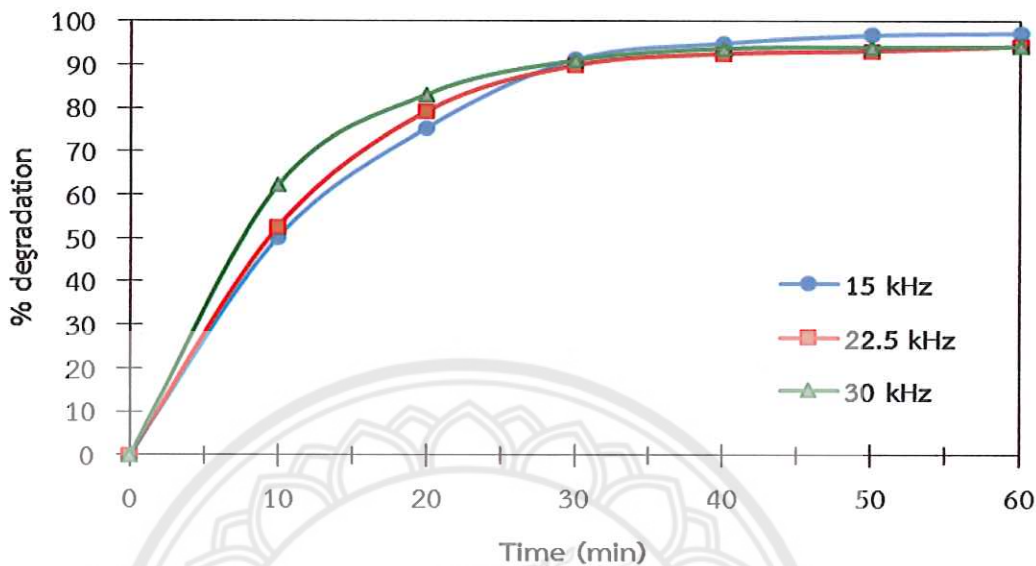
และการเปลี่ยนข้ออิเล็กโทรดเป็นเหล็กพบว่ามีปริมาณการเกิดไฮโดรเจนเปอร์ออกไซด์มากกว่าข้ออิเล็กโทรดทองแดงเพียงเล็กน้อยเนื่องจากข้ออิเล็กโทรดเหล็กมีความสามารถในการแตกตัวเป็นโลหะไฮอนได้เช่นกันดังสมการที่ 4.3 แต่อาจเกิดได้น้อยกว่าทองแดง เพราะสภาวะการแตกตัวของเหล็กนั้นสามารถทำได้ดีในสารละลายที่เป็นกรดจึงสามารถแตกตัวเป็นโลหะไฮอนได้น้อยและเกิดปฏิกิริยา芬น์ตันได้น้อยกว่าทองแดง ซึ่งโลหะไฮอนของเหล็กสามารถเข้าทำการแตกตัวสารไฮโดรเจนเปอร์ออกไซด์ที่เกิดขึ้นในระบบได้ดังนี้ [31]



ซึ่งจากการทดลองดังกล่าวสามารถบอกได้ว่าข้ออิเล็กโทรดทองแดงและเหล็กสามารถนำมาใช้กับระบบการบำบัดสีย้อมเมทิลีนบลูได้ดีและมีประสิทธิภาพในการแตกตัวไฮโดรเจนเปอร์ออกไซด์ด้วยกระบวนการปฏิกิริยา芬น์ตันโดยเฉพาะข้ออิเล็กโทรดทองแดง [32] และยังสนับสนุนผลของประสิทธิภาพในการสลายสีย้อมเมทิลีนบลูโดยใช้ข้ออิเล็กโทรดทองแดงได้อีกด้วย ดังนั้นข้ออิเล็กโทรดที่เหมาะสมที่สุดสำหรับการนำมาใช้ในกระบวนการสลายสีย้อมเมทิลีนบลูคือข้ออิเล็กโทรดทองแดง

#### 4.2.2 ผลของความถี่พลาสma

จากการศึกษาร้อยละการย่อยสลายสีเย้อมเมทิลีนบลูที่ความเข้มข้น 125 มิลลิกรัมต่อลิตร ด้วยข้ออิเล็กโทรดทองแดงที่สภาวะความถี่พลาสmaต่างกัน ดังแสดงในรูปที่ 4.7



รูปที่ 4.7 ร้อยละการย่อยสลายเมทิลีนบลูเข้มข้น 125 มิลลิกรัมต่อลิตร ด้วยข้ออิเล็กโทรดทองแดง ที่ความถี่ต่างกัน

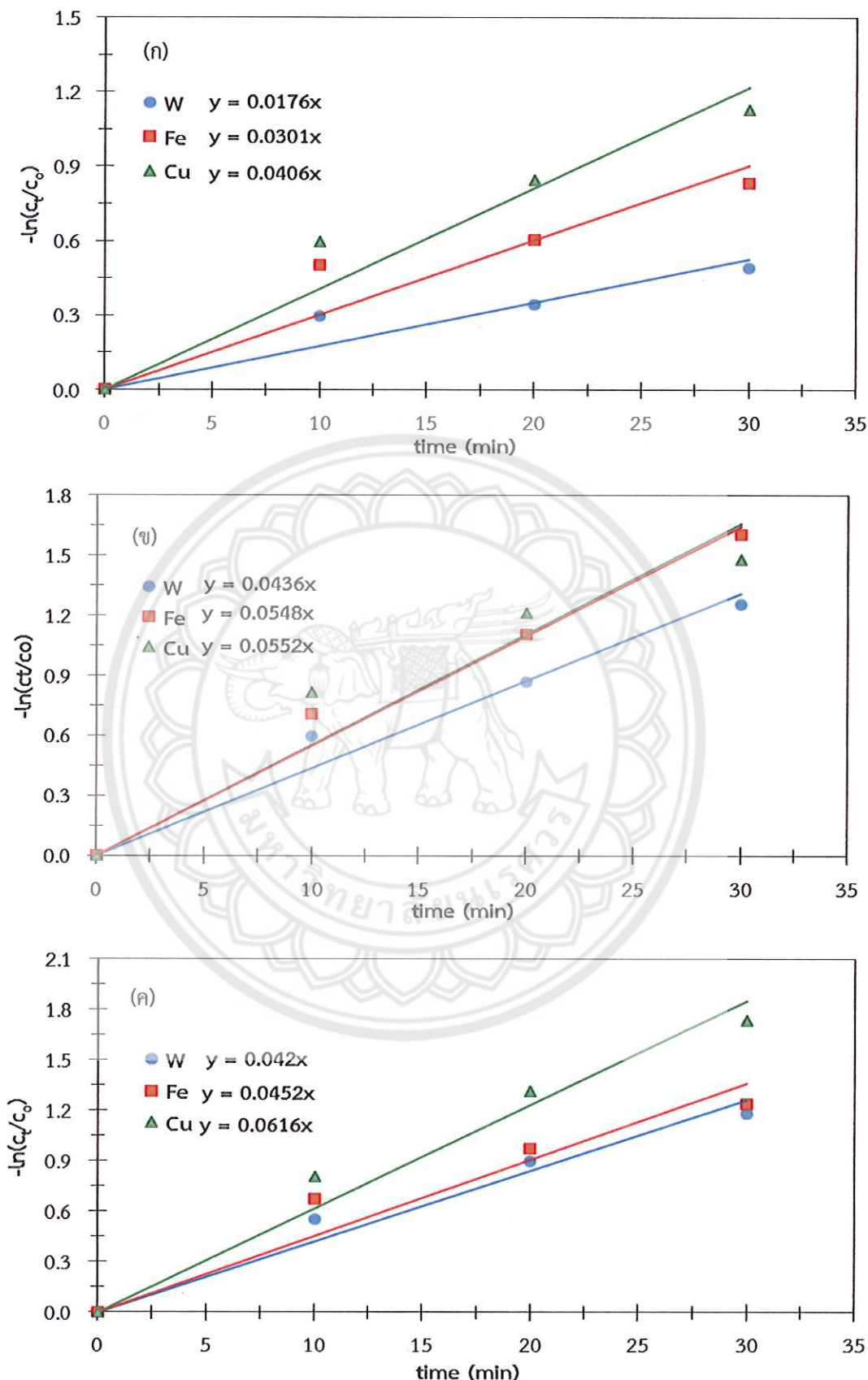
พบว่าการเพิ่มความถี่พลาสma ส่งผลให้อัตราการสลายตัวของสีเย้อมเมทิลีนบลูดีขึ้นซึ่งสังเกตได้จากความชันของกราฟทุกความถี่ที่ช่วงเวลา 0 ถึง 30 นาที และประสิทธิภาพในการสลายตัวของสีเย้อมเมทิลีนบลูมีค่าใกล้เคียงกันโดยการสลายตัวจะเริ่มเข้าสู่สมดุลการสลายตัวที่ช่วงเวลา 30 นาที ในทุกความถี่พลาสma เนื่องจากการเพิ่มความถี่พลาสma ส่งผลให้เกิดพลังงานที่มากขึ้น ซึ่งส่งผลต่อการเกิดหมุนเวียนไออกซิลที่ทำให้เกิดการสลายสีเย้อมเมทิลีนบลูเพิ่มสูงขึ้น อย่างไรก็ตามการเพิ่มความถี่พลาสma ถึงสองเท่าไม่ส่งผลทำให้อัตราการสลายตัวของสีเย้อมเมทิลีนบลูเพิ่มขึ้นสองเท่า แต่ปริมาณของสีเย้อมเมทิลีนบลูไม่ได้เพิ่มสูงขึ้นตามไปด้วย กระบวนการการสลายตัวจึงไม่เปลี่ยนแปลงไปจากเดิมมากนักเพียงแต่การสลายตัวในช่วงเวลาที่ 0 ถึง 30 นาทีที่ความถี่พลาสma สูงขึ้นอาจเกิดปริมาณของหมุนเวียนไออกซิลที่มากขึ้นจากการแตกตัวของโลหะไอออนที่มากขึ้นส่งผลให้เมทิลีนบลูเกิดการสลายตัวไปได้หมดเร็วกว่าการสลายตัวในสภาวะความถี่พลาสma ต่ำกว่าเล็กน้อย แต่อย่างไรก็ตามการดำเนินการสลายตัวสีเย้อมเมทิลีนบลูที่ความถี่ 15 กิโลเฮิรตซ์นั้นเพียงพอต่อกระบวนการสลายสีเย้อมเมทิลีนบลูเนื่องจากได้ประสิทธิภาพในการสลายตัวใกล้เคียงกันและเริ่มเข้าสู่สมดุลการสลายตัวที่เวลาเท่ากัน อีกทั้งยังใช้พลังงานน้อยกว่าถึงสองเท่าซึ่งประหยัดกว่าและไม่เป็นการสิ้นเปลืองพลังงาน

### 4.3 ผลกระทบจากการย่อยสลายของเมทิลีนบลู

จากการศึกษาผลกระทบจากการย่อยสลายเมทิลีนบลูที่ความเข้มข้นแตกต่างกันด้วยข้าวอเล็กโตรดทั้งสามชนิดคือ ทั้งสแตน เหล็ก และทองแดง ที่ความถี่พลาสม่า 15 กิโลเฮิรตซ์ ดังแสดงในรูปที่ 4.8 พบว่าผลกระทบจากการย่อยสลายเมทิลีนบลูด้วยกระบวนการพลาสมาวัสดุภาคของเหลวเป็นไปตามอันดับการเกิดปฏิกิริยาอันดับหนึ่งดังสมการที่ 4.5 [33]

$$-\ln(C_t/C_0) = kt \quad (4.5)$$

เมื่อเปรียบเทียบผลของข้าวอเล็กโตรดทั้งสามชนิด ซึ่งสังเกตได้จากค่าคงที่อัตราการย่อยสลาย ( $k$ ) หรือค่าความชันดังตารางที่ 4.3 โดยเมื่อเปรียบเทียบที่ความแตกต่างของพบว่าข้าวอเล็กโตรดทองแดงมีค่าคงที่อัตราการย่อยสลายสูงที่สุดทุกความเข้มข้นของสีย้อมเมทิลีนบลู ดังที่ความเข้มข้นของเมทิลีนบลู 75 มิลลิกรัมต่อลิตร ข้าวอเล็กโตรดทองแดงมีค่าคงที่อัตราการย่อยสลายเท่ากับ 0.0406 ต่อนาที ที่ความเข้มข้นของเมทิลีนบลู 100 มิลลิกรัมต่อลิตร มีค่าคงที่อัตราการย่อยสลายเท่ากับ 0.0552 ต่อนาที และที่ความเข้มข้นของเมทิลีนบลู 125 มิลลิกรัมต่อลิตร มีค่าคงที่อัตราการย่อยสลายเท่ากับ 0.0616 ต่อนาที และเมื่อเปรียบเทียบที่ความเข้มข้นของเมทิลีนบลู 125 มิลลิกรัมต่อลิตร ที่ชนิดของข้าวอเล็กโตรดต่างกันพบว่าข้าวอเล็กโตรดทั้งสแตนมีค่าคงที่อัตราการย่อยสลายเท่ากับ 0.0420 ต่อนาที ข้าวอเล็กโตรดเหล็กมีค่าคงที่อัตราการย่อยสลายเท่ากับ 0.0452 ต่อนาที และข้าวอเล็กโตรดทองแดงมีค่าคงที่อัตราการย่อยสลายเท่ากับ 0.0616 ต่อนาที ซึ่งพบว่าข้าวอเล็กโตรดทองแดงมีผลกระทบการย่อยสลายดีที่สูงสุดเมื่อเปรียบเทียบกับ ทั้งสแตน และเหล็ก เนื่องจากทองแดงมีความเหมาะสมกับระบบบำบัดที่มีเมทิลีนบลูปนเปื้อนสามารถแตกตัวให้เป็นโลหะไอออนได้มากขึ้นและเกิดหมู่ร่วงไว้ไซดรอกซิลามากขึ้นจึงทำให้สามารถย่อยสลายเมทิลีนบลูได้ดีซึ่งเป็นผลที่สนับสนุนการศึกษาร้อยละการย่อยสลายสีย้อม และเมื่อเพิ่มความถี่พลาสม่าเพิ่มสูงขึ้นในการทดลองกับข้าวอเล็กโตรดทองแดงที่ความเข้มข้นของสารละลายเมทิลีนบลูที่ 125 มิลลิกรัมต่อลิตร ซึ่งพบว่าการเพิ่มความถี่พลาสม่าส่งผลให้ค่าคงที่อัตราการย่อยสลายเพิ่มขึ้นจาก 0.0616 ต่อนาที เป็น 0.0842 ต่อนาที ซึ่งเป็นผลที่สนับสนุนกับการศึกษาการเพิ่มความถี่พลาสม่า ดังนั้นจากการศึกษาผลกระทบจากการย่อยสลายเมทิลีนบลูจึงสามารถบอกได้ว่าความสามารถของทองแดงที่สามารถเร่งปฏิกิริยาการแตกตัวของไฮโดรเจนเปอร์ออกไซด์ให้เป็นหมู่ร่วงไว้หรือไซดรอกซิลเรดิคอลได้เมื่อเปรียบเทียบกับทั้งสแตนและเหล็ก และอัตราการย่อยสลายตัวของเมทิลีนบลูที่ดีที่สุด



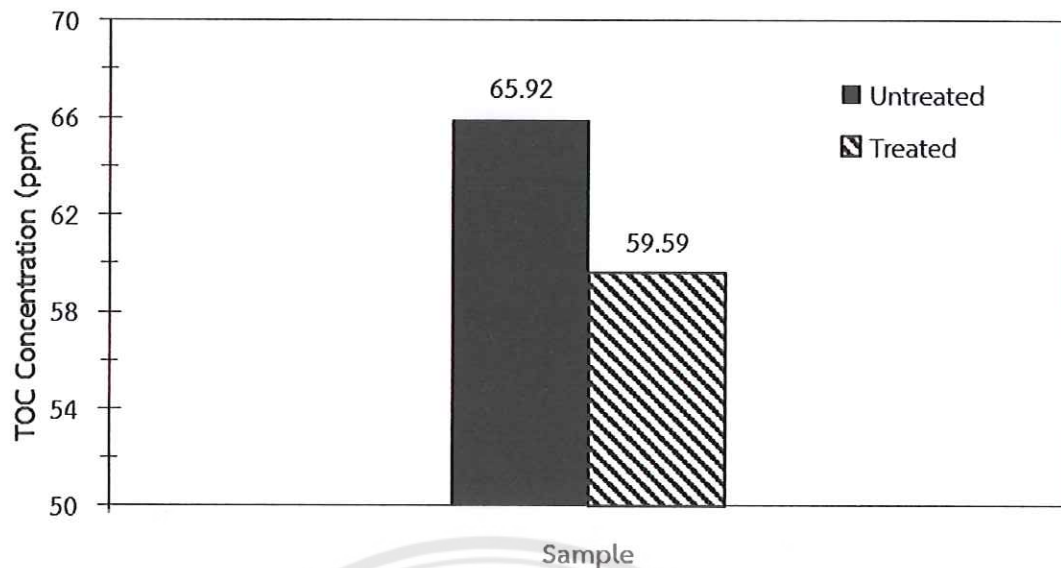
รูปที่ 4.8 จลนพลศาสตร์การย่อยสลายเมทิลีนบลูความเข้มข้นสูงด้วยข้าวอิเล็กโทรดต่างชนิด  
ที่ความถี่พลาสม่า 15 กิโลเฮิรตซ์ ก) 75 มิลลิกรัมต่อลิตร ข) 100 มิลลิกรัมต่อลิตร  
และ ค) 125 มิลลิกรัมต่อลิตร

**ตารางที่ 4.3 ค่าคงที่ของการสลายตัวของเมทิลีนบลูด้วยกระบวนการพลาสมาวัฏภาคของเหลวที่ความถี่พลาasma 15 กิโลเอิร์ตซ์**

ความเข้มข้นของสารละลาย เมทิลีนบลู (มิลลิกรัมต่อลิตร)	ขั้วอิเล็กโทรด	k (min <sup>-1</sup> )	R <sup>2</sup>
75	หั้งสเตน	0.0176	0.8734
	เหล็ก	0.0301	0.8797
	ทองแดง	0.0406	0.9342
100	หั้งสเตน	0.0436	0.9661
	เหล็ก	0.0548	0.9109
	ทองแดง	0.0552	0.9802
125	หั้งสเตน	0.0420	0.9635
	เหล็ก	0.0452	0.9191
	ทองแดง	0.0616	0.9659
125	ทองแดง (30 kHz)	0.0842	0.9882

#### 4.4 การตรวจวัดปริมาณคาร์บอนด้วยเทคนิค TOC

จากการศึกษาปริมาณการเกิดคาร์บอนในสารละลายเมทิลีนบลูที่ความเข้มข้น 125 มิลลิกรัมต่อลิตร โดยใช้ขั้วอิเล็กโทรดทองแดง ที่ความถี่พลาasma 15 กิโลเอิร์ตซ์ ที่เวลา 0-60 นาที ด้วยเทคนิค TOC พบว่าสารละลายเมทิลีนบลูที่ผ่านการบำบัดด้วยกระบวนการพลาสมาวัฏภาคของเหลวมีปริมาณคาร์บอนลดลง ดังแสดงในรูปที่ 4.9 ซึ่งก่อนการบำบัดพบปริมาณคาร์บอนอยู่ที่ 65.92 มิลลิกรัมต่อลิตร แต่เมื่อนำไปผ่านการบำบัด 60 นาทีพบว่าปริมาณคาร์บอนลดลงเหลือเพียง 59.59 มิลลิกรัมต่อลิตร เนื่องจากการป้อนพลังงานเข้าสู่ระบบทำให้เกิดเป็นพลังงานพลาasma เพื่อทำการสลายสารพิษที่เกิดขึ้นในระบบ ซึ่งพลังงานดังกล่าวจะทำการสลายองค์ประกอบของสารที่มีความเป็นพิษออกจึงส่งผลให้สารละลายเมทิลีนบลูที่ผ่านการบำบัดนั้นมีปริมาณคาร์บอนลดลง โดยเมื่อเปรียบเทียบเป็นร้อยละการมีอยู่ของปริมาณคาร์บอนพบว่ามีปริมาณคาร์บอนที่เหลืออยู่ร้อยละ 90.4 หลังผ่านกระบวนการบำบัด ดังนั้นกระบวนการพลาสมาวัฏภาคของเหลวมีความสามารถในการลดปริมาณคาร์บอนได้ดี



รูปที่ 4.9 การเปรียบเทียบปริมาณคาร์บอนก่อนและหลังทำการบำบัด

#### 4.5 ผลของการเปลี่ยนแปลงสีข้อมจากการบำบัดด้วยกระบวนการพลาสมาวัตถุภาคของเหลว

จากการศึกษาการเปลี่ยนแปลงสีข้อมจากการบำบัดด้วยกระบวนการพลาสมาวัตถุภาคของเหลวที่ความเข้มข้นแตกต่างกัน คือ ที่ช่วงความเข้มข้นต่ำ ที่ 0.5 1.0 และ 1.5 มิลลิกรัมต่อลิตร และที่ช่วงความเข้มข้นสูงที่ 75 100 และ 125 มิลลิกรัมต่อลิตร ด้วยข้าวอิเล็ก trod ทั้งสามชนิด คือ หั้งสเตน เหล็ก และทองแดง ซึ่งพบว่าเมื่อทำการบำบัดสารละลายเมทิลีนบลูที่ความเข้มข้นต่ำ พบว่าเกิดการเปลี่ยนแปลงสีจากสีฟ้าอ่อนไปเป็นสีเขียวอ่อนที่ช่วงเวลา 20 ถึง 30 นาที และจึงเปลี่ยนเป็นสีสีภายนในเวลาไม่ถึง 60 นาที ดังรูป 4.10 และเมื่อทำการบำบัดสารละลายเมทิลีนบลูที่ความเข้มข้นสูงพบว่าเกิดการเปลี่ยนแปลงเป็นสีฟ้าที่เข้มขึ้น ดังรูป 4.11 เนื่องจากกระบวนการกำจัดสีของสารนั้น เป็นกระบวนการที่เกี่ยวข้องกับรังสียูวีที่เกิดจากแสงหรือกระบวนการไฟโตเคตะไลส์ที่เป็นตัวแปรสำคัญในการเข้าทำปฏิกิริยากับสารให้เกิดการสลายตัวของสีออกไป ซึ่งที่ความเข้มข้นต่ำแสงยูวีสามารถผ่านสารละลายได้จ่ายจึงเกิดการกำจัดสีของสารละลายได้ดี แต่เมื่อสารละลายมีความเข้มข้นสูงสีข้อมจะมีสีเข้มขึ้นทำให้แสงยูวีส่องผ่านได้น้อยลง จึงเกิดการกำจัดสีได้น้อยลง [34] และอาจเกิดจากสารบางตัวที่เกิดขึ้นภายในระบบการสลายสีข้อมด้วยกระบวนการพลาสมาวัตถุภาคของเหลวอย่างเช่น คลอร์ไรด์ที่หลุดออกมานอกจากไม่เลกุลของสีข้อมเมทิลีนบลู ซึ่งการเกิดคลอร์ไรด์ที่เพิ่มขึ้นส่งผลให้เกิดการขัดขวางการกำจัดสีของสารละลายได้ [34] ดังนั้นการเพิ่มความเข้มข้นของสารละลาย เมทิลีนบลูเพิ่มสูงขึ้นส่งผลให้สีเข้มขึ้นจนแสงไม่สามารถส่องผ่านและเกิดการกำจัดสีได้และชนิดของข้าวอิเล็ก trod ไม่มีผลต่อการเปลี่ยนแปลงสีของสารละลาย



รูปที่ 4.10 ความเข้มข้นที่ 1.5 มิลลิกรัมต่อลิตร ของข้ออิเล็กโทรดทองแดง



รูปที่ 4.11 ความเข้มข้นที่ 125 มิลลิกรัมต่อลิตร ของข้ออิเล็กโทรดทองแดง

## บทที่ 5

### บทสรุปและข้อเสนอแนะ

#### 5.1 บทสรุป

จากการศึกษาการย่อยสลายเมทิลีนบูลูด้วยกระบวนการพลาスマวัฏภากของเหลวด้วยข้าวอิเล็กโทรดหั้ง 3 ชนิด ได้แก่ หั้งสเตน เหล็กและทองแดง พบร่วมกับข้าวอิเล็กโทรดชนิดทองแดงสามารถให้ร้อยละการย่อยสลายเมทิลีนบูลูได้ดีที่สุด 92.41 ภายในเวลา 60 นาที และเมื่อเพิ่มความถี่ให้สูงขึ้น ส่งผลให้อัตราการสลายตัวของเมทิลีนบูลูเพิ่มสูงขึ้น แต่ความถี่พลาasma ที่เหมาะสมกับการสลายสีเย้อม ด้วยกระบวนการพลาスマวัฏภากของเหลวคือ 15 กิโลเอิร์ตซ์ และเมื่อวัดค่าไฮโดรเจนเปอร์ออกไซด์ พบร่วมกับข้าวอิเล็กโทรดชนิดทองแดงให้ค่าไฮโดรเจนเปอร์ออกไซด์น้อยที่สุดซึ่งปัจจุบันถือเป็นการสลายตัวที่ดีของเมทิลีนบูลู และเมื่อนำไปตรวจวัดหาค่า TOC พบร่วมสารละลายเมทิลีนบูลูได้รับการบำบัดส่งผลให้ปริมาณคาร์บอนลดลงจากการสลายตัวด้วยพลังงานพลาasma และเมื่อศึกษาจนพบสาสตร์ของการย่อยสลายเมทิลีนบูลู พบร่วมการย่อยสลายเมทิลีนบูลูโดยข้าวอิเล็กโทรดหั้ง 3 ชนิดนี้เป็นปฏิกิริยาอันดับหนึ่ง และอิเล็กโทรดทองแดงให้อัตราการสลายตัวของเมทิลีนบูลูที่สุดโดยมีค่าคงที่อัตราการสลายสีเยอมเท่ากับ 0.0616 ต่อนาที และกระบวนการพลาスマวัฏภากของเหลวยังช่วยลดความเข้มของสีได้ดีที่ช่วงความเข้มข้นต่ำของสารละลายเมทิลีนบูลู

#### 5.2 ข้อเสนอแนะ

5.2.1 ควรมีการทดลองที่ความเข้มข้นของเมทิลีนบูลูเพิ่มสูงขึ้นเพื่อประสิทธิภาพของระบบที่มากขึ้น

5.2.2 ควรมีการดัดแปลงเครื่องปฏิกรณ์ให้มีขนาดใหญ่มากขึ้นเพื่อที่จะได้ลองทำการบำบัดปริมาณสารได้มากขึ้น

5.2.3 ในขั้นตอนการวิเคราะห์ควรมีการตรวจสอบค่าประกอบของสารอินทรีย์ต่างๆด้วยเทคนิค High pressure liquid chromatography (HPLC) เพื่อบ่งบอกถึงสภาพความเป็นพิษหลังการบำบัดด้วยกระบวนการพลาスマวัฏภากของเหลว

## เอกสารอ้างอิง

- [1] W. Chooaksorn, Color Removal Technology in Industrial Wastewater, *Burapha Sci. J.* 17 (2012) 1 : 181-191
- [2] M. Tichonovas, E. Krugly, and V. Racys, Degradation of various textile dyes as wastewater pollutants under dielectric barrier discharge plasma treatment, *Chemical Engineering Journal*, (2013) 9-19
- [3] Y. Jin, Y. Wu, J.Cao, and Y. Wu, Optimizing decolorization of Methylene Blue and Methyl Orange dye by pulsed discharged plasma in water using response surface methodology, *Journal of the Taiwan Institute of Chemical Engineers* 45 (2014) 589–595
- [4] O. Takai, Solution plasma processing ( SPP ), *Pure Appl. Chem*, 2008;80:2003-2011
- [5] เมทิลีนบลู [ออนไลน์] เข้าถึงได้จาก [www.chemdat.info](http://www.chemdat.info),2014
- [6] advanced oxidation process [ออนไลน์] เข้าถึงได้จาก [www.archive.lib.cmu.ac.th/full/T-2551](http://www.archive.lib.cmu.ac.th/full/T-2551)
- [7] ปฏิกิริยาเฟนตัน [ออนไลน์] เข้าถึงได้จาก [www.h2o2.com/applications/industrial](http://www.h2o2.com/applications/industrial)
- [8] Z. Juanhua, Z. Beixiao, and Z. Jingqiang, Effect of phoric acid pretreatment on enzymatic hydrolysis of microcrystalline cellulose, *Biotechnology Advances*, 2010;28:613-619
- [9] G. Miller, Use of Dinitrosalicylic Acid Reagent for Determination of Reducing Sugar, *Analytical Chemistry*, 1959
- [10] C. Yang, Z. Shen, and G. Yu, Effect and aftereffect of radiation pretreatment on enzymatic hydrolysis of wheat straw, *Bioresource Technology*, 2008;99:6240-6245

- [11] I. Prasertsung, S. Damrongsakkul, and N. Saito, Degradation of  $\beta$ -chitosan by solution plasma process ( SPP ), *Polymer Degradation and Stability*, 2013;98:2089-2093
- [12] O. Pornsunthorntawee, Depolymerization of chitosan-metal complexes via a solution plasmatechnique, *Carbohydrate Polymer*, 2014;102:504-512
- [13] นางนงก้าส ใจชวิติกุล, คู่มือข้อมูลเครื่องมือวิเคราะห์ชั้นสูงศูนย์เครื่องมือวิทยาศาสตร์และเทคโนโลยีมหาวิทยาลัยสุรนารี, 2014
- [14] UV-Vis [อ่อนไลน์] เข้าถึงได้จาก <http://glasswarechemical.com/scientific-instrument>, 2014
- [15] Anto Tri Sugiarto, S. Ito, and T. Ohshima, Oxidative decoloration of dyes by pulsed discharge plasma in water, *Journal of Electrostatics*, (2003) 135–145
- [16] C. Baiocchia, M. C. Brussino, E. Pramauro, A. B. Prevot, L. Palmisano, and G. Marc`i, Characterization of methyl orange and its photocatalytic degradation products by HPLC/UV-VIS diode array and atmospheric pressure ionization quadrupole ion trap mass spectrometry, *International Journal of Mass Spectrometry* 214 (2002) 247–256
- [17] F. Huang, L. Chen, and H. Wang, Analysis of the degradation mechanism of methylene blue by atmospheric pressure dielectric barrier discharge plasma, *Chemical Engineering Journal*, (2010) 250–256
- [18] P. Manoj Kumar Reddy, B. Rama Raju, and J. Karuppiah, Degradation and mineralization of methylene blue by dielectric barrier discharge non-thermal plasma reactor, *Chemical Engineering Journal*, (2013) 41–47
- [19] B. Jiang, J. Zheng, and Q. Liu, Degradation of azo dye using non-thermal plasma advanced oxidation process in a circulatory airtight reactor system, *Chemical Engineering Journal*, (2012) 32–39

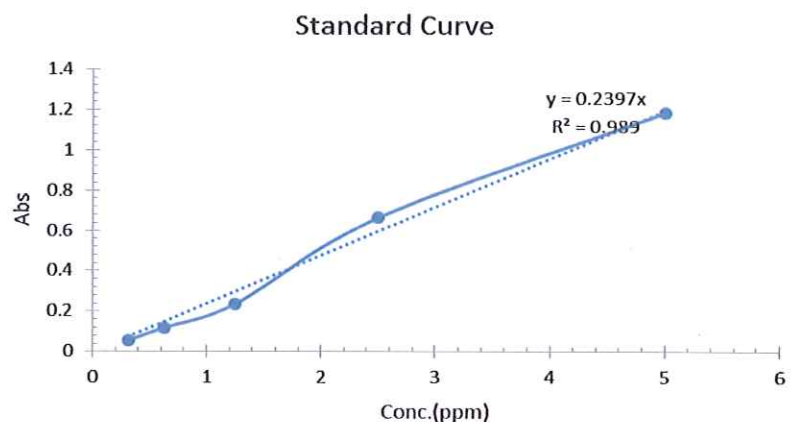
- [20] B. M. Cadorin, V. Z. Baldissarelli, and R. Geremias, Pyrite-enhanced methylene blue degradation in non-thermal plasma water treatment reactor, *Journal of Hazardous Materials*, (2012) 55– 62
- [21] X. Luo, S. Zhang, and X. Lin, New insights on degradation of methylene blue using thermocatalytic reactions catalyzed by low-temperature excitation, *Journal of Hazardous Materials*, (2013) 112– 121
- [22] Q. Wang, S. Tian, and J. Long, Use of Fe(II)Fe(III)-LDHs prepared by co-precipitation method in aheterogeneous-Fenton process for degradation of Methylene Blue, *Catalysis Today*, (2014) 41–48
- [23] P. Baroch, V. Anita, N. Saito, and O. Takai, Bipolar plused electrical discharge for decomposition of organic compounds in water, *J. Electrostat.* 66 (2008) 294-299.
- [24] A. Watthanaphanit, Y.K. Heo, and N. Saito, Influence of the discharge time of solution plasma process on the formation of gold nanoparticles in alginate matrix, *J. Taiwan Inst. Chem. E.* 45 (2014) 3099-3103.
- [25] R.K. Tepe, T. Jacksier, and R.M. Barnes, Atomic emission of anhydrous hydrogen bromide: spectra from 200 to 900 nm by sealed inductively coupled plasma-atomic emission spectroscopy, *Spectrochim. Acta B.* 52 (1997) 2103-2113.
- [26] H. Sarahney, X. Mao, and A.N. Alshawabkeha, Role of iron anode oxidation on transformation of chromium by Electrolysis, *Electrochim Acta.* 86 (2012) 96-101.
- [27] L. Chandana, P. Manoj Kumar Reddy, and Ch. Subrahmanyam, Atmospheric pressure non-thermal plasma jet for the degradation of methylene blue in aqueous medium. *Chemical Engineering Journal in press* (2015).
- [28] กองกพ ยศแพง และคณะ, การกำจัดสีเมืองเมทิลีนบลูโดยใช้ปฏิกิริยาฟอโตแคต้าไลซิส และตัวเร่งปฏิกิริยาไทยเนียมไดออกไซด์ร่วมกับคาร์บอน, 2558

- [29] L. C. Friedrich, C. L. Silva Zanta, A. Machulek, V. O. Silva, and F. H. Quina, Interference of inorganic ions on phenol degradation by Fenton reaction, *Sci. Agric.* 69 (2012) 347-351.
- [30] Czechowska-Biskup R., Arosinska D., Rokita B., Ulanski P., and Rosiak J.M. Determination of degree of deacetylation of chitosan comparision of methods. Progress on chemistry and application of chitin and its derivatives 2012; 72: 5-20.
- [31] L. Wang and X. Jiang, Unusual catalytic effects of iron salts on phenol degradation by glow discharge plasma in aqueous solution, *J. Hazard. Mater.* 161 (2009) 926-932.
- [32] J. Kang, O.L. Li, and Saito, Synthesis of structure-controlled carbon nano spheres by solution plasma process, *Carbon* 60 (2013) 293-298.
- [33] K.M. Parida, N. Baliarsingh, B. Sairam Patra, and J. Das, Copperphthalocyanine immobilized Zn/Al LDH as photocatalyst under solar radiation for decolorization of methylene blue, *Journal of Molecular Catalysis A: Chemical* 267 (2007) 202–208



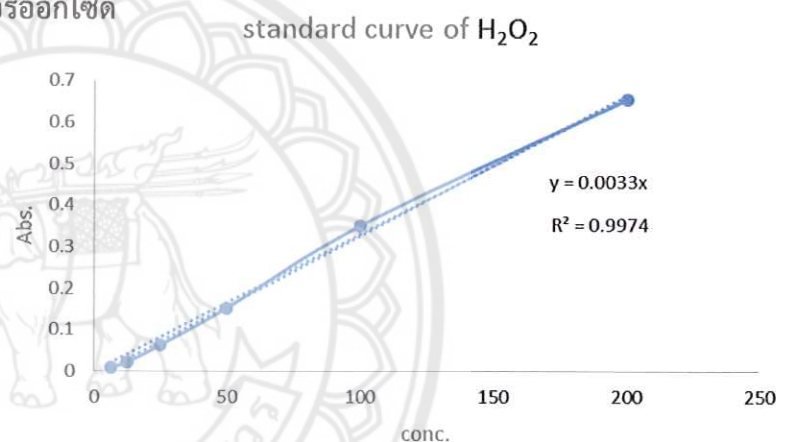
### ก.1 กราฟมาตรฐานของสารละลายนมทีลีนบลู

Conc. (ppm)	Abs
0.3125	0.056
0.625	0.118
1.25	0.236
2.5	0.665
5	1.187



### ก.2 กราฟมาตรฐานของไฮโดรเจนเปอร์อ๊อกไซด์

Conc. (ppm)	abs
6.25	0.009
12.5	0.022
25	0.063
50	0.152
100	0.35
200	0.655



### ก.3 ผลข้อมูลการสลายสีเยื่อมเมทีลีนบลูด้วยกระบวนการพลasma วัฏภายนอกของเหลว

Solution : MB 0.5 ppm

Pulse width : 3

Conductivity : 1002  $\mu$ S/cm

Electrode : W

REP SET : 15 kHz

Time : 60 min

Voltage : 2

Time	Abs	Conc. (ppm)	Temp	pH	%degrade
0	0.082	0.5000	24.2	11.52	0.0000
10	0.059	0.2461	52	10.41	50.7718
20	0.04	0.1669	45.6	10.75	66.6249
30	0.02	0.0834	48.7	10.56	83.3125
40	0.014	0.0584	53.8	10.39	88.3187
50	0.013	0.0542	59.4	10.3	89.1531
60	0.012	0.0501	52.1	10.42	89.9875

Solution : MB 0.5 ppm

Pulse width : 3

Conductivity : 1002  $\mu\text{S}/\text{cm}$ 

Electrode : Fe

REP SET : 15 kHz

Time : 60 min

Voltage : 2

Time	Abs	Conc. (ppm)	Temp	pH	%degrade
0	0.071	0.5000	25.6	10.7	0.0000
10	0.051	0.2128	41.7	10.63	57.4468
20	0.034	0.1418	53.7	10.57	71.6312
30	0.031	0.1293	57.3	10.6	74.1343
40	0.018	0.0751	56.9	10.51	84.9812
50	0.021	0.0876	60.7	10.4	82.4781
60	0.028	0.1168	58.6	10.46	76.6375

Solution : MB 0.5 ppm

Pulse width : 3

Conductivity : 1002  $\mu\text{S}/\text{cm}$ 

Electrode : Cu

REP SET : 15 kHz

Time : 60 min

Voltage : 2

Time	Abs	Conc. (ppm)	Temp	pH	%degrade
0	0.075	0.5000	26	10.67	0.0000
10	0.054	0.2253	54	10.63	54.9437
20	0.042	0.1752	57.4	10.6	64.9562
30	0.031	0.1293	45.3	10.84	74.1343
40	0.03	0.1252	51.2	10.73	74.9687
50	0.023	0.0960	37.8	11.08	80.8093
60	0.023	0.0960	39.5	11	80.8093

Solution : MB 1.0 ppm

Pulse width : 3

Conductivity : 1020  $\mu\text{S}/\text{cm}$ 

Electrode : W

REP SET : 15 kHz

Time : 60 min

Voltage : 2

Time	Abs	Conc. (ppm)	Temp	pH	%degrade
0	0.102	1.0000	25.8	10.6	0.0000
10	0.067	0.2795	49.6	10.73	72.0484
20	0.044	0.1836	55.3	10.54	81.6437
30	0.024	0.1001	66.6	10.35	89.9875
40	0.012	0.0501	57.3	10.48	94.9937
50	0.008	0.0334	58.5	10.46	96.6625
60	0.007	0.0292	58.5	10.34	97.0797

Solution : MB 1.0 ppm

Pulse width : 3

Conductivity : 1020  $\mu\text{S}/\text{cm}$ 

Electrode : Fe

REP SET : 15 kHz

Time : 60 min

Voltage : 2

Time	Abs	Conc. (ppm)	Temp	pH	%degrade
0	0.122	1.0000	25.8	10.6	0.0000
10	0.08	0.3338	55.2	10.73	66.6249
20	0.053	0.2211	64.3	10.35	77.8890
30	0.042	0.1752	60.3	10.49	82.4781
40	0.028	0.1168	58.6	10.43	88.3187
50	0.026	0.1085	62.6	10.37	89.1531
60	0.024	0.1001	62.9	10.2	89.9875

Solution : MB 1.0 ppm

Pulse width : 3

Conductivity : 1020  $\mu\text{S}/\text{cm}$ 

Electrode : Cu

REP SET : 15 kHz

Time : 60 min

Voltage : 2

Time	Abs	Conc. (ppm)	Temp	pH	%degrade
0	0.101	1.0000	27	10.91	0.0000
10	0.061	0.2545	34.3	10.86	74.5515
20	0.039	0.1627	35.4	11.02	83.7297
30	0.037	0.1544	38.9	10.79	84.5640
40	0.017	0.0709	39.3	10.91	92.9078
50	0.004	0.0167	38.5	10.8	98.3312
60	0.001	0.0042	40.8	10.79	99.5828

Solution : MB 1.5 ppm

Pulse width : 3

Conductivity : 1003  $\mu\text{S}/\text{cm}$ 

Electrode : W

REP SET : 15 kHz

Time : 60 min

Voltage : 2

Time	Abs	Conc. (ppm)	Temp	pH	%degrade
0	0.217	1.5000	26	10.87	0.0000
10	0.163	0.6800	50	10.53	54.6656
20	0.094	0.3922	55.3	10.55	73.8562
30	0.084	0.3504	63.1	10.38	76.6375
40	0.035	0.1460	56.3	10.43	90.2656
50	0.031	0.1293	52.9	10.51	91.3781
60	0.025	0.1043	51.3	10.53	93.0469

Solution : MB 1.5 ppm                              Pulse width : 3

Conductivity : 1003 µS/cm                      Electrode : Fe

REP SET : 15 kHz                                  Time : 60 min

Voltage : 2

Time	Abs	Conc. (ppm)	Temp	pH	%degrade
0	0.221	1.5000	25.8	11.01	0.0000
10	0.162	0.6758	54.2	10.71	54.9437
20	0.1	0.4172	55.4	10.44	72.1875
30	0.075	0.3129	61.9	10.41	79.1406
40	0.051	0.2128	56.1	10.44	85.8156
50	0.049	0.2044	60.9	10.34	86.3719
60	0.034	0.1418	55.4	10.32	90.5437

Solution : MB 1.5 ppm                              Pulse width : 3

Conductivity : 1003 µS/cm                      Electrode : Cu

REP SET : 15 kHz                                  Time : 60 min

Voltage : 2

Time	Abs	Conc. (ppm)	Temp	pH	%degrade
0	0.197	1.5000	25.7	10.96	0.0000
10	0.145	0.6049	32.4	11.07	59.6718
20	0.133	0.5549	38.3	10.91	63.0093
30	0.113	0.4714	38.8	10.8	68.5718
40	0.092	0.3838	37.8	10.89	74.4125
50	0.084	0.3504	41.4	10.7	76.6375
60	0.061	0.2545	36.9	10.77	83.0343

Solution : MB 75 ppm                              Pulse width : 3

Conductivity : 1005 µS/cm                      Electrode : W

REP SET : 15 kHz                                  Time : 60 min

Voltage : 2    Dilute : 15x

Time	Abs	Conc. (ppm)	Real Conc. (ppm)	%degrade
0	0.982	4.0968	75.0000	0.0000
10	0.89	3.7130	55.6946	25.7405
20	0.849	3.5419	53.1289	29.1615
30	0.733	3.0580	45.8698	38.8402
40	0.607	2.5323	37.9850	49.3534
50	0.474	1.9775	29.6621	60.4506
60	0.443	1.8481	27.7222	63.0371

Solution : MB 75 ppm                                  Pulse width : 3

Conductivity : 1005  $\mu\text{S}/\text{cm}$                                   Electrode : Fe

REP SET : 15 kHz    Time : 60 min

Voltage : 2    Dilute : 15x

Time	Abs	Conc. (ppm)	Real Conc. (ppm)	%degrade
0	0.881	3.6754	75.0000	0.0000
10	0.726	3.0288	45.4318	39.4243
20	0.656	2.7368	41.0513	45.2649
30	0.52	2.1694	32.5407	56.6124
40	0.428	1.7856	26.7835	64.2887
50	0.355	1.4810	22.2153	70.3796
60	0.321	1.3392	20.0876	73.2165

Solution : MB 75 ppm    Pulse width : 3

Conductivity : 1005  $\mu\text{S}/\text{cm}$     Electrode : Cu

REP SET : 15 kHz    Time : 60 min

Voltage : 2    Dilute : 15x

Time	Abs	Conc. (ppm)	Real Conc. (ppm)	%degrade
0	0.864	3.6045	75.0000	0.0000
10	0.659	2.7493	41.2390	45.0146
20	0.515	2.1485	32.2278	57.0296
30	0.387	1.6145	24.2178	67.7096
40	0.228	0.9512	14.2678	80.9762
50	0.155	0.6466	9.6996	87.0672
60	0.124	0.5173	7.7597	89.6537

Solution : MB 100 ppm    Pulse width : 3

Conductivity : 1016  $\mu\text{S}/\text{cm}$     Electrode : W

REP SET : 15 kHz    Time : 60 min

Voltage : 2    Dilute : 20x

Time	Abs	Conc. (ppm)	Real Conc. (ppm)	%degrade
0	0.8	3.3375	100.0000	0.0000
10	0.66	2.7534	55.0688	44.9312
20	0.503	2.0985	41.9691	58.0309
30	0.341	1.4226	28.4522	71.5478
40	0.269	1.1222	22.4447	77.5553
50	0.166	0.6925	13.8506	86.1494
60	0.188	0.7843	15.6863	84.3137

Solution : MB 100 ppm                          Pulse width : 3

Conductivity : 1016  $\mu\text{S}/\text{cm}$                           Electrode : Fe

REP SET : 15 kHz                                  Time : 60 min

Voltage : 2    Dilute : 20x

Time	Abs	Conc. (ppm)	Real Conc. (ppm)	%degrade
0	0.774	3.2290	100.0000	0.0000
10	0.59	2.4614	49.2282	50.7718
20	0.397	1.6562	33.1247	66.8753
30	0.241	1.0054	20.1085	79.8915
40	0.24	1.0013	20.0250	79.9750
50	0.166	0.6925	13.8506	86.1494
60	0.153	0.6383	12.7660	87.2340

Solution : MB 100 ppm                                  Pulse width : 3

Conductivity : 1016  $\mu\text{S}/\text{cm}$                                   Electrode : Cu

REP SET : 15 kHz    Time : 60 min

Voltage : 2    Dilute : 20x

Time	Abs	Conc. (ppm)	Real Conc. (ppm)	%degrade
0	0.745	3.1081	100.0000	0.0000
10	0.531	2.2153	44.3054	55.6946
20	0.357	1.4894	29.7872	70.2128
30	0.273	1.1389	22.7785	77.2215
40	0.194	0.8093	16.1869	83.8131
50	0.121	0.5048	10.0960	89.9040
60	0.105	0.4380	8.7610	91.2390

Solution : MB 125 ppm                                  Pulse width : 3

Conductivity : 1012  $\mu\text{S}/\text{cm}$                                   Electrode : W

REP SET : 15 kHz    Time : 60 min

Voltage : 2    Dilute : 25x

Time	Abs	Conc. (ppm)	Real Conc. (ppm)	%degrade
0	0.919	3.8340	125.0000	0.0000
10	0.688	2.8703	71.7564	42.5949
20	0.489	2.0401	51.0013	59.1990
30	0.369	1.5394	38.4856	69.2115
40	0.283	1.1806	29.5161	76.3872
50	0.233	0.9720	24.3012	80.5590
60	0.189	0.7885	19.7121	84.2303

Solution : MB 125 ppm                      Pulse width : 3

Conductivity : 1012  $\mu\text{S}/\text{cm}$                       Electrode : Fe

REP SET : 15 kHz                              Time : 60 min

Voltage : 2                                      Dilute : 25x

Time	Abs	Conc. (ppm)	Real Conc. (ppm)	%degrade
0	0.802	3.3458	125.0000	0.0000
10	0.61	2.5448	63.6212	49.1030
20	0.453	1.8899	47.2466	62.2028
30	0.348	1.4518	36.2954	70.9637
40	0.303	1.2641	31.6020	74.7184
50	0.246	1.0263	25.6571	79.4743
60	0.232	0.9679	24.1969	80.6425

Solution : MB 125 ppm                              Pulse width : 3

Conductivity : 1012  $\mu\text{S}/\text{cm}$                       Electrode : Cu

REP SET : 15 kHz                                      Time : 60 min

Voltage : 2    Dilute : 25x

Time	Abs	Conc. (ppm)	Real Conc. (ppm)	%degrade
0	0.805	3.3584	125.0000	0.0000
10	0.534	2.2278	55.6946	55.4443
20	0.323	1.3475	33.6879	73.0496
30	0.212	0.8844	22.1110	82.3112
40	0.133	0.5549	13.8715	88.9028
50	0.116	0.4839	12.0985	90.3212
60	0.091	0.3796	9.4910	92.4072

#### 4. ผลข้อมูลการเกิดปฏิกิริยาไฮโดรเจนเปอร์ออกไซด์

Solution : MB 125 ppm                              Pulse width : 3

Conductivity : 998  $\mu\text{S}/\text{cm}$                       Electrode : W

REP SET : 15 kHz                                      Time : 60 min

Voltage : 2

Time	Abs	$\text{H}_2\text{O}_2$
0	0.0000	0.0000
10	0.0300	9.0909
20	0.0390	11.8182
30	0.0940	28.4848
40	0.0960	29.0909
50	0.1210	36.6667
60	0.1480	44.8485

Solution : MB 125 ppm  
 Conductivity : 998  $\mu\text{S}/\text{cm}$   
 REP SET : 15 kHz

Pulse width : 3  
 Electrode : Fe  
 Time : 60 min

Voltage : 2

Time	Abs	$\text{H}_2\text{O}_2$
0	0.0000	0.0000
10	0.0020	0.6061
20	0.0300	9.0909
30	0.0330	10.0000
40	0.0480	14.5455
50	0.0550	16.6667
60	0.0580	17.5758

Solution : MB 125 ppm  
 Conductivity : 998  $\mu\text{S}/\text{cm}$   
 REP SET : 15 kHz

Pulse width : 3  
 Electrode : Cu  
 Time : 60 min

Voltage : 2

Time	Abs	$\text{H}_2\text{O}_2$
0	0.0000	0.0000
10	0.0000	0.0000
20	0.0000	0.0000
30	0.0000	0.0000
40	0.0100	3.0303
50	0.0210	6.3636
60	0.0230	6.9697

## 5. ผลข้อมูลการเปรียบเทียบความถี่พลาสมากับการสลายสีเยื่อเมทิลีนบลู

Solution : MB 125 ppm  
 Conductivity : 1100  $\mu\text{S}/\text{cm}$   
 REP SET : 15 kHz

Pulse width : 3  
 Electrode : Cu  
 Time : 60 min

Voltage : 2

Dilute : 25x

Time	Abs	Conc. (ppm)	Real Conc. (ppm)	Temp	%degrade
0	0.735	3.0663	125.0000	25	0.0000
10	0.597	2.4906	62.2653	62	50.1877
20	0.295	1.2307	30.7676	63	75.3859
30	0.105	0.4380	10.9512	65	91.2390
40	0.06	0.2503	6.2578	68	94.9937
50	0.038	0.1585	3.9633	69	96.8294
60	0.033	0.1377	3.4418	69	97.2466

Solution : MB 125 ppm

Pulse width : 3

Conductivity : 1100  $\mu\text{S}/\text{cm}$ 

Electrode : Cu

REP SET : 22.5 kHz

Time : 60 min

Voltage : 2

Dilute : 25x

Time	Abs	Conc. (ppm)	Real Conc. (ppm)	Temp	%degrade
0	0.735	3.0663	125.0000	25	0.0000
10	0.568	2.3696	59.2407	63	52.6074
20	0.249	1.0388	25.9700	68	79.2240
30	0.121	0.5048	12.6199	69	89.9040
40	0.089	0.3713	9.2824	69	92.5741
50	0.081	0.3379	8.4481	70	93.2416
60	0.068	0.2837	7.0922	70	94.3262

Solution : MB 125 ppm

Pulse width : 3

Conductivity : 1100  $\mu\text{S}/\text{cm}$ 

Electrode : Cu

REP SET : 30 kHz

Time : 60 min

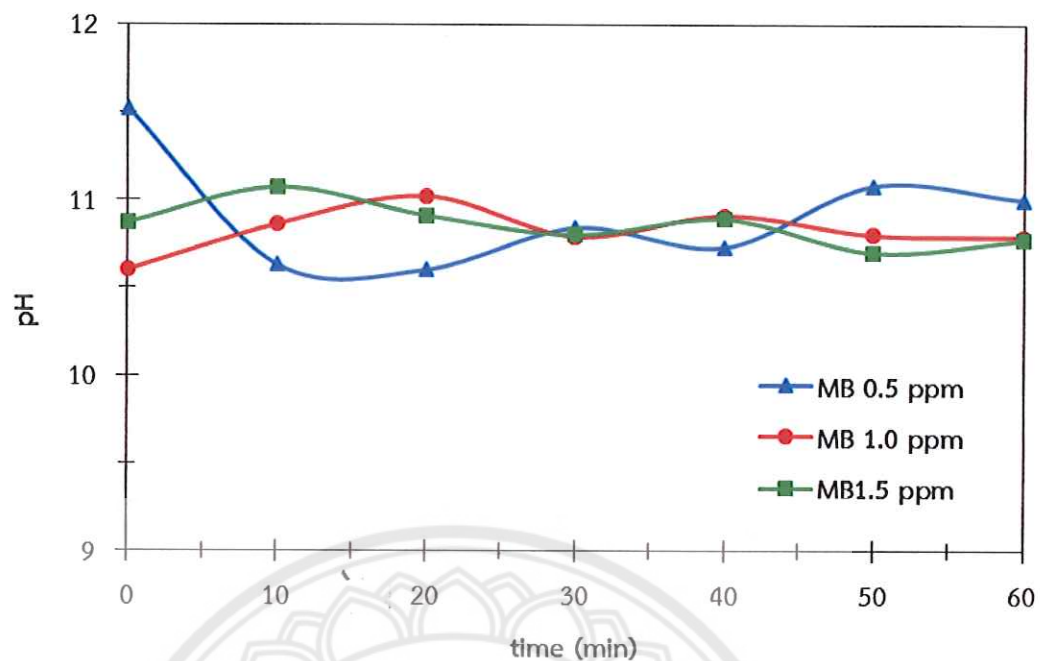
Voltage : 2

Dilute : 25x

Time	Abs	Conc. (ppm)	Real Conc. (ppm)	Temp	%degrade
0	0.658	2.7451	125.0000	25	0.0000
10	0.453	1.8899	47.2466	62	62.2028
20	0.202	0.8427	21.0680	65	83.1456
30	0.107	0.4464	11.1598	68	91.0722
40	0.074	0.3087	7.7180	68	93.8256
50	0.071	0.2962	7.4051	69	94.0759
60	0.069	0.2879	7.1965	70	94.2428

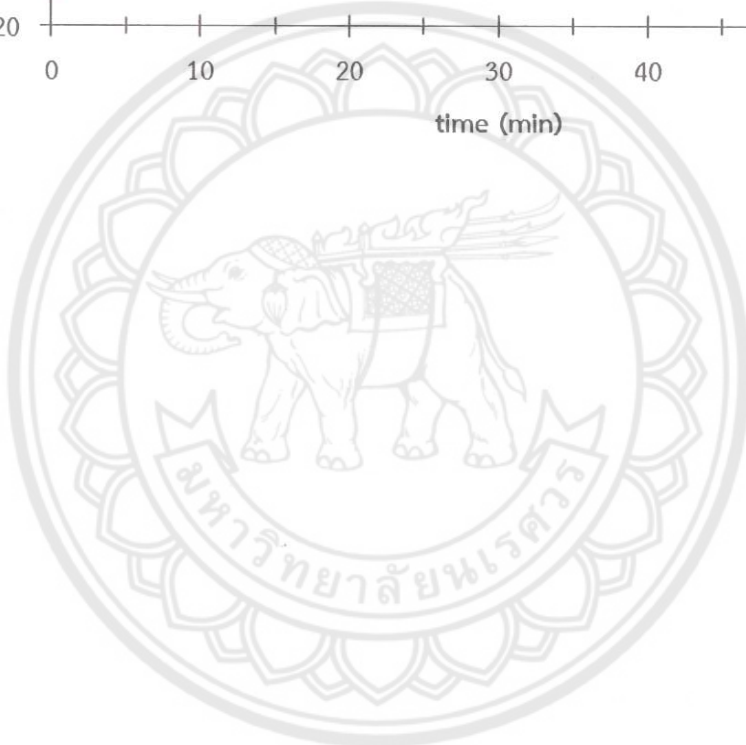
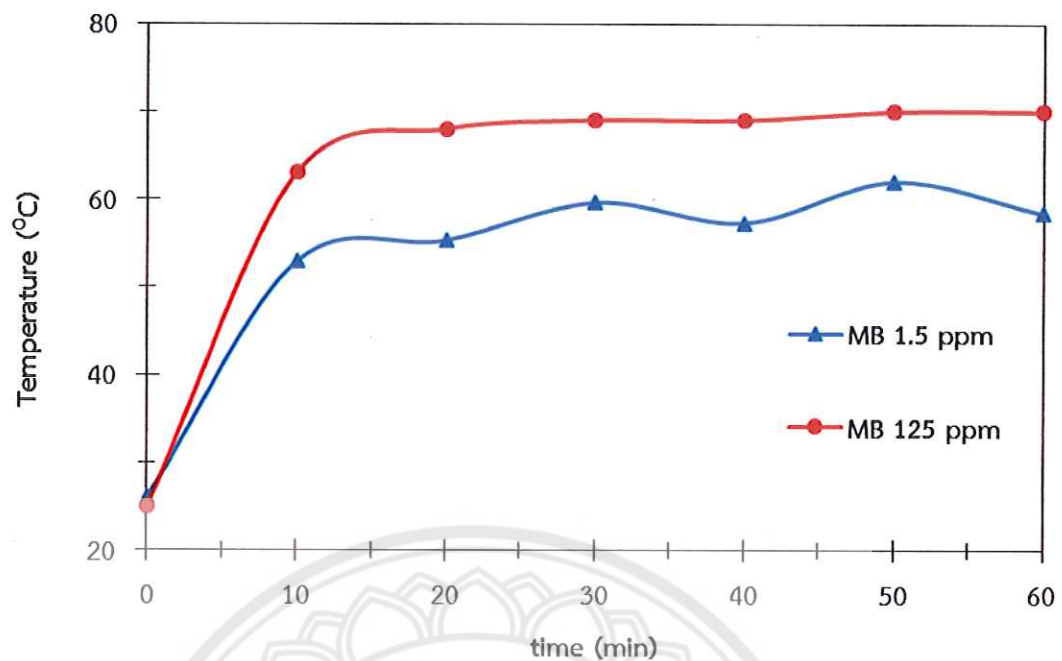
#### ก.4 ผลของการเปลี่ยนแปลงค่าความเป็นกรดด่าง

Time	MB 0.5 ppm			MB 1.0 ppm			MB 1.5 ppm		
	W	Fe	Cu	W	Fe	Cu	W	Fe	Cu
0	11.52	11.52	11.52	10.6	10.6	10.6	10.87	10.87	10.87
10	10.41	10.63	10.63	10.73	10.73	10.86	10.53	10.71	11.07
20	10.75	10.57	10.6	10.54	10.33	11.02	10.55	10.44	10.91
30	10.56	10.6	10.84	10.35	10.49	10.79	10.38	10.41	10.8
40	10.39	10.51	10.73	10.48	10.43	10.91	10.43	10.44	10.89
50	10.3	10.4	11.08	10.46	10.37	10.8	10.51	10.34	10.7
60	10.42	10.46	11	10.34	10.2	10.79	10.53	10.32	10.77



ก.5 ผลของการเปลี่ยนแปลงอุณหภูมิ

Time	MB 0.5 ppm			MB 1.0 ppm			MB 1.5 ppm			MB 125 ppm
	W	Fe	Cu	W	Fe	Cu	W	Fe	Cu	
0	24.2	24.2	24.2	25.8	25.8	25.8	26	26	26	25
10	52	41.7	54	49.6	55.2	34.3	50	54.2	52.9	63
20	45.6	53.7	57.4	55.3	64.3	35.4	55.3	55.4	55.3	68
30	48.7	57.3	45.3	66.6	60.3	38.9	63.1	61.9	59.6	69
40	53.8	56.9	51.2	57.3	58.6	39.3	56.3	56.1	57.3	69
50	59.4	60.7	37.8	58.5	62.6	38.5	52.9	60.9	62	70
60	52.1	58.6	39.5	58.5	62.9	40.8	51.3	55.4	58.4	70





### ข.1 การหาร้อยละการสลายตัวของลีเย็มเมทิลีนบลู

$$\text{จากสูตร } \frac{C_0 - C_t}{C_0} \times 100$$

$$\text{หรือ } \frac{\text{ความเข้มข้นของสารตั้งต้น} - \text{ความเข้มข้นที่เหลืออยู่}}{\text{ความเข้มข้นของสารตั้งต้น}} \times 100$$

ตัวอย่างเช่น ที่ความเข้มข้นที่ 125 มิลลิกรัมต่อลิตร ด้วยข้าวอิเล็กโทรดชนิดทองแดง

$$\text{จากสูตร } \frac{C_0 - C_t}{C_0} \times 100$$

$$\begin{aligned} \text{ร้อยละการสลายตัว} &= \frac{(125 - 9.4910)}{125} \times 100 \\ &= 92.4072 \end{aligned}$$

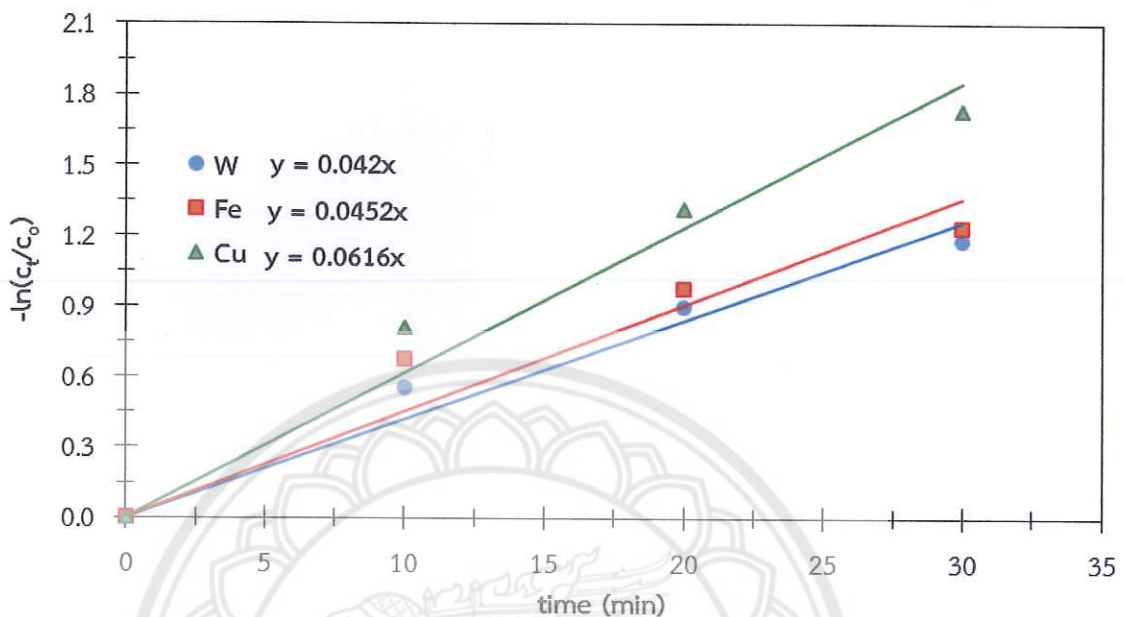
### ข.2 การหาค่าคง k จากจลนพลศาสตร์

$$\text{จากสูตร } -\ln\left(\frac{C_t}{C_0}\right) = kt$$

ตัวอย่างเช่น ที่ความเข้มข้นของสารละลายเมทิลีนบลู 125 มิลลิกรัมต่อลิตร  
ตารางแสดงข้อมูล

time	125 ppm					
	W	1 order	Fe	1 order	Cu	1 order
0	125.0000	0.0000	125.0000	0.0000	125.0000	0.0000
10	71.7564	0.5550	63.6212	0.6754	55.6946	0.8084
20	51.0013	0.8965	47.2466	0.9729	33.6879	1.3112
30	38.4856	1.1780	36.2954	1.2366	22.1110	1.7322
40	29.5161	1.4434	31.6020	1.3751	13.8715	2.1985
50	24.3012	1.6378	25.6571	1.5835	12.0985	2.3352
60	19.7121	1.8471	24.1969	1.6421	9.4910	2.5780

นำค่าจากตารางมาทำการพLOTเปรียบเทียบระหว่างความเข้มข้นที่เปลี่ยนแปลงไปกับเวลา



จากราฟจะได้ค่าความชัน ซึ่งค่าความชันคือค่าคงที่อัตราการสลายตัวของสีย้อม ( $k$ )

ซึ่งค่าคงที่อัตราการสลายตัวของสีย้อมด้วยอิเล็กโทรดชนิดหังสแตนมีค่าเท่ากับ 0.042 ต่อนาที

ซึ่งค่าคงที่อัตราการสลายตัวของสีย้อมด้วยอิเล็กโทรดชนิดเหล็กมีค่าเท่ากับ 0.0452 ต่อนาที

ซึ่งค่าคงที่อัตราการสลายตัวของสีย้อมด้วยอิเล็กโทรดชนิดทองแดงมีค่าเท่ากับ 0.0616 ต่อนาที

## ประวัติผู้ดำเนินโครงการ



ชื่อ

นายศศิน แก้วเจริญ

ภูมิลำเนา

118/45 หมู่ 9 ต.บางม่วง อ.เมืองฯ จ.นครสวรรค์

ประวัติการศึกษา

- จบระดับมัธยมศึกษาจากโรงเรียนนวมินทราชูทิศมัธบัญฑิษฐ์

จ.นครสวรรค์

- ปัจจุบันกำลังศึกษาในระดับปริญญาตรีชั้นปีที่ 4

สาขาวิชาวิศวกรรมเคมี คณะวิศวกรรมศาสตร์

มหาวิทยาลัยนเรศวร

E-mail : sasin.kchr03@gmail.com

ชื่อ

นางสาวกรนิการ์ ขุนพินิจ

ภูมิลำเนา

9 หมู่ 3 ต.ทุ่งยาง อ.คีรีมาศ จ.สุโขทัย

ประวัติการศึกษา

- จบระดับมัธยมศึกษาจากโรงเรียนคีรีมาศพิทยาคม จ.สุโขทัย

- ปัจจุบันกำลังศึกษาในระดับปริญญาตรีชั้นปีที่ 4

สาขาวิชาวิศวกรรมเคมี คณะวิศวกรรมศาสตร์

มหาวิทยาลัยนเรศวร

E-mail : k\_kornnika\_@hotmail.com